

## RED EUROPEA DE SEGUIMIENTO INTENSIVO Y CONTINUO DE LOS ECOSISTEMAS FORESTALES

### RED DE NIVEL II MEMORIA – 2023

#### MEMORIA

20  
23



MINISTERIO  
PARA LA TRANSICIÓN ECOLÓGICA  
Y EL RETO DEMOGRÁFICO

DIRECCIÓN GENERAL DE BIODIVERSIDAD, BOSQUES  
Y DESERTIFICACIÓN

SUBDIRECCIÓN GENERAL DE POLÍTICA FORESTAL Y  
LUCHA CONTRA LA DESERTIFICACIÓN  
ÁREA DE INVENTARIO Y ESTADÍSTICAS FORESTALES



Tecmena, S.L.  
TECNICAS DEL MEDIO NATURAL

Clara del Rey, 22  
28002 Madrid  
Tel. 91 413 70 07  
Fax. 91 510 20 57  
correo@tecmena.com



**Dirección:** Elena Robla, Asunción Roldán, María Dolores Pasalodos, Eduardo Calvo (DGBBD-AIEF).

**Realización:** TECMENA, S.L

**Trabajo de campo:** José María Peña, Alfonso Soriano, Juan Molina, Oscar Osorno, Abel Humbría, Lara López

**Inspección de campo:** Asunción Roldán, María Dolores Pasalodos, Eduardo Calvo (DGBBD-AIEF).

**Trabajo de gabinete:** José María Peña, Mercedes Redruello.

**Redacción:** Juan Molina, Oscar Osorno, Alfonso Soriano, Abel Humbría.

**Determinación edafológica:** Instituto Nacional de Investigación y Tecnología Agraria y Alimentaria (INIA). UD de Edafología y Ecología - Escuela Técnica Superior de Ingenieros de Montes – Universidad Politécnica de Madrid.

**Inventario botánico:** UD de Botánica – Escuela Universitaria de Ingeniería Técnica Forestal – Universidad Politécnica de Madrid.

**Ánálisis de deposición, foliar y desfronde:** Instituto Nacional de Investigación y Tecnología Agraria y Alimentaria (INIA) (1997-2011); Laboratorio Integrado de Calidad Ambiental de la Universidad de Navarra (LICA-UNAV) (2011-).

**Ánálisis de dosímetros pasivos:** Centro de Estudios Ambientales del Mediterráneo (CEAM).

**Datos meteorológicos:** Estaciones de la Red de Nivel II; Información elaborada utilizando, entre otras, la suministrada por la Agencia Estatal de Meteorología. Ministerio para la Transición Ecológica.





### Índice

1. Introducción .....	1
2. Composición de la Red .....	4
3. Estado fitosanitario de la Red .....	5
3.1. Defoliación y decoloración .....	5
3.2. Agentes dañinos .....	12
3.3. Síntomas y signos .....	17
4. Deposición atmosférica .....	22
4.1. Variables analizadas .....	24
4.2. Principales resultados .....	26
4.2.1. pH .....	26
4.2.2 Conductividad .....	29
4.2.3. Potasio .....	31
4.2.4. Calcio .....	33
4.2.5. Magnesio .....	35
4.2.6. Sodio .....	37
4.2.7. Amonio .....	39
4.2.8. Cloro .....	41
4.2.9. Nitratos .....	43
4.2.10. Sulfatos .....	45
4.2.11. Alcalinidad .....	47
4.2.12. Nitrógeno total .....	49
4.2.13. Carbono orgánico disuelto .....	51
4.2.14. Aluminio .....	52
4.2.15. Manganese .....	54
4.2.16. Hierro .....	56
4.3. Interpretación de resultados .....	58
5. Calidad del aire. Inmisión .....	60
6. Análisis foliar .....	63
6.1. Caracterización de los árboles muestra .....	63
6.2. Variables de medición .....	64
6.3. Principales resultados .....	65
6.3.1. Peso seco .....	65
6.3.2. Nitrógeno .....	66
6.3.3. Azufre .....	68
6.3.4. Fósforo .....	69
6.3.5. Calcio .....	71
6.3.6. Magnesio .....	72
6.3.7. Potasio .....	74
6.3.8. Carbono .....	75
6.4. Interpretación de resultados .....	76
7. Desfronde .....	77
8. Fenología .....	83
9. Crecimiento. Cintas diamétricas .....	86
10. Meteorología .....	87
11. Índice de Area Foliar .....	89
12. Solución del suelo .....	91
13. Memoria detallada de las parcelas de la Red .....	93

### INDICE DE TABLAS

**TABLA 1:** Distribución de parcelas

**TABLA 2:** Clasificación de los ecosistemas representados

**TABLA 3:** Caracterización pH

**TABLA 4:** Caracterización conductividad

**TABLA 5:** Caracterización potasio

- TABLA 6:** Caracterización calcio  
**TABLA 7:** Caracterización magnesio  
**TABLA 8:** Caracterización sodio  
**TABLA 9:** Caracterización amonio  
**TABLA 10:** Caracterización cloro  
**TABLA 11:** Caracterización nitratos  
**TABLA 12:** Caracterización sulfatos  
**TABLA 13:** Caracterización alcalinidad  
**TABLA 14:** Caracterización nitrógeno total  
**TABLA 15:** Caracterización carbono orgánico disuelto  
**TABLA 16:** Caracterización aluminio  
**TABLA 17:** Caracterización manganeso  
**TABLA 18:** Caracterización hierro  
**TABLA 19:** Inmisión atmosférica  
**TABLA 20:** Muestreos foliares  
**TABLA 21:** Caracterización peso seco  
**TABLA 22:** Caracterización nitrógeno  
**TABLA 23:** Caracterización azufre  
**TABLA 24:** Caracterización fósforo  
**TABLA 25:** Caracterización calcio  
**TABLA 26:** Caracterización potasio  
**TABLA 27:** Caracterización carbono  
**TABLA 28:** Caracterización desfronde  
**TABLA 29:** Resultados evaluación fenológica  
**TABLA 30:** Valor medio dendrómetros  
**TABLA 31:** Parámetros medios meteorológicos  
**TABLA 32:** Índices de Área Foliar  
**TABLA 33:** Análisis de solución del suelo

### INDICE DE FIGURAS

- FIG 1:** Distribución de las parcelas  
**FIG 2:** Clases de defoliación 2015  
**FIG 3:** Defoliación acumulada por parcelas y años  
**FIG 4:** Modelos de defoliación Gen. *Pinus*  
**FIG 5:** Defoliación media por especies (coníferas)  
**FIG 6:** Modelos de defoliación Gen. *Quercus*  
**FIG 7:** Defoliación media por especies (frondosas)  
**FIG 8a:** Evolución defoliación media por parcelas  
**FIG 8b:** Evolución variación defoliación media por parcelas  
**FIG 9:** Comportamiento anual del conjunto de variaciones de defoliación  
**FIG 10:** Agentes dañinos  
**FIG 11:** Síntomas y signos  
**FIG 12:** Distribución y abundancia por especie de agentes, síntomas y signos  
**FIG 12b:** Distribución de agentes de daño durante la campaña  
**FIG 12c:** Distribución relativa de agentes de daño por especie forestal  
**FIG 13:** Deposición. Vías de entrada/salida al ecosistema  
**FIG 14:** Deposición. Variación temporal y espacial de pH  
**FIG 15:** Deposición. Variación temporal y espacial de conductividad  
**FIG 16:** Deposición. Variación temporal y espacial de potasio  
**FIG 17:** Deposición. Variación temporal y espacial de calcio  
**FIG 18:** Deposición. Variación temporal y espacial de magnesio  
**FIG 19:** Deposición. Variación temporal y espacial de sodio  
**FIG 20:** Deposición. Variación temporal y espacial de amonio  
**FIG 21:** Deposición. Variación temporal y espacial de cloro  
**FIG 22:** Deposición. Variación temporal y espacial de nitratos  
**FIG 23:** Deposición. Variación temporal y espacial de sulfatos

**FIG 24:** Deposición. Variación temporal y espacial de alcalinidad

**FIG 25:** Deposición. Variación temporal y espacial de nitrógeno total

**FIG 26:** Deposición. Variación temporal y espacial de carbono orgánico disuelto

**FIG 27:** Deposición. Variación temporal y espacial de aluminio

**FIG 28:** Deposición. Variación temporal y espacial de manganeso

**FIG 29:** Deposición. Variación temporal y espacial de hierro

**FIG 30:** Inmisión. Variación temporal y espacial de concentraciones

**FIG 31:** Análisis foliar. Variación temporal y espacial de peso seco

**FIG 32:** Análisis foliar. Variación temporal y espacial de nitrógeno

**FIG 33:** Análisis foliar. Variación temporal y espacial de azufre

**FIG 34:** Análisis foliar. Variación temporal y espacial de fósforo

**FIG 35:** Análisis foliar. Variación temporal y espacial de calcio

**FIG 36:** Análisis foliar. Variación temporal y espacial de potasio

**FIG 37:** Análisis foliar. Contenido en carbono

**FIG 38:** Variación temporal y espacial del desfronde

**FIG 39:** Variación temporal y espacial de la fenología

**FIG 40:** Fases fenológicas

**FIG 41:** Crecimiento diametral anual

**FIG 42:** Principales variables meteorológicas

**FIG 43:** Medición del parámetro LAI

**FIG 44:** Índices LAI anuales

**FIG 45:** Lisímetros de tensión para extracción de solución del suelo. Lisímetros de gravedad.



### 1. Introducción.

El establecimiento en 1986 de la Red Europea de Nivel I como labor rutinaria para el control del estado de salud de los bosques y los datos que de forma continua va generando, no sólo demostró su validez en el enfoque de la sanidad forestal y de los nuevos problemas que van surgiendo, también sacó a la luz sus limitaciones como elemento esclarecedor de las relaciones causa-efecto dentro de un ecosistema. El estudio del papel que juega la Contaminación Atmosférica, el clima o cualquier otro agente sobre la evolución de un bosque nunca puede plantearse como una ecuación de una sola variable. Todos los factores propios del medio interactúan, apoyándose a veces, sumando sus fuerzas o por el contrario bloqueándose unos a otros. En esta dinámica juegan un papel fundamental la calidad del aire, el clima, el suelo, los microorganismos descomponedores y los ciclos de nutrientes entre otros, factores que no era posible evaluar dentro de la Red de Nivel I.

Con objeto de paliar esta carencia se puso en marcha en Europa el denominado Sistema Pan-europeo para el Seguimiento Intensivo y Continuado de los Ecosistemas Forestales: la Red CE de Nivel II. Consiste en un pequeño número de parcelas ubicadas en los ecosistemas forestales más representativos donde, de acuerdo con la Conferencia de Ministros para la Protección de los Bosques celebrada en Estrasburgo en 1990, se han de realizar estimaciones y medidas numerosas y precisas, que caractericen la masa forestal y su historia, el arbolado y su follaje, la vegetación, el suelo, el clima, la composición química del agua de lluvia al descubierto, bajo el dosel de las copas y de las aguas de drenaje.

El Reglamento Comunitario 1091/94 definió en su día las labores concretas a realizar en esta red, que han sido ampliadas y modificadas a lo largo de su historia, atendiendo a las nuevas prioridades a nivel europeo y para adaptarse a los diferentes Reglamentos Comunitarios que se han ido sucediendo. Hasta el comienzo del proyecto comunitario *FutMon*, en el marco del Instrumento Financiero Life +, la red española de Nivel II constaba de 54 parcelas representando los principales ecosistemas forestales españoles, de las cuales 14 eran "instrumentadas" (disponen de una serie de dispositivos para mediciones y toma de muestras periódicas de una serie de parámetros, siendo visitadas durante todo el año en intervalos periódicos de 15/30 días) y las 40 restantes eran "básicas" (no disponen de aparatos y se visitaban únicamente 1 vez al año).

Debido a la alta especialización de la Red de Seguimiento Intensivo, su desarrollo ha requerido una estrecha colaboración con diversos organismos de investigación y universidades, tanto a nivel europeo como nacional en cada uno de los países participantes. En España la colaboración se ha venido realizando principalmente con la Unidad de Dinámica de los Ecosistemas Forestales del INIA – CIFOR y el Laboratorio Integrado de Calidad Ambiental de la Universidad de Navarra LICA-UNAV (análisis de las muestras, mantenimiento de la instrumentación en las parcelas, representación en los Paneles Internacionales de Expertos), con la Fundación Centro de Estudios Ambientales del Mediterráneo - CEAM (evaluación de los efectos del ozono troposférico en la vegetación forestal), y con la Escuela Universitaria de Ingeniería Técnica Forestal (inventarios de vegetación) y la Escuela Técnica Superior de Ingenieros de Montes (caracterización edáfica) de la Universidad Politécnica de Madrid.

A partir de la entrada en vigor del proyecto *FutMon, bajo Life +*, en enero de 2009, la Red de Nivel II se tuvo que adaptar a los nuevos objetivos definidos por el proyecto *FutMon*, lo que supuso una considerable disminución del número de parcelas, que pasaron de las 54 existentes hasta 2008 a 14, dejando como "durmientes" muchas de las parcelas en las cuales se efectuaban hasta el momento mediciones básicas y centralizando los muestreos en las parcelas instrumentadas, en las que se intensificaron y ampliaron los trabajos, para adaptarlos a los nuevos requerimientos. Este proyecto europeo finalizó en junio de 2011, continuándose desde entonces los trabajos de acuerdo a los manuales y metodologías del Programa Internacional de Cooperación para la Evaluación y Seguimiento de la Contaminación Atmosférica en los Bosques, ICP-Forests; entidad dependiente de Naciones Unidas y de la que forman parte los siguientes países:

# MEMORIA

RED EUROPEA DE SEGUIMIENTO INTENSIVO Y CONTINUO

DE LOS ECOSISTEMAS FORESTALES – RED DE NIVEL II

AÑO 2023



Los muestreos así realizados en las parcelas de Nivel II son:

- ✓ La evaluación del estado sanitario del arbolado
- ✓ El análisis de los suelos (1994-1997)
- ✓ El análisis de los nutrientes foliares.
- ✓ El análisis de los depósitos atmosféricos.
- ✓ La toma de datos sobre el crecimiento de la masa forestal.
- ✓ El análisis de los datos climáticos in situ.
- ✓ El estudio de la fenología de cada parcela.
- ✓ La realización de inventarios botánicos (1999, 2004, 2007-2009)
- ✓ El análisis de la solución de agua en el suelo y de la biomasa de desfronde.
- ✓ El estudio de las concentraciones de contaminación atmosférica de fondo mediante dosímetros pasivos.
- ✓ El inventario liquénico y de otros biomonitorres naturales (1997-1999)
- ✓ El estudio de ciertos parámetros sobre biodiversidad forestal: la estructura y las variaciones en la vegetación, la clasificación en tipos de bosque, madera muerta... (2004-2005; 2017-2019)
- ✓ El seguimiento, identificación y cuantificación de los principales agentes dañinos, tanto bióticos como abióticos, sobre el arbolado.
- ✓ El desarrollo de guías y manuales de referencia, modelos digitales del arbolado, así como la certificación de trabajos y control de calidad estandarizados a nivel internacional.

En la actualidad, y con la información obtenida de las redes, se han elaborado más de cien proyectos de investigación, además de los informes normalizados ejecutivo y técnico de remisión a las autoridades europeas competentes en las áreas forestal y medio ambiental. El listado completo de proyectos puede consultarse en la página web de ICP-Forests (<http://icp-forests.net/page/project-list>). La Red de Nivel II forma parte también de la Red Española de Investigación Ecológica a Largo Plazo (LTER-Spain). En la presente Memoria se desarrolla el seguimiento intensivo en las parcelas de la Red de Nivel II instaladas en España, comprendiendo el estado fitosanitario correspondiente a 2023 y el histórico hasta 2022-2023 de deposición atmosférica, dosímetros pasivos, análisis foliar, desfronde, fenología, crecimiento, meteorología, índice de área foliar y solución del suelo desde el inicio de los trabajos.



**FIG 1:** Distribución de las parcelas de la Red de Nivel II en España

La entrada en vigor de la Directiva Europea 2016/2284 relativa a la reducción de las emisiones nacionales de determinados contaminantes atmosféricos, “**directiva de techos**”, y su trasposición nacional en el Real Decreto 818/2018 sobre medidas para la reducción de las emisiones nacionales de determinados

contaminantes, establece los compromisos del Reino de España en reducción de emisiones, la adopción de un programa nacional de control de la contaminación atmosférica y el seguimiento de las emisiones y sus efectos en los ecosistemas. La Red de Nivel II responde precisamente a esos objetivos, al recoger información estandarizada y calibrada desde hace más de veinte años en los principales ecosistemas forestales españoles, por lo que queda integrada dentro del Sistema Español de Inventario para la elaboración de los diferentes indicadores normalizados.

## 2. Composición de la Red.

**TABLA 1:** Distribución de parcelas por provincias y comunidades autónomas

ESPECIE	CODIGO PARCELA	PROVINCIA	COMUNIDAD AUTONOMA
<i>Fagus sylvatica</i>	115Fs	NAVARRA	NAVARRA
<i>Pinus halepensis</i>	25Ph	ALICANTE	C. VALENCIANA
	54Ph	VALENCIA	C. VALENCIANA
<i>Pinus nigra</i>	22Pn	TERUEL	ARAGON
<i>Pinus pinaster</i>	37Ppr	SEGOVIA	CASTILLA-LEON
	102Ppr	LA CORUÑA	GALICIA
<i>Pinus pinea</i>	10Ppa	HUELVA	ANDALUCIA
<i>Pinus sylvestris</i>	05Ps	SEGOVIA	CASTILLA-LEON
	30Ps	SORIA	CASTILLA-LEON
<i>Quercus ilex</i>	26Qi	JAEN	ANDALUCIA
	06Qi	CASTELLON	C. VALENCIANA
	07Qi	CACERES	EXTREMADURA
<i>Quercus petraea</i>	33Qpe	PALENCIA	CASTILLA-LEON
<i>Quercus suber</i>	11Qs	CACERES	EXTREMADURA

Los ecosistemas o tipos de bosque representados por la Red son, de acuerdo con la clasificación europea (Clasificación EUNIS-European Nature Information System):

**TABLA 2:** Clasificación de ecosistemas representados (Clasificación EUNIS)

CÓDIGO PARCELA	ESPECIE	TIPO BOSQUE EUNIS	
05 Ps (Segovia)	<i>Pinus sylvestris</i>	G3.4B31	Pinares de <i>Pinus sylvestris</i> silicícolas oromediterráneos del Sistema Central
06 Qi (Castellón)	<i>Quercus ilex</i>	G2.12411	Encinares de <i>Quercus rotundifolia</i> mesomediterráneos continentales
07 Qi (Cáceres)	<i>Quercus ilex</i>	G2.12421	Encinares de <i>Quercus rotundifolia</i> luso-extremadurenses mesomediterráneos
10 Ppa (Huelva)	<i>Pinus pinea</i>	B1.74	Pinares de <i>Pinus pinea</i> sobre dunas estabilizadas del litoral
11 Qs (Cáceres)	<i>Quercus suber</i>	G2.1124	Alcornocales mesomediterráneos seco-subhúmedos luso-extremadurenses
22 Pn (Teruel)	<i>Pinus nigra</i>	G3.535	Pinares de pino negral ( <i>Pinus nigra</i> subsp. <i>salzmannii</i> ) del Sistema Ibérico meridional, de óptimo supramediterráneo
25 Ph (Alicante)	<i>Pinus halepensis</i>	G3.74	Pinares de pino carrasco ( <i>Pinus halepensis</i> )
26 Qi (Jaén)	<i>Quercus ilex</i>	E7.3	Dehesa
30 Ps (Soria)	<i>Pinus sylvestris</i>	G3.4B2	Pinares de pino albar ( <i>Pinus sylvestris</i> ) silicícolas, supra-oromediterráneos, del Sistema Ibérico y del territorio catalánídico central
33 Qpe (Palencia)	<i>Quercus petraea</i>	G1.8623	Robledales acidófilos orocantábricos
37 Ppr (Segovia)	<i>Pinus pinaster</i>	G3.7211	Pinares de pino rodeno ( <i>Pinus pinaster</i> ) del Sistema Ibérico septentrional
54 Ph (Valencia)	<i>Pinus halepensis</i>	B1.74	Pinares de <i>Pinus halepensis</i> sobre dunas estabilizadas del litoral
102 Ppr (La Coruña)	<i>Pinus pinaster</i>	G3.714	Pinares de <i>Pinus pinaster</i> galaco-cantábricos
115 Fs (Navarra)	<i>Fagus sylvatica</i>	G1.627	Hayedos acidófilos húmedos del Sistema Ibérico septentrional

Cada parcela está formada por una superficie cuadrada de 50x50 m, con una superficie de 0,25 ha, evaluándose el estado fitosanitario de todos los pies arbóreos presentes (salvo que se superen los 200 ejemplares, en cuyo caso se selecciona una submuestra de 50 árboles) y sobre los que se hace el conjunto de

observaciones no destructivas (fenología, crecimiento continuo,...). En la zona exterior próxima a la parcela (zona buffer) se instala una parcela bajo cubierta arbórea donde se toman muestras de trascolación; solución del suelo, humedad y temperatura edáficas y desfronde; y a menos de 2 km se sitúa una réplica a campo abierto donde se toman muestras de la deposición incidente, la concentración en aire de determinados contaminantes mediante dosímetros pasivos y se instala un estación meteorológica en continuo. Con periodicidad variable, y siempre en la referida zona buffer –con objeto de no interferir sobre el estado fitosanitario del arbolado-, se toman además muestras de suelo, foliares y de crecimiento.

### 3. Estado fitosanitario de la Red.

El estado fitosanitario de las parcelas que componen la Red se evalúa de acuerdo a los protocolos comunitarios y Manual del Programa ICP-Forests, mediante el seguimiento de un método estandarizado y común a todos los países integrantes del programa. Se revisan todos los pies arbóreos de la parcela, estimándose la defoliación (principal factor definitorio del estado de salud forestal); decoloración; presencia y extensión de agentes dañinos tales como animales, insectos, enfermedades,... y presencia y extensión de síntomas y signos forestales; además de las correspondientes mediciones dendrométricas de cada pie examinado. Se revisan a continuación estos tres grandes apartados.

Los dos principales parámetros para evaluar el estado de salud en masas forestales son la **defoliación** y **decoloración**

**DEFOLIACION:** se entiende por defoliación la pérdida de hojas/acículas que sufre un árbol en la parte de su copa evaluable, es decir, eliminando del proceso de estima la copa muerta (ramas y ramaletos claramente muertos) y la parte de la copa con ramas secas por poda natural o competencia.

De acuerdo con la normativa europea, se consideran las siguientes clases de defoliación o daño:

- ✓ **Arboles sin daño:** defoliación 0-10%
- ✓ **Ligeramente dañados:** defoliación 15-25%
- ✓ **Moderadamente dañados:** defoliación 30-60%
- ✓ **Gravemente dañados:** defoliación 65-95%
- ✓ **Arboles muertos:** defoliación 100%

**DECOLORACION:** se entiende por decoloración, la aparición de coloraciones anormales en la totalidad del follaje o en una parte apreciable del mismo, utilizándose en su evaluación un criterio subjetivo que implica el conocimiento del medio forestal correspondiente por parte del evaluador.

De acuerdo con la normativa europea, se consideran las siguientes clases de decoloración:

- ✓ **Clase 0:** decoloración nula
- ✓ **Clase 1:** decoloración ligera
- ✓ **Clase 2:** decoloración moderada
- ✓ **Clase 3:** decoloración grave

#### 3.1. Defoliación y decoloración.

El análisis de los resultados obtenidos durante la revisión del año en curso lleva a las siguientes conclusiones:

1. En primer lugar, y por lo que se refiere al estado fitosanitario, cabe apuntar las condiciones climáticas que se han registrado en España durante el año 2023, al que se refiere la evaluación fitosanitaria, en el que según las series históricas AEMET se han alcanzado temperaturas anormalmente altas, que dan al año el carácter de “extremadamente cálido”, superándose en cerca de 1,3°C el valor medio del periodo normal 1981-2010 resultando el segundo año más cálido desde el inicio de la serie histórica en 1961, lo que supone una ligera mejoría con respecto al año previo pero

haciendo constar que se encadenan ya nueve años seguidos con temperaturas por encima de la media histórica. Durante 2023 se han producido cuatro episodios prolongados de intensas temperaturas o “golpes de calor” a lo largo de la primera mitad del verano, en el momento de la evaluación de las parcelas, las dos primeras de unos cuatro días de duración cada una a mediados de julio y las segundas de unos ocho días cada una a mediados de agosto. En cuanto a la precipitación, se ha tratado de un año muy seco, con registros inferiores al valor medio del periodo, si bien la distribución de precipitaciones ha resultado más favorable para la vegetación al haberse dado un final de primavera y verano considerablemente húmedos, disminuyendo los habituales daños por sequía en el arbolado.

2. Atendiendo a la serie histórica de datos, se observa que el peor estado de la red tuvo lugar en el trienio 1994-1996, cuando casi la mitad de las parcelas evaluadas se situaron en niveles de defoliación moderados. A partir de 1998 se advirtió una ligera mejoría, pasando a ser los daños moderados un fenómeno más puntual. Se ha considerado a la sequía como el factor responsable de los resultados habidos en esos años.
3. A partir de 1998 el porcentaje de parcelas con daño moderado decae, experimentando un repunte en 2000-2001 y 2009-2010 junto con el último periodo 2014-2017, patrón que vuelve a registrarse durante el año en curso presumiblemente a causa de las malas condiciones de habitación. A lo largo de la serie histórica de datos destaca el mediocre estado de las parcelas 07Qi (Cáceres), 25Ph (Alicante) y 37Ppr (Segovia); debidas básicamente a tres grandes factores de debilitamiento estructural del arbolado: seca de *quercus*, sequía y muérdago.
4. En la presente revisión, y en las parcelas objeto de seguimiento, se advierte una mejoría generalizada en el estado fitosanitario de las distintas parcelas que se califican todas con defoliaciones ligeras a excepción de 22Pn (Teruel) afectada por procesionaria del pino, en una de las distribuciones más favorables de la serie histórica. Destaca la mejoría observada en las parcelas 30Ps (Soria) y 37Ppr (Segovia), dañadas por sequía el año anterior.
5. Las defoliaciones más graves, a lo largo de la serie histórica de años, están asociadas a operaciones de corta planificada, tal como ha ocurrido en el aclareo de las parcelas 10Ppa (Huelva) en 2010 o corta de las parcelas 02Ppr (La Coruña) en 1998 y 15Fs (Navarra) en 2008, posteriormente sustituidas por los puntos 102Ppr y 115Fs.
6. Se observa en general una mejoría del arbolado con respecto a la revisión del año previo, tras el episodio de decaimiento vivido el año anterior debido a la falta de agua en combinación con las elevadas temperaturas y poniendo de manifiesto que con buen aporte hídrico el arbolado es capaz de superar episodios de temperaturas altas que resultan mucho más dañinos en condiciones de falta de agua.
7. Se advierte una cierta inercia en el comportamiento de las coníferas frente a las frondosas, de forma que en un año de malas condiciones para la vegetación (en el ámbito mediterráneo fundamentalmente fenómenos de sequía y en menor medida golpes de calor) las primeras especies que reaccionan son las frondosas caducifolias, presentando defoliaciones, decoloraciones y decaimiento, mientras que las coníferas acusan el decaimiento tras un periodo adverso más prolongado y siempre con retraso frente a las frondosas.
8. El fenómeno de decoloración, al contrario de lo que ocurre en el centro y norte de Europa, es un fenómeno marginal en la Red, viéndose en general pocos pies afectados y en general en grado ligero. En España se advierte en general que el fenómeno está ligado a condiciones de sequía o falta de agua, y en menor medida a fenómenos de elevadas temperaturas o “golpe de calor”. En la presente

revisión se ha reducido respecto al año previo, apareciendo de forma ligera en una escasa fracción del arbolado de las parcelas evaluadas.

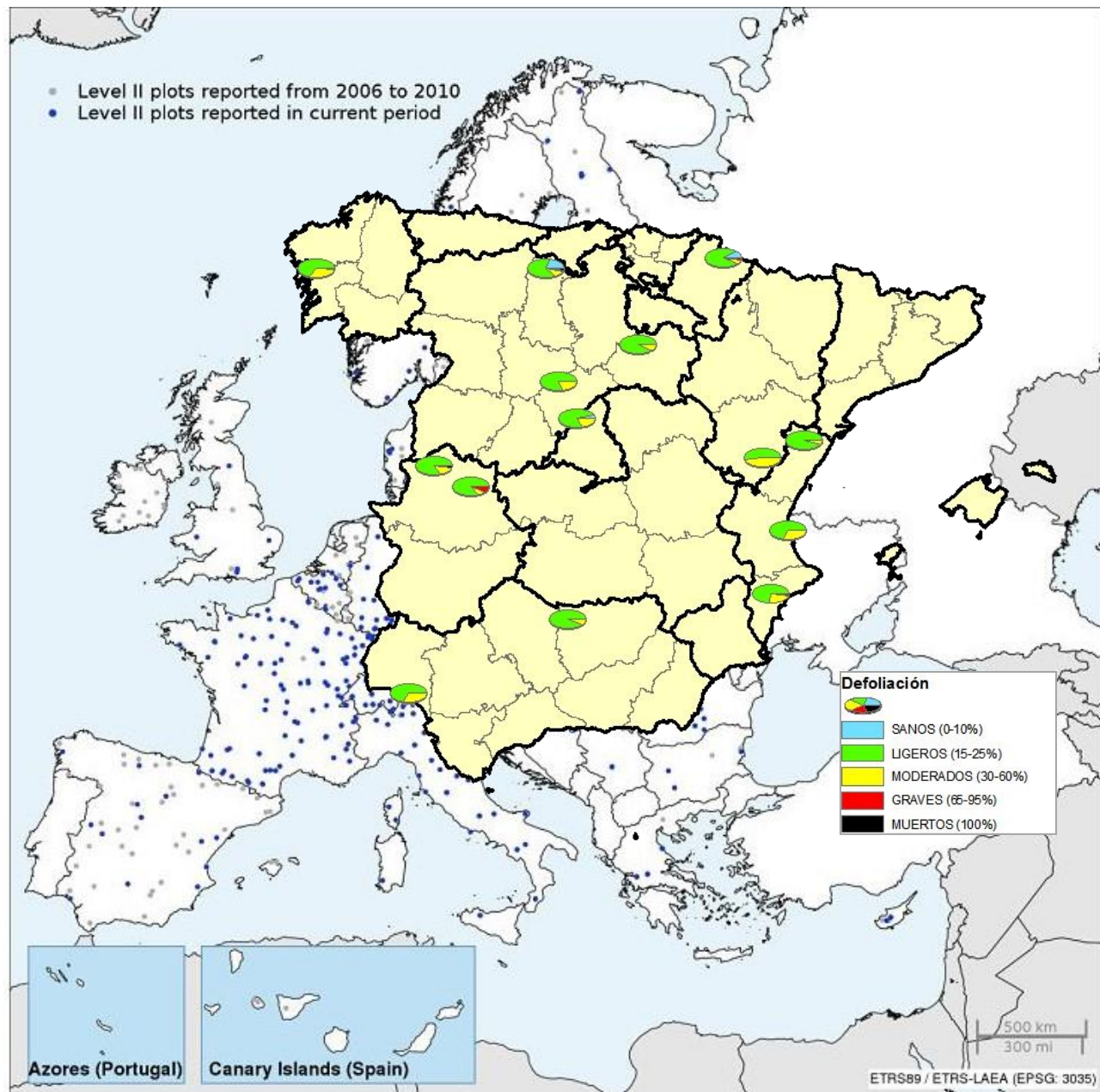


FIG 2: Red de Nivel II España 2023: distribución del arbolado por clases de defoliación

### DEFOLIACION ACUMULADA POR PARCELAS RED EUROPEA DE NIVEL II 1993-2023

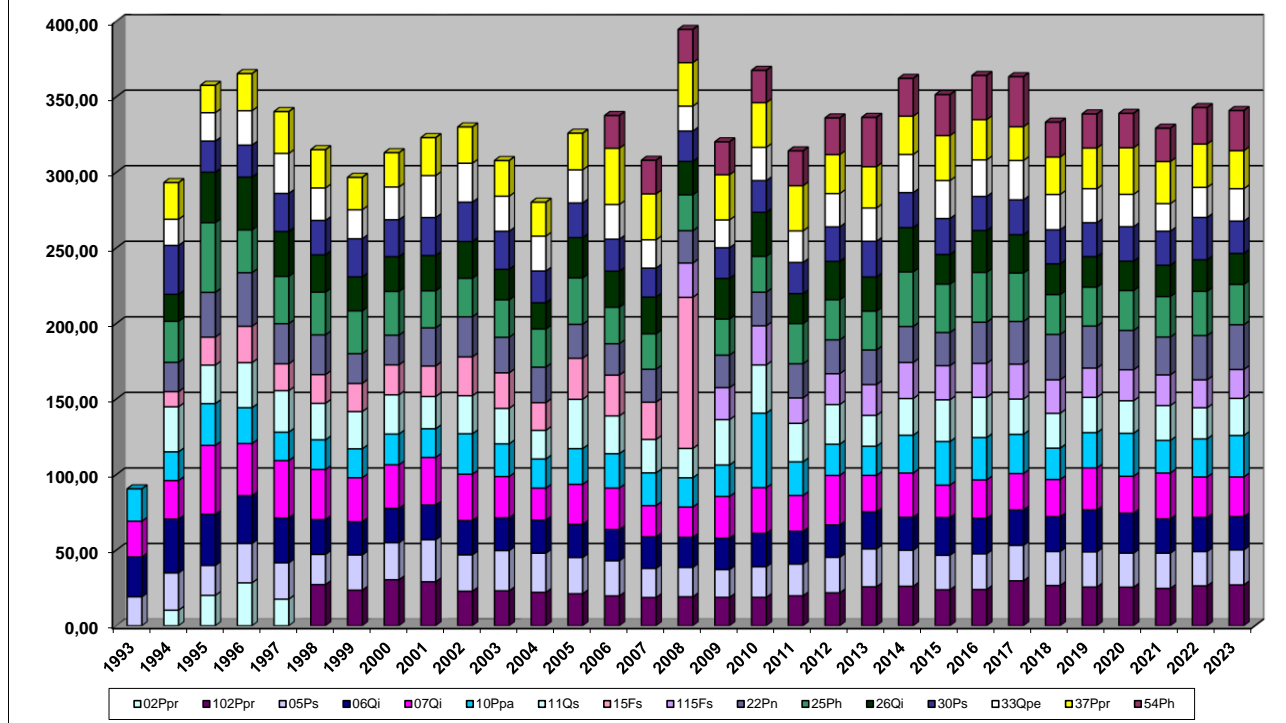
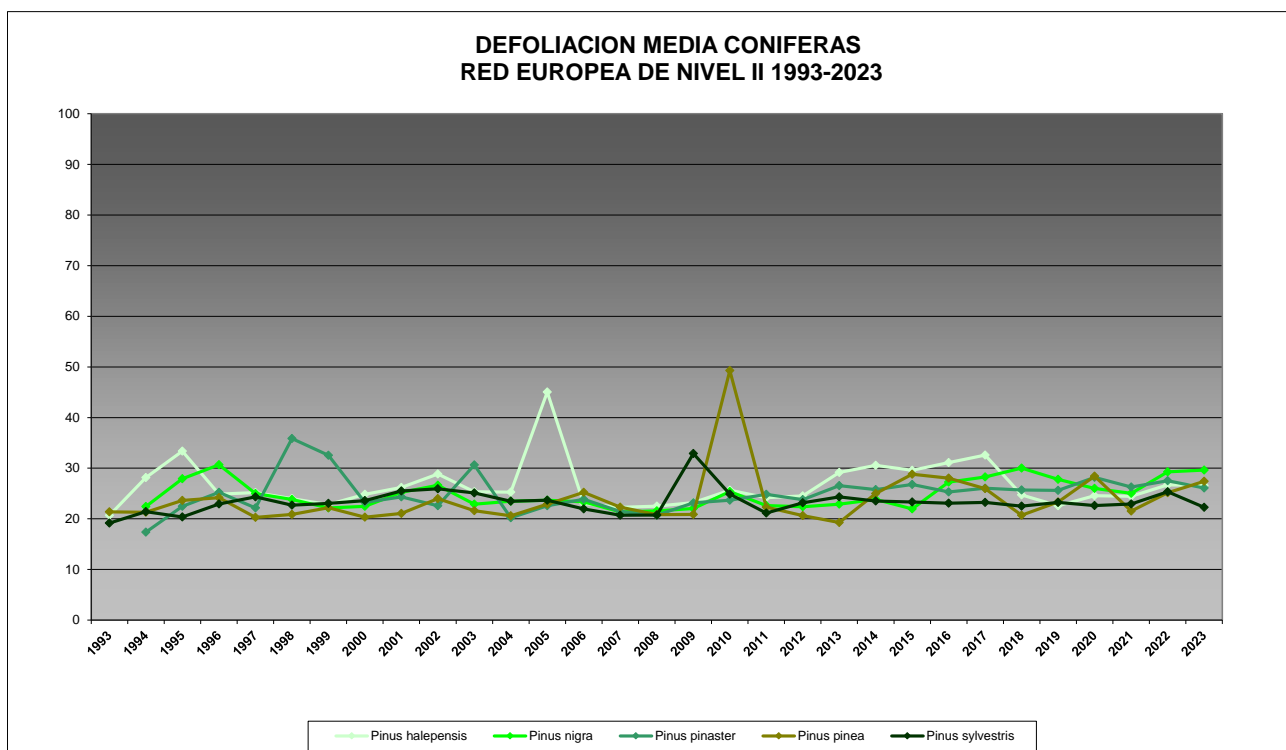


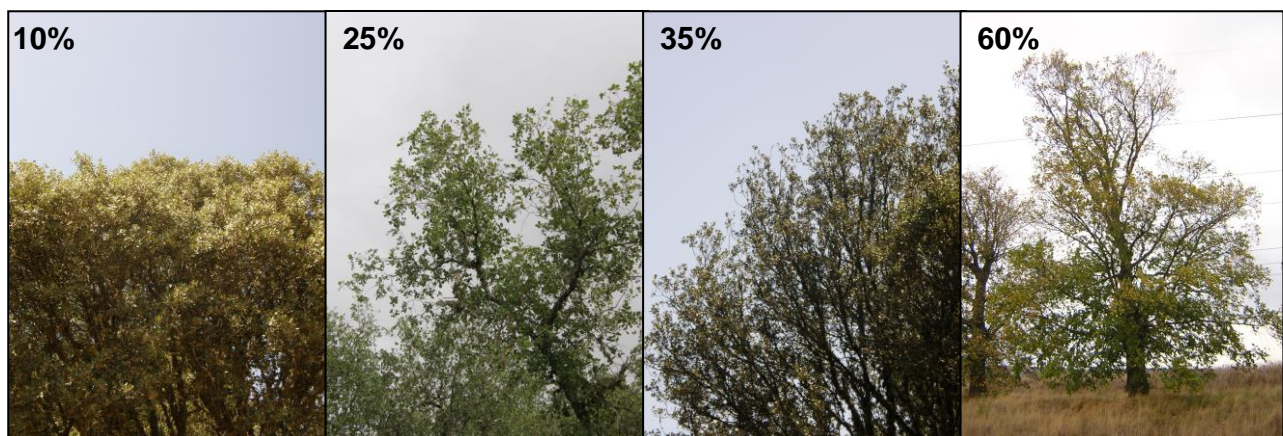
FIG 3: Defoliación (%) acumulada por parcelas y años. Indica las condiciones generales de la Red en un año determinado



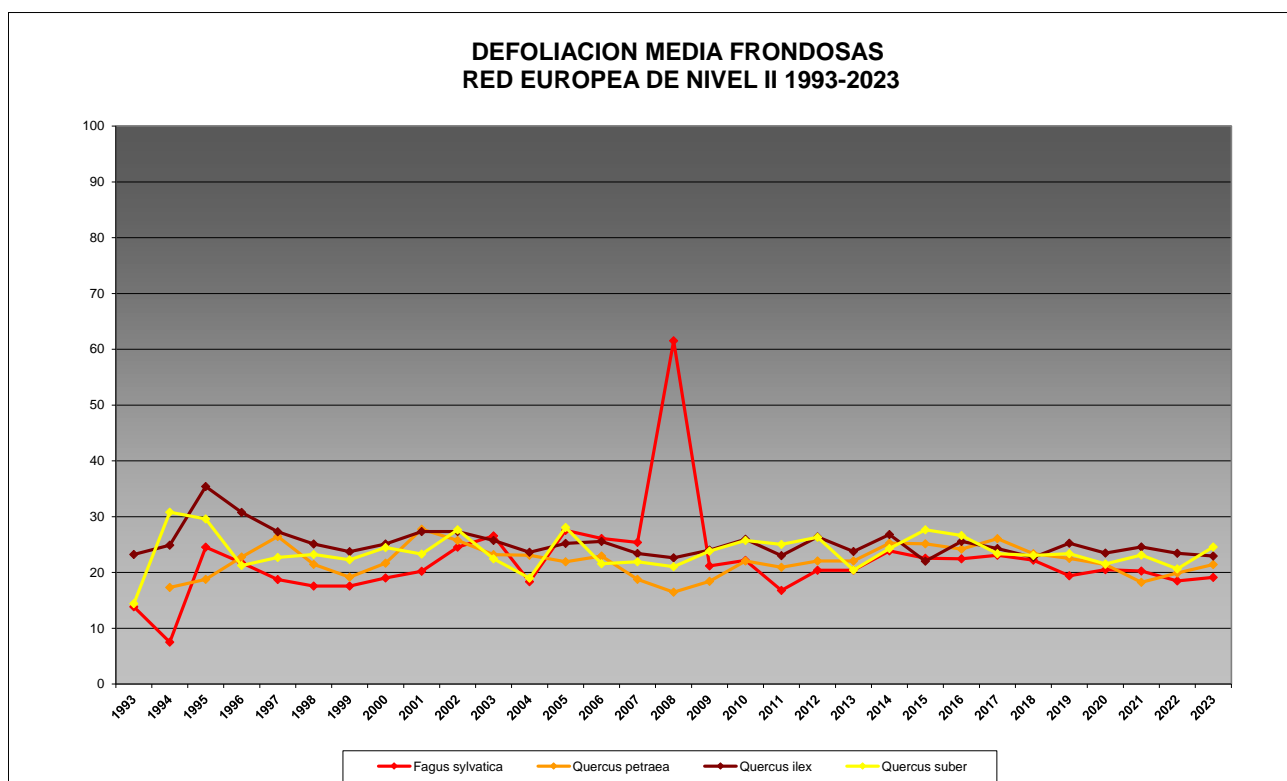
**FIG 4:** Modelos de defoliación. Gen. *Pinus*



**FIG 5:** Defoliación media por especies desde el replanteo de la Red. (Coníferas)



**FIG 6:** Modelos de defoliación. Gen. *Quercus*



**FIG 7:** Defoliación media por especies desde el replanteo de la Red. (Frondosas)

# MEMORIA

## RED EUROPEA DE SEGUIMIENTO INTENSIVO Y CONTINUO

## DE LOS ECOSISTEMAS FORESTALES – RED DE NIVEL II

AÑO 2023

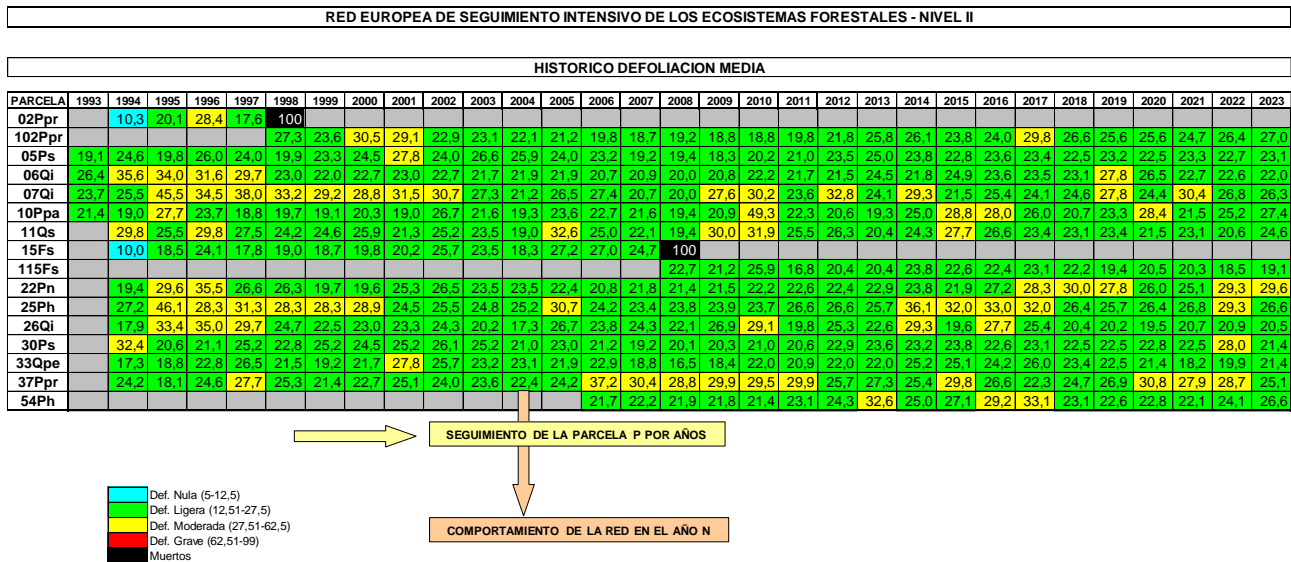


FIG 8a: Evolución de la defoliación media por parcelas a lo largo de la serie histórica

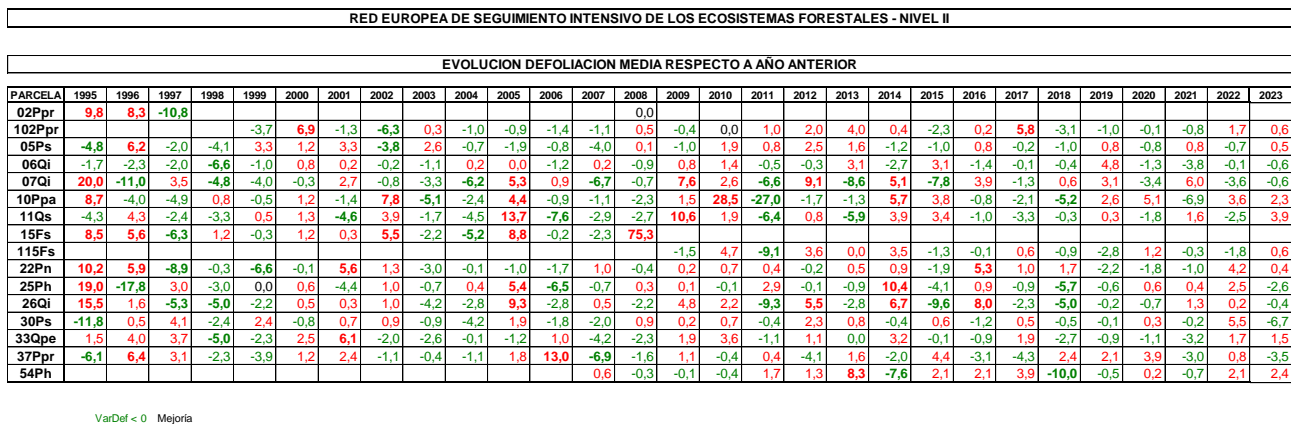
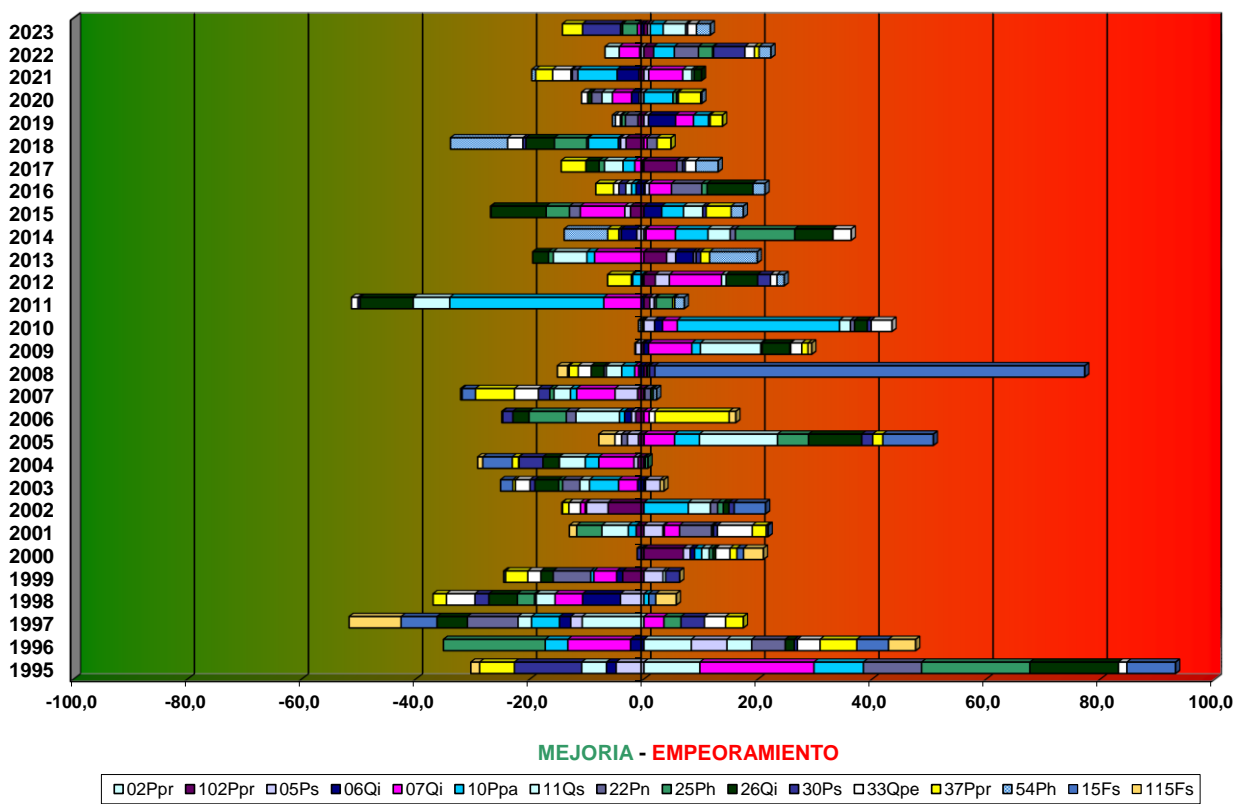


FIG 8b: Evolución de la variación de defoliación media por parcelas a lo largo de la serie histórica

**VARIACION DEFOLIACION ACUMULADA POR PARCELAS**  
**RED EUROPEA DE NIVEL II 1995-2023**



**FIG 9:** Comportamiento anual del conjunto de variaciones de la defoliación. El desplazamiento hacia la izquierda o derecha del eje de ordenadas indica la tendencia general a la mejoría o empeoramiento respectivamente en un año determinado con respecto al precedente.

### 3.2. Agentes dañinos.

En cuanto al conjunto de agentes dañinos identificados y por especies forestales, se observa durante la revisión del año en curso:

1. En la presente revisión y sobre *Pinus halepensis* se observa una gran proliferación de daños por golpe de calor, ligado a amarilleamiento de las acículas de mayor edad y en menor medida aborto de los brotes del año. Los daños por sequía se reducen apreciablemente y están asociados sobre todo a microfilias sobre las acículas del año previo, en que no se dispuso de agua suficiente para la elongación completa de la metida. En cuanto al conjunto de insectos identificado se observa la cohorte habitual en este tipo de masas: defoliadores de tipo braquiderino dando mordeduras en forma de sierra a lo largo del margen, ramales terminales caídos por el suelo y perforados en su base característicos de la acción del perforador *Tomicus destruens* en su fase de alimentación de maduración sexual, pero sin que se adviertan hasta el momento colonizaciones larvarias en pies próximos, que se reducen apreciablemente respecto a la revisión del año anterior, debido quizás a un arbolado con mejor aporte hídrico y mayor resistencia, presencia relativamente frecuente de chupadores, y más salpicada de *Dioryctria splendidella*, asociada a perforaciones en los troncos acompañadas del serrín rojizo que sale de la galería. De entre las enfermedades destaca la presencia de los típicos penachos atabacados y laxos en el extremo distal de los ramales más bajos debidos a la

acción de *Sirococcus conigenus*, habitual hongo debilitador de la especie y que se ve favorecido en condiciones de primavera frías y húmedas en niveles similares a los de la revisión anterior; cuerpos de fructificación de hongos de pudrición aislados, siempre anticipatorios de un mal estado fitosanitario y escobas de bruja ligadas a la acción de *Candidatus phytoplasma*, tumoraciones en ramillos causadas por *Bacillus vuilemini* junto con algunos daños mecánicos por tormentas y la progresiva colonización por *Smilax aspera* en alguno de los pies.

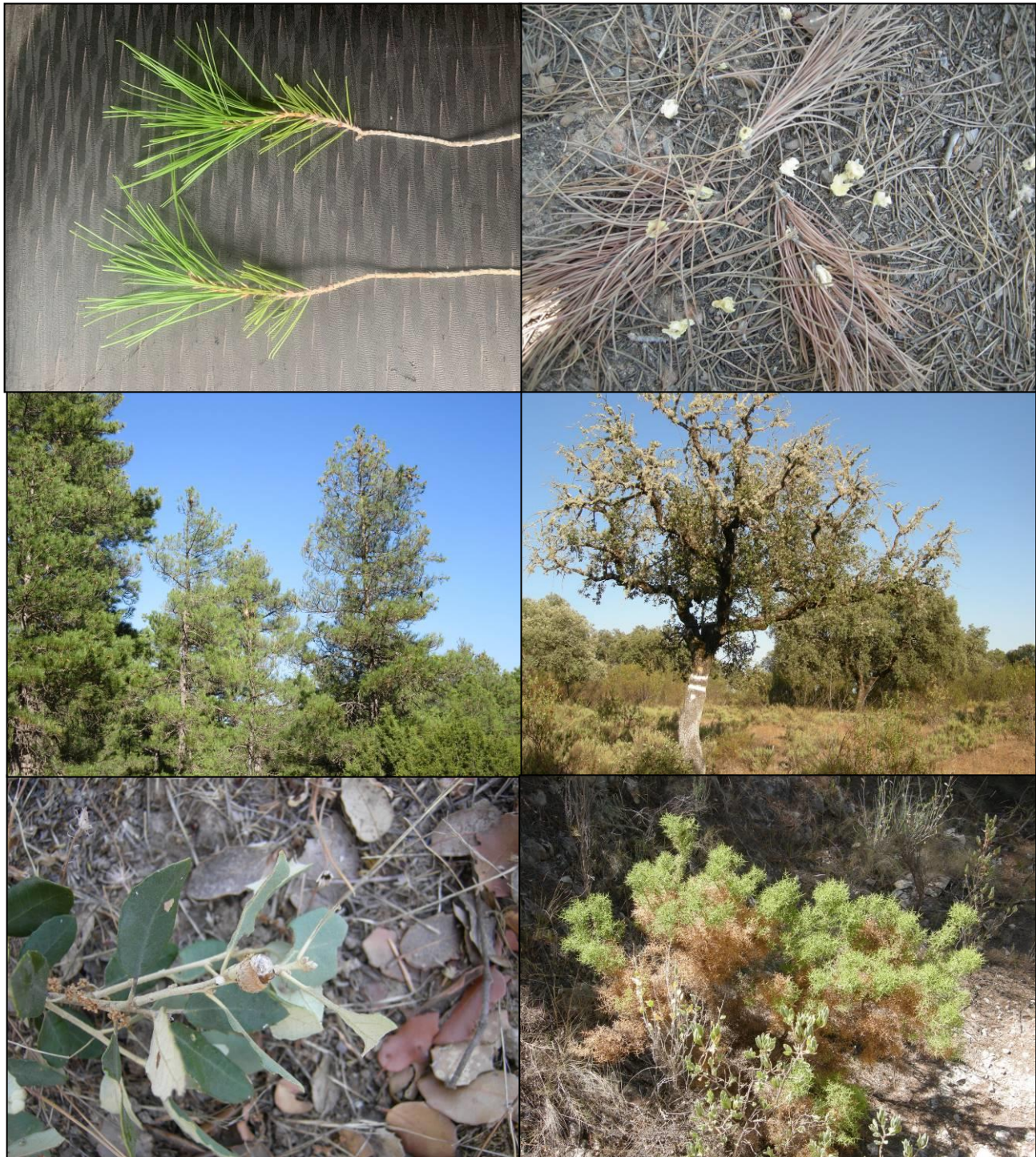
2. Como ya ocurriera en años anteriores, *Pinus nigra* resulta ser uno de los pinos más afectados por los insectos defoliadores, destacando entre ellos la procesionaria del pino, *Thaumetopoea pityocampa*, presente en cerca de la mitad del arbolado, decreciendo respecto a la revisión del año anterior pero encadenando dos ataques sucesivos, responsables del peor estado de la masa, y cuya ciclicidad y apetencia por esta especie de pinos es bien conocida, así como bandeados verde-amarillentos ligados a la acción de chupadores resultando apreciable al tacto el grumo de resina dejado por el aparato suctor del insecto, junto con alguna mordedura marginal de defoliadores braquiderinos, en un nivel similar al del año previo. En la presente revisión tal y como se ha observado en otros especies, se advierte una considerable reducción de los daños por sequía –habida cuenta de la favorable distribución de precipitaciones-, asociados a microfílias de las acículas del año y en menor medida defoliación prematura, reduciéndose apreciablemente los daños abióticos durante la presente evaluación. Se advierten también algunas punteaduras necróticas que podrían estar ligadas a la acción de algún contaminante de tipo aerosol, que vienen disminuyendo paulatinamente en los últimos años.
3. En cuanto al conjunto de daños observados sobre *Pinus pinaster* destaca en primer lugar la presencia de fanerogamas parásitas sobre los árboles, resultando la especie más afectada por estos agentes, advirtiéndose proliferación de muérdago en la provincia de Segovia, donde puede llegar a ser un agente debilitador de importancia al darse sobre un pinar asentado en un suelo de naturaleza arenosa y con escasa capacidad de retención de agua, si bien durante la presente revisión el buen aporte hídrico del verano ha disminuido apreciablemente sus efectos; así como de hiedras en La Coruña, favorecidas por la elevada humedad de la estación y que en algún caso han llegado a ahogar al follaje vivo del árbol. Como se ha venido observando repetidamente, destaca también la considerable reducción de daños por sequía durante el último año, que se limitan a microfílias sobre las acículas de mayor edad, remanentes del año previo en que el arbolado no tuvo agua suficiente para desarrollarse con normalidad y concentrados en la parcela de Segovia. Se advierten también daños en los troncos por operaciones de resinación, debido al creciente interés por este tradicional aprovechamiento forestal, junto con daños debidos a defoliadores braquiderinos en forma de mordeduras en diente de sierra en las acículas de mayor edad destacando la reaparición de *Anoxia australis* ausente en la revisión anterior, bandeados salpicados debidos a la acción de insectos chupadores, unas pocas escamaciones blanquecinas debidas a la acción del chupador *Leucaspis pini*; junto con algunos hongos xilófagos como *Phellinus pini* y resinosis asociadas a la acción de *Sphaeropsis sapinea* en las ubicaciones más húmedas que disminuyen ligeramente durante el último año. Se advierten también daños ligados a la acción de contaminantes atmosféricos, así como daños por falta de luz o exceso de competencia.
4. La cohorte de daños observados sobre *Pinus pinea* es más reducida, destacando, la ausencia de procesionaria del pino, *Thaumetopoea pityocampa*, no visible desde 2020, si bien en la estación considerada se registran ataques episódicos que pueden llegar a tener su importancia, lo que pone de manifiesto su carácter errático caracterizado además por el fenómeno de diapausa en la que se mantiene una población de la plaga de años anteriores que en determinadas condiciones emerge y coloniza al pinar de forma muy patente. Durante la presente revisión destaca la presencia generalizada del perforador *Tomicus destruens* favorecida por unas cortas efectuadas justo al lado de la parcela, y que si bien se han tratado por astillado posterior de los residuos, han dado lugar a la

proliferación de ramales terminales atacados por alimentación de maduración sexual del adulto, sin que se registren colonizaciones o entradas en los troncos, momento en que el escarabajo puede llegar a convertirse en un agente primario, causando la muerte del hospedante por su anillamiento por las galerías larvarias. Está muy extendido también el hongo defoliador *Thyriopsis halepensis*, que causa la pérdida de las acículas más antiguas en las ramas más bajas y que se ve favorecido en primaveras húmedas, superponiéndose además a los fenómenos de autopoda, lo que da un aspecto muy ralo a la parte baja de las copas, concentrándose la foliación en los ápices, y que se configura ya como un endemismo de la estación. Como en otras especies, apenas se ven daños por sequía durante la evaluación del año en curso, advirtiéndose tan solo alguna microfílula aislada salpicada y sin mayor importancia.

5. En *Pinus sylvestris*, al igual que en el caso anterior, se reducen apreciablemente los daños abióticos, frecuentes en la revisión anterior, al haber mejorado la disponibilidad del agua a comienzos del verano, lo que se ha traducido en una considerable mejoría del arbolado. Como viene siendo habitual, se advierte la presencia salpicada del perforador *Tomicus minor* que se incrementa respecto al año anterior, como también lo hacen, si bien de forma más acusada, los insectos chupadores y los defoliadores de tipo braquiderino. Es también significativa, más por la amplitud de los daños que provoca que por su abundancia, la roya *Cronartium flaccidum* (o su variedad cortícola *Peridermium pini*) que en ocasiones actúa como un agente primario asociado a la muerte directa del hospedante, así como la presencia de muérdago en uno de cada cuatro pinos evaluados en una ligera pero sostenida expansión. Se han observado también punteaduras necróticas amarillentas en acículas de años previos, lo que podría indicar la acción de algún contaminante de tipo aerosol.
6. En cuanto al conjunto de agentes identificados sobre las hayas, *Fagus sylvatica*, destaca la presencia generalizada del minador *Rhynchaenus fagi* asociado a las típicas necrosis triangulares en el ápice de la hoja causadas por la alimentación larvaria junto con los agujeros de perdiguero en el limbo causados durante la fase de maduración del insecto y que se incrementa considerablemente respecto a la revisión anterior, afectando a casi todas las hayas evaluadas, así como una presencia más ligera de agallícolas tales como *Mikiola fagi* en menor medida que la revisión anterior. Como viene siendo la tónica de la Red, no se advierten los daños por sequía o golpe de calor tan habituales durante la revisión del año previo, mientras que se ven algunos daños mecánicos por tormentas o granizo. Son relativamente frecuentes también los hongos de pudrición en los troncos, favorecidos por la humedad de la estación, así como los daños mecánicos de distinta naturaleza en los troncos debido a antiguas operaciones selvícolas.
7. La presencia de insectos sobre especies de hoja ancha es, como suele ser habitual, superior a las coníferas, tal y como sucede en las **encinas**, *Quercus ilex*, sobre las que se advierte una abundante presencia de defoliadores asociados a daños en ventana sobre el limbo y mordeduras a lo largo de los bordes de la hoja, sin llegar a alcanzar el nervio central y en menor medida a la aparición de esqueletizaciones, en las que el insecto afecta al parénquima del tejido mientras deja intacta la nerviación, ligadas muchas veces a la acción tortrídica, que en algún caso han llegado a dañar la brotación incipiente; incrementándose apreciablemente respecto a la revisión del año previo. Destacan también –aunque están menos representados- los perforadores, sobre todo *Coroebus florentinus* de quien se ven los habituales fogonazos rojizos causados por el anillamiento de ramillas laterales y que también aumentan, si bien de forma más ligera, durante la presente revisión, así como agallas de *Dryomyia lischtensteini* en niveles inferiores a los del año previo. Se advierte también la presencia de los típicos ramales distales puntisecos debidos a la acción de *Botryosphaeria stevensii* (*Diplodia mutila*) en niveles similares, junto con hongos de pudrición en los troncos de los ejemplares más añosos y fumaginas en las hojas asociadas presumiblemente a *Capnodium sp* o *Aerobasidium sp* así como erinosis en el envés foliar causados por *Eriophyes ilicis*. Contrariamente a lo que ha ocurrido en el resto de las parcelas, se advierte un cierto incremento de los daños por falta

de agua o elevadas temperaturas asociadas a los clásicos enrollamientos de las hojas a lo largo del nervio central para reducir las pérdidas de agua por transpiración. Se advierte también proliferación de hiedras en los troncos en un síntoma típico de los encinares más húmedos y que pueden llegar a alcanzar la copa principal poniendo en peligro su supervivencia; así como daños esporádicos por bacterias como *Brenneria quercina* o *Agrobacterium tumefaciens* en aparente expansión, y en menor medida daños salpicados por falta de luz, así como daños mecánicos esporádicos debidos a antiguas nevadas, ya cicatrizados y sin mayor trascendencia.

8. Sobre *Quercus petraea* y como ya sucediera en anteriores revisiones, están ampliamente representados los defoliadores tortrícidos que se incrementan apreciablemente respecto a la revisión anterior, y en menor medida los daños por perforadores como *Coroebus florentinus*, junto a manchas blanquecinas de oido por *Microsphaera alphitoides* en menor medida que en la revisión anterior; así como daños mecánicos y de falta de luz salpicados por las copas. Sobre esta especie se han advertido también algunos daños en las hojas causados por granizo.
9. En los alcornoques, *Quercus suber*, el rasgo más patente es el descorche de la parcela en 2021, dentro del normal aprovechamiento forestal del monte en el que se encuentra, y que se efectúa con periodicidad decenal. Se incrementan así ligeramente los insectos perforadores, no tanto por un mayor nivel de actividad, sino porque la retirada del corcho permite observarlos más fácilmente, destacando la presencia de *Cerambyx wellensis* asociado a alguna muerte o derribo del árbol afectado por reducir la sección resistente del tronco y que se configura como el principal factor de desequilibrio del arbolado, mientras que los daños por *Coroebus undatus* en forma de las típicas galerías o culebrillas del corcho se consideran ya inactivas y cicatrizadas y dejan de considerarse como un agente activo. Se incrementan también los fogonazos de ramillas terminales causadas por el perforador *Coroebus florentinus* aunque los daños observados no revisten gravedad hasta el momento. Están también muy extendidas las mordeduras en el margen y limbo foliares debidas a la acción de defoliadores tortrícidos, agallas de *Andricus kollarii* y *Dryomyia lischtensteini*, y algunas ramas con oquedades oscuras causadas por *Hypoxylon mediterraneum*, hongo asociado a las operaciones de descorche, en menor proporción que durante el año anterior. Continúan viéndose los habituales enrollamientos de las hojas a lo largo del nervio central para reducir los efectos de la sequía.



**FIG 10:** Microfilia en metida de 2022 por sequía. Ramillos caídos y perforados por *Tomicus destruens*. Defoliaciones sucesivas por procesionaria. Daños por seca en encina. Melazo y pudrición de bellotas por *Brenneria quercina*. Daños en sotobosque por sequía.

### 3.3. Síntomas y signos.

Al igual que en el caso anterior, los síntomas y signos más representados por especies forestales se resumen a continuación:

1. Sobre *Pinus halepensis* se observa una amplia representación de síntomas y signos, de entre quienes destaca la presencia de microfilia en las acículas del año previo y decoloraciones amarillentas de distinta naturaleza, sobre las acículas de mayor edad junto con puntisecado de ramillos finos, y en menor medida aborto de brotes del año, síntomas de decaimiento y asociados a problemas de sequía/golpe de calor y escasa iluminación en la ramificación de la parte baja de la copa, a lo que contribuye la acción de hongos defoliadores. Se registran también resinosis en los troncos, junto con algunas deformaciones en la base.
2. En cuanto al conjunto de síntomas observados sobre *Pinus nigra* destacan en primer lugar la aparición de festoneados o mordeduras a lo largo del margen foliar debidas a la acción de la procesionaria, decoloraciones verde-amarillentas de distinta naturaleza y microfilia en las acículas de mayor, caída prematura de follaje, tumoraciones y resinosis en troncos, ramillas puntisecas y roturas en las de menores dimensiones.
3. Con respecto a los síntomas observados sobre *Pinus pinaster* destaca en primer lugar, bajo el epígrafe de otros signos, la proliferación de muérdagos y hiedras a las que se hacía referencia en el apartado anterior, junto con microfilia o aborto de los ramillos del año y decoloraciones amarillentas o rojizas de distinto tipo, puntisecado de ramillas, heridas y resinosis en los troncos, muchas de ellas ligadas al tradicional aprovechamiento resinero del monte y en otras ocasiones relacionadas con la presencia de *Sphaeropsis sapinea* en las áreas más húmedas, donde también han proliferado los daños mecánicos y roturas debidas a tormentas o vendavales.
4. Sobre *Pinus pinea* están generalizados la caída prematura de acículas por *Thyriopsis halepensis*, sobre todo en las partes bajas de la copa, ramillos terminales y brotes del año muertos por la acción de *Tomicus destruens*, tumoraciones leves en la parte baja de los troncos, junto con decoloraciones amarillentas en las acículas de mayor edad, rotura de ramas y aborto de brotes del año.
5. Los síntomas más abundantes en *Pinus sylvestris* son el amarilleamiento de las acículas de mayor edad debido a fenómenos estivales, mordeduras de distinto tipo en las acículas por defoliadores de tipo braquiderino, así como puntisecados en ramillos terminales, generalmente asociadas a ataques de escolítidos perforadores y en menor medida, presencia de muérdago, roturas de ramas y ramillos por tormentas y resinosis en troncos y ramas.
6. Sobre *Fagus sylvatica* destacan los agujeros foliares causados por la alimentación de la fase adulta de *Rhynchaenus fagi*, así como los típicos daños en triángulo por la acción de la fase larvaria de este curculiónido, amarilleamientos, agallas foliares, roturas en las ramillas debidas a tormentas, junto con puntisecados salpicados, así como grietas, descortezamientos y pudriciones en los troncos.
7. Los síntomas sobre *Quercus ilex* tal y como ya se advirtiera en anteriores revisiones, están también ampliamente distribuidos toda vez que la especie es la más representada en la red, presente en tres parcelas alejadas geográficamente entre sí. Destaca sobre todo el puntisecado de ramillas finas, muy ligado a problemas puntuales de falta de luz sobre la ramificación más baja, acción de hongos desestabilizadores o insectos perforadores, presencia de hiedras en las parcelas con mayor grado de humedad; plegamientos en las hojas ligados a sequía y golpe de calor en un clásico mecanismo de reducción de las pérdidas por transpiración a través de la reducción de la superficie foliar, agallas y

mordeduras en el margen foliar ocasionadas por defoliadores, descortezamientos y tumores en las partes leñosas.

8. De entre los síntomas presentes sobre *Quercus petraea* destacan sobre todo mordeduras de distinta naturaleza en las hojas debidas a la acción de los defoliadores, fenómenos de decoloración amarillenta o rojiza ligados sobre todo a la acción de hongos foliares, junto con agujeros por granizadas a comienzos del verano, una vez que se ha desplegado el limbo, roturas y puntisecados en ramas, ligados estos a problemas de falta de luz en las partes bajas de la copa, junto con deformaciones o pudriciones en la parte baja de los troncos.
9. En *Quercus suber* se advierten sobre todo plegamientos de las hojas a lo largo del nervio central para reducir las pérdidas de agua por transpiración debido a las altas temperaturas, junto con decoloraciones amarillentas, mordeduras y esqueletizaciones debidas a la acción de defoliadores y puntisecado y aborto de ramillos; junto con exudaciones bacterianas, tumoraciones en los troncos y descortezamientos ligados al aprovechamiento corchero.



**FIG 11:** Escoba de bruja. Agujeros por granizo. Esqueletización. Agallas foliares por *Dryomyia lichessteini*.

	<i>Pinus halepensis</i>	<i>Pinus nigra</i>	<i>Pinus pinaster</i>	<i>Pinus pinea</i>	<i>Pinus sylvestris</i>	<i>Eucalyptus sp</i>	<i>Fagus sylvatica</i>	<i>Quercus ilex</i>	<i>Quercus petraea</i>	<i>Quercus robur</i>	<i>Quercus suber</i>
<b>ANIM.</b>											
Ciervo											
Jabalí											
Aves											
Picidae											
<b>INSECTOS</b>											
Defoliadores		■									
<i>Anoxia australis</i>				■							
<i>Lepus europaeus</i>					■						
<i>Thaumetopoea pityocampa</i>		■									
Perforadores	■			■	■						
<i>Agrilus grandiceps</i>											
<i>Cerambyx welensii</i>											
<i>Coroebus florentinus</i>											
<i>Dioryctria splendidella</i>											
<i>Retinia resinella</i>											
<i>Tomicus destruens</i>				■	■						
<i>Tomicus minor</i>						■					
Chupadores										■	
<i>Leucaspis pini</i>											
Pulgones											
Minadores	■						■	■			
<i>Rhynchosciara fagi</i>											
Form. Agallas						■				■	
<i>Andricus kollari</i>											
<i>Andricus quercustozae</i>										■	
<i>Dryomyia lichtensteini</i>											
<i>Mikiola fagi</i>											
<i>Neuroterus anthracinus</i>											
<i>Ophelimus maskellii</i>						■					
<i>Phyllocoptes cocciferae</i>											
<i>Plagiotrochus quercusilicis</i>									■		
Otros insectos											
<b>ENFERMEDADES</b>											
Hongos/Rayas acíc				■	■						
<i>Lophodermium pinastri</i>				■							
<i>Thyriopsis halepensis</i>				■							
Rayas tronco y brotes					■						
<i>Cronartium flaccidum</i>						■					
Tizón											
<i>Botryosphaeria stevensii</i>											
<i>Hypoxyylon mediterraneum</i>											
<i>Phytophthora sp</i>											
<i>Sirococcus conigenus</i>											
<i>Sphaeropsis sapinea</i>											
Hongos pudrición						■					
<i>Fomes pini</i>						■					
<i>Ganoderma sp</i>											
<i>Phellinus pini</i>											
Manchas hojas											
<i>Mycosphaerella maculiformis</i>											
<i>Spilocaea quercusilicis</i>											
Oidio											
<i>Microsphaera alphitoides</i>											
Deformaciones											
<i>Taphrina krueppelii</i>											
Otros hongos							■				
Fumiginas											
Fact. físicos	■									■	
Sequía	■										■
Granizo											
Calor	■										
Rayo											
Nieve/Hielo											
Viento/Tornado											
Otros fact.abióticos				■	■						
<b>AG. ANTRÓPICOS</b>											
Podas									■		
Resinación			■								
Op. en pies próximos											
Daños mecánicos/vehículos											
Const. caminos											
Otros daños antrópicos											
Fuego											
Contaminantes											
<i>Viscum album</i>			■		■						
<i>Hedera helix</i>			■								
<i>Smilax aspera</i>											
Bacterias											
<i>Bacillus subtilis</i>											
<i>Brenneria quercinea</i>											
<i>Agrobacterium tumefaciens</i>											
Falta luz	■										
Inter.físicas					■						
Compet/Espesura											
<i>Eriophyes ilicis</i>											
Otros daños											
D Ag.desconocido	■	■	■	■	■	■	■	■	■	■	■

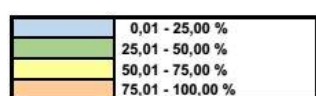
# MEMORIA

RED EUROPEA DE SEGUIMIENTO INTENSIVO Y CONTINUO

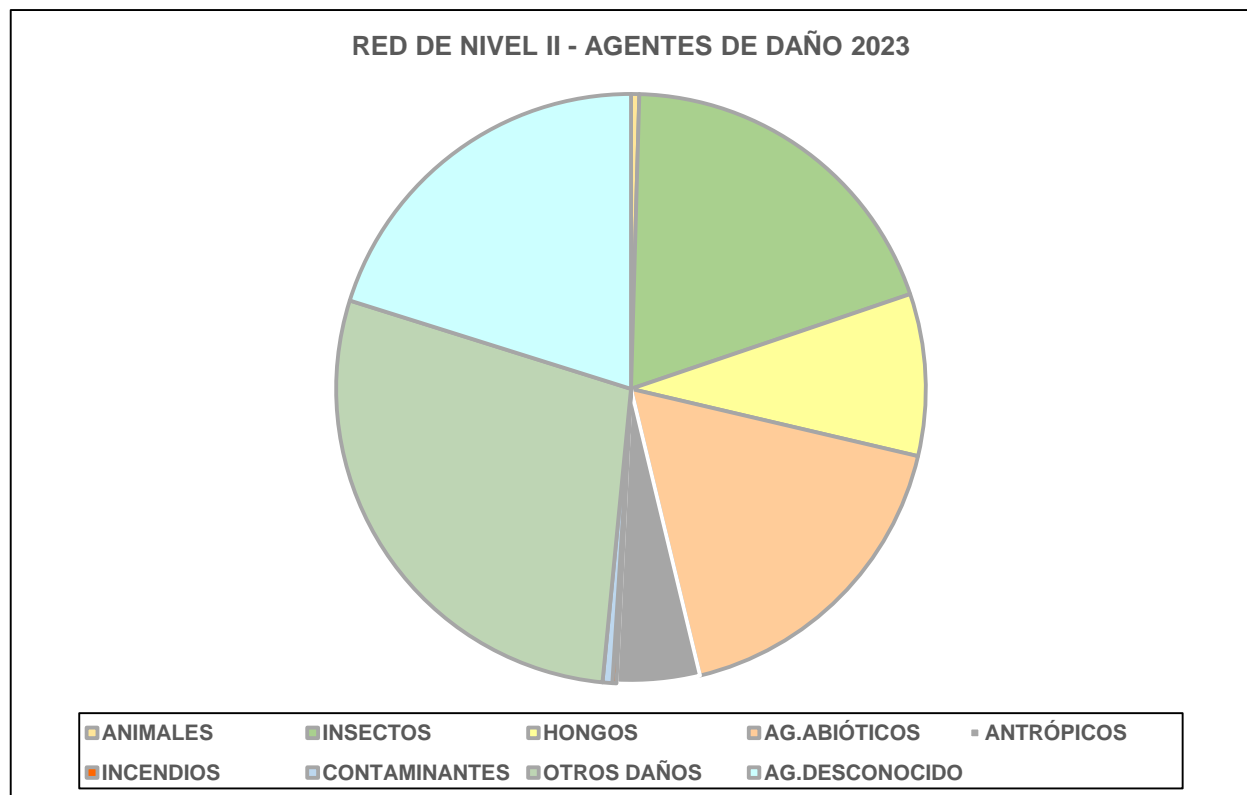
DE LOS ECOSISTEMAS FORESTALES – RED DE NIVEL II

AÑO 2023

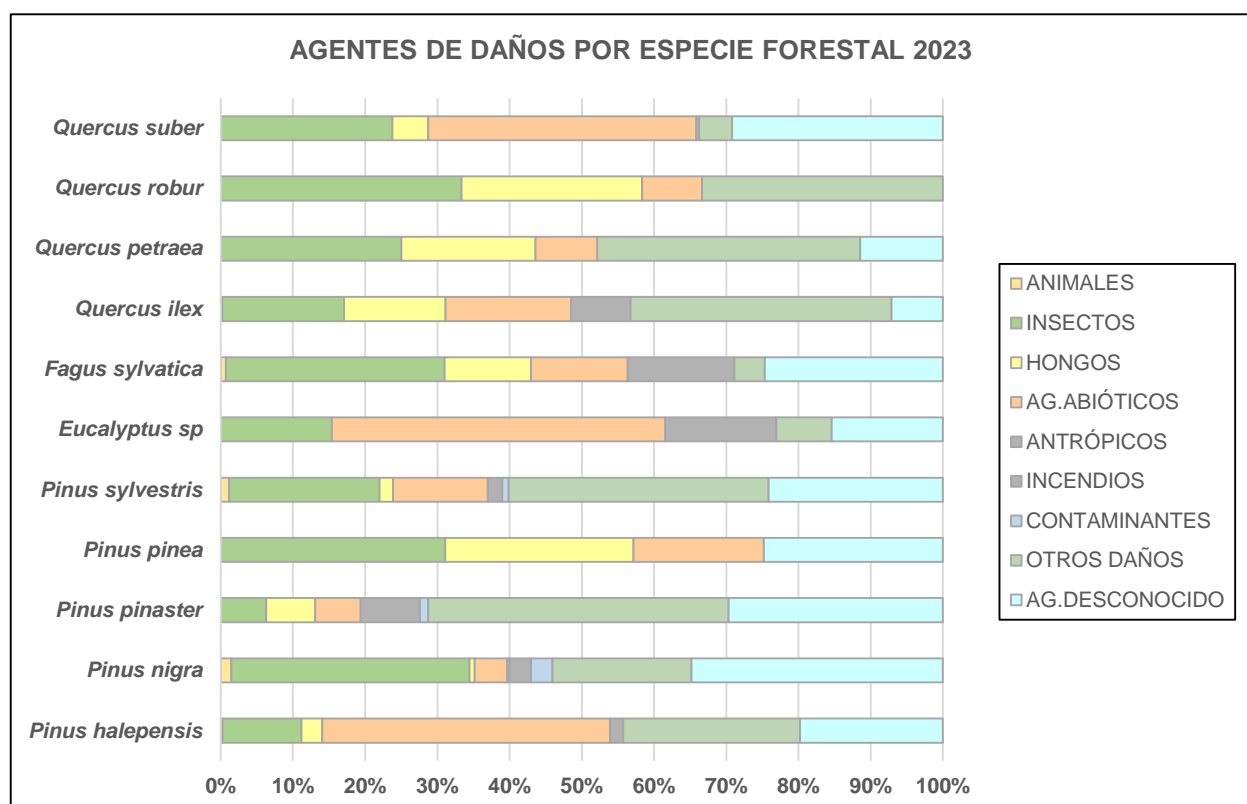
		<i>Pinus halepensis</i>	<i>Pinus nigra</i>	<i>Pinus pinaster</i>	<i>Pinus pinea</i>	<i>Pinus sylvestris</i>	<i>Eucalyptus sp</i>	<i>Fagus sylvatica</i>	<i>Quercus ilex</i>	<i>Quercus petraea</i>	<i>Quercus robur</i>	<i>Quercus suber</i>
Hojas/Acículas Comidas/perdidas	Agujeros/Parc. comidas											
	Muescas											
	Esqueletizadas											
	Minadas											
	Caída prematura											
<b>Hojas/Acículas Comidas/perdidas</b>												
Hojas/Acículas Decoloración Verde-amarillo	Completa											
	Punteado											
	Bandeados											
	Apical											
	Parcial											
<b>Hojas/Acículas Decoloración Verde-amarillo</b>												
Hojas/Acículas Decoloración Rojo-marrón	Completa											
	Punteado											
	Parcial											
	<b>Hojas/Acículas Decoloración Rojo-marrón</b>											
	<b>Hojas/Acículas Decoloración Bronceado</b>											
<b>Microfilia</b>	Hoj/Ací Microfilia											
<b>Hojas/Acículas Microfilia</b>												
Deformaciones	Parcial											
	Rizadas											
	Enrolladas											
	Plegadas											
	Agallas											
	Otras deformaciones											
	Chancros											
	Tumores											
<b>Deformaciones</b>												
<b>Otros síntomas</b>	Otros síntomas											
<b>Otros síntomas</b>												
<b>Signos insectos</b>	Nidos											
	Adultos,larvas,ninfas,...											
	Perforaciones,serrín											
<b>Signos insectos</b>												
<b>Signos hongos</b>	Cob. blanca hojas											
	C. fructificación											
	Descortezamientos											
	Ampollas amar-naranj											
<b>Signos hongos</b>												
<b>Otros signos</b>	Otros signos											
<b>Otros signos</b>												
<b>Rotura</b>	Rotura en tr. y ramas											
<b>Rotura en tronco y ramas</b>												
<b>Muerto/moribundo</b>	Ramillas Muert/morib											
<b>Ramillas Muertas/moribundas</b>												
<b>Aborto</b>	Aborto de ramillas											
<b>Aborto de ramillas</b>												
<b>Necrosis</b>	Necrosis en t. y ramas											
<b>Necrosis en tronco y ramas</b>												
<b>Heridas en tronco y ramas</b>	Descortezamientos											
	Grietas											
	Otras heridas											
<b>Heridas en tronco y ramas</b>												
<b>Resinosis</b>	Resinosis en tr. y r.											
<b>Resinosis en tronco y ramas</b>												
<b>Exudaciones</b>	Exudaciones en tr. y r.											
<b>Exudaciones en tronco y ramas</b>												
<b>Pudriciones</b>	Pudriciones en tr. y r.											
<b>Pudriciones en tronco y ramas</b>												
<b>Tronco Inclinado</b>	Tronco Inclinado											
<b>Tronco Inclinado</b>												



**FIG 12a:** Distribución y abundancia por especies de agentes, síntomas y signos.



**FIG 12b:** Distribución de agentes de daño durante la campaña



**FIG 12c:** Distribución relativa de agentes de daño por especie forestal

### 4. Deposición atmosférica.

El ciclo de nutrientes y la acidez del suelo son factores importantes que influyen en la distribución de los bosques, su crecimiento y su estado fitosanitario. Durante la década de los 80 se determinó que la deposición de contaminantes era uno de los factores que podían desestabilizar los ecosistemas forestales; los estudios realizados se focalizaron en los efectos de la acidez de la deposición atmosférica sobre la funcionalidad de las hojas, el intercambio iónico entre la deposición y la superficie foliar y el aporte externo de nutrientes sobre el suelo, especialmente el nitrógeno.

La preocupación por el evidente deterioro que manifestaban muy diferentes ecosistemas y formaciones forestales, junto con su amplia distribución geográfica en toda Europa, así como el incremento de la actividad industrial y urbana a lo largo de todo el siglo XX hicieron pensar en la contaminación atmosférica como uno de los factores desencadenantes o al menos coadyuvantes en la profusión de daños observados sobre el arbolado (defoliaciones o pérdida exagerada de hojas, decoloraciones respecto a la coloración normal que venía presentando el arbolado, envejecimiento del arbolado,... en un conjunto de síntomas que recibió el nombre de “muerte de los bosques”), que no obedecían a una causa clara de daños o atribuible a uno de los agentes considerados “clásicos” hasta el momento, tal como una plaga o enfermedad forestal.

Esta preocupación dio lugar a la Convención Internacional sobre Transporte de la Contaminación Atmosférica a Larga Distancia (LRTAP), a través de la Comisión Económica para Europa de las Naciones Unidas (UNECE), que desarrolló, entre otros programas de cooperación internacional, el Programa Internacional de Cooperación sobre Bosques, ICP-Forests (1985), que estableció una metodología común para estudiar y evaluar los daños en la superficie forestal de los 41 países signatarios entre los que se encontraba España.

Entre las metodologías de evaluación desarrolladas se encuentra la determinación de la deposición atmosférica en las áreas forestales, mediante la determinación analítica de una serie de parámetros, regulados por los Reglamentos Comunitarios 3528/86 *de Protección de los Bosques de la Comunidad contra la Contaminación Atmosférica* y 1091/94 *de aplicación del Reglamento 3528/86* plasmados en el Manual de las Redes (*Manual on methods and criteria for harmonized sampling, assessment, monitoring and analysis of the effects of air pollution on forests*) <http://icp-forests.net/page/icp-forests-manual>

La deposición atmosférica es un conjunto de procesos que conducen al depósito de materiales ajenos (a través de hidrometeoros, aerosoles o movimiento de gases) sobre la superficie descubierta del suelo o sobre la superficie exterior de árboles y plantas (troncos, ramas y hojas).

La cantidad de materiales recibidos por unidad de superficie en un periodo de tiempo determinado se denomina **tasa de deposición**. La deposición depende de la concentración de contaminantes en una estación y momento determinados, lo que a su vez depende de la situación y actividad de las fuentes de emisión (grandes núcleos urbanos, centrales térmicas o industrias) así como de las condiciones atmosféricas, que determinan no sólo el movimiento de los contaminantes sino la reactividad entre los mismos.

Asimismo en la deposición se consideran tres componentes:

- ✓ **Deposición seca:** en ella, los gases y aerosoles pasan directamente de la atmósfera a la superficie del suelo, del agua o de la vegetación. La tasa de deposición seca es función de la concentración de contaminantes en la atmósfera, la naturaleza físico-química de la sustancia que se deposita, la capacidad de la superficie receptora de capturar o absorber gases y partículas y de la capacidad de

transporte turbulento de la capa límite. Es el tipo de deposición más abundante en las zonas próximas a los focos de emisión.

- ✓ **Deposición húmeda:** aquella que es arrastrada por la lluvia o por la nieve. En ella, el arrastre por precipitación va precedido de un proceso de lavado en virtud del cual las sustancias contaminantes se unen a las nubes o gotas de precipitación. Es el tipo de deposición más abundante en las zonas alejadas de los focos de emisión.
- ✓ **Deposición por nubes, niebla y oculta:** la vegetación intercepta directamente el agua y los contaminantes de las nubes, de la niebla, el rocío y la escarcha.

Además, tanto en la deposición seca como en la húmeda se diferencian dos componentes en función de si dependen o no de las características de la superficie receptora. Son independientes de la misma el arrastre por precipitación de lluvia o nieve en la deposición húmeda y el polvo en la deposición seca; mientras que dependen de la superficie receptora la deposición oculta y recogida en nieblas en la deposición húmeda y los gases adsorbidos y absorbidos y el polvo acumulado en la deposición seca.

Los procesos físico-químicos que se desarrollan en la superficie de la cubierta vegetal son además enormemente complejos. En la superficie de las copas se produce la acumulación de polvo y la absorción y adsorción de gases de la deposición seca, la entrada de deposición húmeda y el lavado por la lluvia de la deposición seca acumulada durante los períodos sin precipitación. Se produce además una concentración de los elementos disueltos o en suspensión por efecto de evaporación del agua interceptada y tiene lugar también un flujo de doble sentido entre el interior y el exterior de la vegetación que origina el intercambio de sustancias a través de los poros de las hojas con adsorción de fuera hacia adentro y lixiviación de dentro hacia fuera. La complejidad de estos procesos dificulta la determinación del origen de los contaminantes y la cuantificación de las fracciones que entran por diferentes vías y en distintas formas.

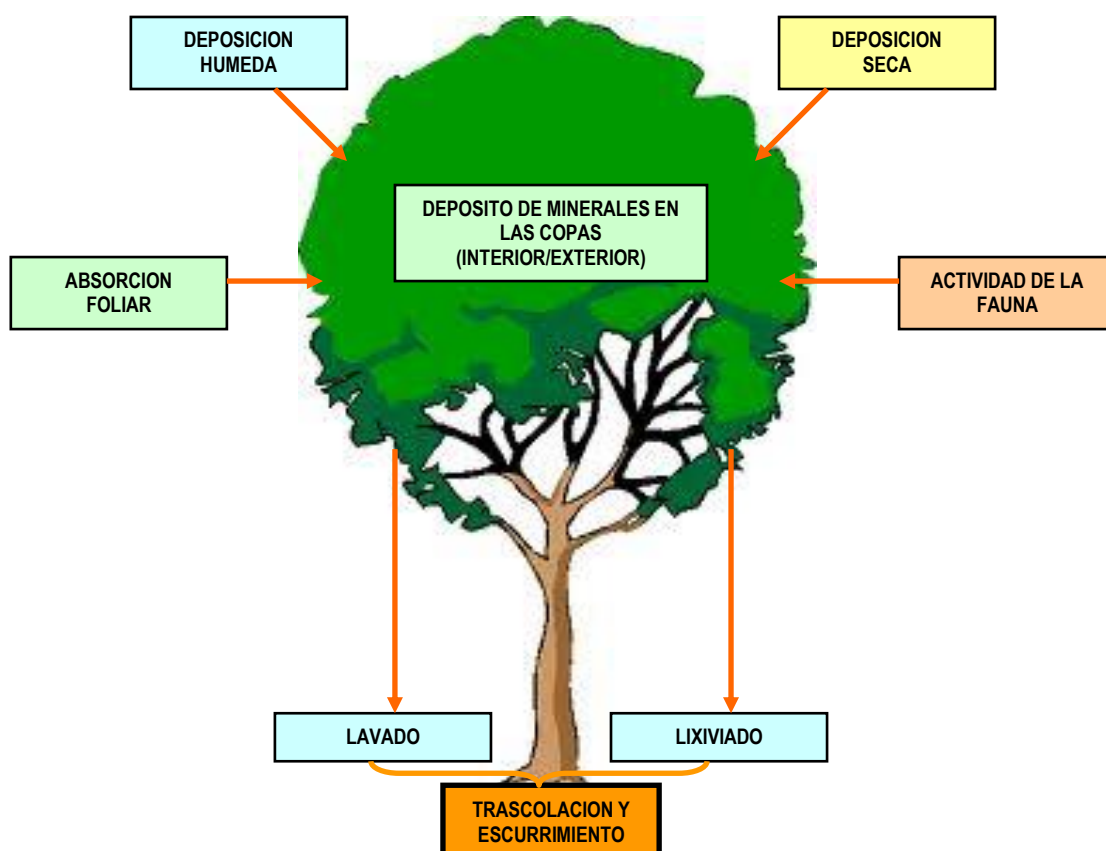


FIG 13: Vías de entrada/salida al ecosistema

Para desarrollar un programa de seguimiento de los efectos de la contaminación atmosférica sobre la salud de los bosques, es necesario disponer de una estimación de la cantidad de contaminantes que entran periódicamente por unidad de superficie. La enorme dificultad en gestionar áreas forestales de considerable extensión, junto con la necesidad de disponer de datos de forma casi continua, así como la necesidad de desarrollar sistemas de medición lo más económicos posible, que permitan el seguimiento de la deposición durante períodos de tiempo largos, representativos de los ecosistemas, han llevado al desarrollo del **método de trascolación**, que permiten la estimación de la deposición total midiendo el volumen de precipitación a través de tres vías de entrada al ecosistema junto con la concentración de iones en esos flujos, de forma que se pueda:

- ✓ Calcular la deposición húmeda
- ✓ Estimar la deposición seca
- ✓ Caracterizar los procesos de interacción que tienen lugar en las copas

Como vías de entrada al ecosistema se tomarán:

- ✓ Precipitación bajo dosel arbóreo (denominada trascolación o *throughfall*) en la que se recoge el agua que llega al suelo tras atravesar el follaje de la masa forestal, tras mojar la superficie de las copas e interaccionar con ellas, arrastrando parte de la deposición seca previamente depositada
- ✓ Precipitación en campo abierto (denominada precipitación incidente o *bulk deposition*) que llega al suelo sin atravesar el dosel arbóreo y que se correspondería con la anteriormente denominada deposición húmeda.
- ✓ Escurrimiento a través de los troncos, de parte de la precipitación de trascolación, que en la práctica resulta ser de escasa entidad, sólo de cierta importancia en especies de corteza lisa tal como las hayas.

### 4.1. Variables analizadas.

Para la caracterización de las deposiciones, y la calidad del agua que llega al ecosistema, el Manual de Referencia antedicho señala como obligatorios los siguientes parámetros de medición:

#### *pH (potencial de Hidrógeno).*

Medida de la acidez (o basicidad) de una disolución, considerándose que la misma es neutra cuando alcanza un valor de 7,0. Valores inferiores indican acidez mientras que valores superiores indican basicidad.

En general se admite que se está ante episodios de *lluvia ácida* cuando se registran valores iguales o inferiores a 5,65.

El Reglamento Técnico Sanitario de Aguas Potables (RTSAP, 2023) considera que un agua destinada al consumo humano debe tener un pH comprendido entre 6,5 y 9,5.

#### *Conductividad.*

Indica la capacidad del agua para conducir la corriente eléctrica. Dado que ésta se transporta a través de los iones que tiene en disolución, la conductividad aumenta cuando mayor es la concentración de iones en la disolución y es por tanto un índice general de la presencia de sustancias disueltas. Mayores valores indican por tanto una mayor presencia de solutos en el agua.

Como valores estándar se considera que el agua potable tiene una conductividad de 50-500  $\mu\text{S}/\text{cm}$ , mientras que el agua de mar alcanza valores de 50.000  $\mu\text{S}/\text{cm}$ . El valor máximo autorizado por el RTSAP es de 2.500  $\mu\text{S}/\text{cm}$ .

### ***Calcio, Magnesio y Potasio.***

Sustancias que se encuentran en el agua de lluvia debido fundamentalmente a su origen terrígeno, al formar parte de la mayoría de los suelos, especialmente en zonas de terreno calizo.

### ***Sodio y Cloro.***

Tienen un origen marino en la mayoría de los casos, dependiendo su concentración esencialmente de la distancia a la línea de costa. El papel tóxico que ambos iones juegan sobre la vegetación es ampliamente conocido y el RTSAP marca como valores límite 200 mg/l en el caso del sodio y 250 mg/l en el del cloro-cloruro.

### ***Amonio.***

Tiene su origen en emisiones contaminantes a la atmósfera, provenientes fundamentalmente de actividades agrícolas o ganaderas. Tiene también un papel en la acidificación del suelo durante los procesos de oxidación bacteriana. El RTSAP marca como valor límite el de 0,50 mg/l.

Según la metodología ICP-Forests el amonio se expresa en nitrógeno en forma de amonio, N(NH<sub>4</sub>), siendo su equivalencia N(NH<sub>4</sub>) ~ 0,777 NH<sub>4</sub>

### ***Nitratos y Sulfatos.***

Producidos fundamentalmente por la actividad industrial, doméstica y de transporte, ligados en la mayoría de los casos a procesos de combustión, y que son responsables en su mayor parte de la acidificación de la deposición que llega a los ecosistemas forestales: los óxidos de nitrógeno y azufre emitidos a la atmósfera por el empleo de combustibles fósiles se transforman en ácidos nítrico y sulfúrico respectivamente.

La emisión de estos compuestos ha ido incrementándose conforme aumentaba la actividad industrial y de transporte y la entrada en vigor de la Convención LRTAP permitieron una disminución en las tasas de emisión a partir de los años 90. No debe olvidarse tampoco el papel precursor que los óxidos de nitrógeno junto con la radiación solar tienen en la formación de un contaminante secundario, el ozono, que a diferencia de los anteriores actúa en forma de aerosol.

Como valor límite para los sulfatos, el RTSAP marca 250 mg/l y de 50 mg/l para los nitratos.

Según la metodología ICP-Forests los nitratos se expresan en nitrógeno en forma de nitratos y los sulfatos en azufre en forma de sulfatos, N(NO<sub>3</sub>) y S(SO<sub>4</sub>) respectivamente, siendo sus equivalencias N(NO<sub>3</sub>) ~ 0,226 NO<sub>3</sub> y S(SO<sub>4</sub>) ~ 0,333 SO<sub>4</sub>.

### ***Alcalinidad.***

La alcalinidad es la capacidad acido-neutralizante de una sustancia química en disolución acuosa, expresada en equivalentes de base por unidad de volumen, y mide la capacidad tampón o buffer de una

disolución, esto es, la capacidad de ésta para mantener su pH estable frente a la adición de un ácido o una base.

No debe olvidarse tampoco que estos iones interactúan entre sí, de tal modo que se han descrito episodios en los que la deposición ácida total sobre el suelo puede verse parcial o totalmente neutralizada por aportes de polvo sahariano a larga distancia, o bien disminuciones de la capacidad acidificante de nitaros y sulfatos por adición de cationes básicos tales como el calcio o el magnesio o el efecto de la deposición marina.

### ***Nitrógeno total.***

Nitrógeno agregado de las distintas fuentes nitrogenadas: nitratos, nitritos, amonio,... Medido en el periodo 1999-2007 y nuevamente a partir de 2020.

### ***Carbono orgánico disuelto.***

El carbono orgánico disuelto (DOC) hace referencia al carbono presente en la deposición proveniente de la descomposición de la materia orgánica disuelta, que puede provenir de fuentes naturales (ácidos húmico o fulvico, aminas o ureas) o artificiales (detergentes, pesticidas, fertilizantes, herbicidas, compuestos orgánicos clorados). Medido a partir de 2020.

### ***Metales pesados***

Aluminio, Manganeso y Hierro. Como valores límite el RTSAP marca 0,20 mg/l, 0,05 mg/l y 0,20 mg/l respectivamente. Medidos a partir de 2020.

## **4.2. Principales resultados.**

Se presentan a continuación los principales resultados habidos en las distintas evaluaciones anuales – con objeto de dar la tendencia temporal de los parámetros mediante la media móvil 1997-2018, así como una descripción más pormenorizada de los resultados habidos en el último año, con la salvedad de hacer constar que debido a la dinámica de obtención de datos de laboratorio y al proceso de chequeo y remisión de los mismos al ICP-Forests, se dispone de los mismos con una demora de un año con respecto a la anualidad nominal.

También debe hacerse constar que en 2014 el periodo anual considerado es mayo-diciembre.

### **4.2.1. pH.**

**TABLA 3:** pH. Valores medios ponderados por volumen por parcela (en rojo valores inferiores al umbral de lluvia ácida); porcentaje de precipitaciones con valor inferior al umbral de lluvia ácida; precipitación en mm en cada parcela para la serie histórica 1997-2021 y el último año 2022

Año	PERIODO 1997-2021							
	Trascolación (Tr)			Precipitación incidente (Pi)			Media Red	
	Media pond	Lluvia ácida (%)	Precipit. (mm)	Media pond	Lluvia ácida (%)	Precipit. (mm)	Trasc	P.inc
005Ps	5,75	32,12	880	5,97	15,39	1074	6,07	6,10
006Qi	6,47	3,46	507	6,43	8,76	627	6,07	6,10
007Qi	6,04	7,75	392	6,07	10,61	594	6,07	6,10

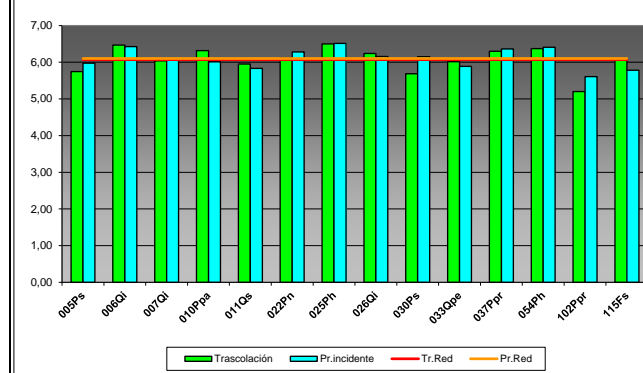
### PERIODO 1997-2021

Año	Trascolación (Tr)			Precipitación incidente (Pi)			Media Red	
	Media pond	Lluvia ácida (%)	Precipit. (mm)	Media pond	Lluvia ácida (%)	Precipit. (mm)	Trasc	P.inc
<b>010Ppa</b>	6,32	2,22	331	6,01	20,21	529	6,07	6,10
<b>011Qs</b>	5,95	18,67	652	5,83	29,43	735	6,07	6,10
<b>022Pn</b>	6,12	13,35	458	6,28	7,90	523	6,07	6,10
<b>025Ph</b>	6,50	1,81	294	6,51	<b>2,38</b>	359	6,07	6,10
<b>026Qi</b>	6,24	4,77	588	6,16	5,84	623	6,07	6,10
<b>030Ps</b>	5,68	42,31	546	6,15	11,16	755	6,07	6,10
<b>033Qpe</b>	6,02	13,90	880	5,89	22,91	1180	6,07	6,10
<b>037Ppr</b>	6,30	<b>1,62</b>	306	6,36	3,16	419	6,07	6,10
<b>054Ph</b>	6,37	3,18	332	6,41	3,83	461	6,07	6,10
<b>102Ppr</b>	<b>5,20</b>	<b>74,28</b>	1787	<b>5,61</b>	<b>59,93</b>	2227	6,07	6,10
<b>115Fs</b>	6,09	13,90	1677	5,78	27,62	1881	6,07	6,10

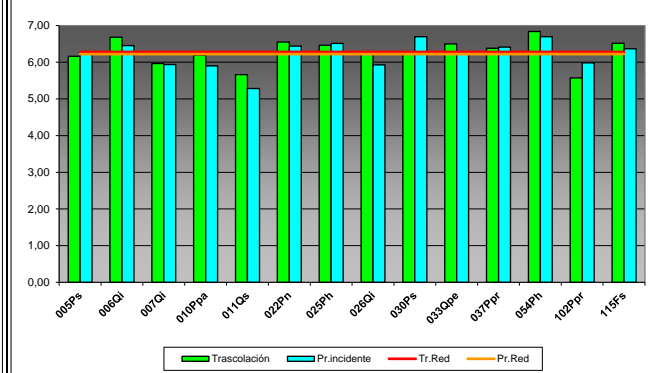
### PERIODO 2022

Año	Trascolación (Tr)			Precipitación incidente (Pi)			Media Red	
	Media pond	Lluvia ácida (%)	Precipit. (mm)	Media pond	Lluvia ácida (%)	Precipit. (mm)	Trasc	P.inc
<b>005Ps</b>	6,16	<b>0,00</b>	1143	6,24	9,09	1331	6,28	6,22
<b>006Qi</b>	6,68	<b>0,00</b>	709	6,45	<b>0,00</b>	956	6,28	6,22
<b>007Qi</b>	5,97	<b>0,00</b>	470	5,94	<b>0,00</b>	633	6,28	6,22
<b>010Ppa</b>	6,19	<b>0,00</b>	377	5,90	<b>0,00</b>	540	6,28	6,22
<b>011Qs</b>	5,66	<b>0,00</b>	732	<b>5,28</b>	12,50	806	6,28	6,22
<b>022Pn</b>	6,55	<b>0,00</b>	595	6,44	8,33	601	6,28	6,22
<b>025Ph</b>	6,46	<b>0,00</b>	302	6,51	<b>0,00</b>	431	6,28	6,22
<b>026Qi</b>	6,26	<b>0,00</b>	495	5,93	<b>0,00</b>	504	6,28	6,22
<b>030Ps</b>	6,23	16,67	439	6,69	<b>0,00</b>	658	6,28	6,22
<b>033Qpe</b>	6,50	9,09	779	6,22	18,18	1070	6,28	6,22
<b>037Ppr</b>	6,38	<b>0,00</b>	311	6,41	<b>0,00</b>	502	6,28	6,22
<b>054Ph</b>	6,84	<b>0,00</b>	485	6,70	<b>0,00</b>	720	6,28	6,22
<b>102Ppr</b>	<b>5,57</b>	<b>50,00</b>	1785	5,98	<b>25,00</b>	2287	6,28	6,22
<b>115Fs</b>	6,52	<b>0,00</b>	1337	6,37	<b>0,00</b>	1542	6,28	6,22

pH por parcelas - 1997-2021

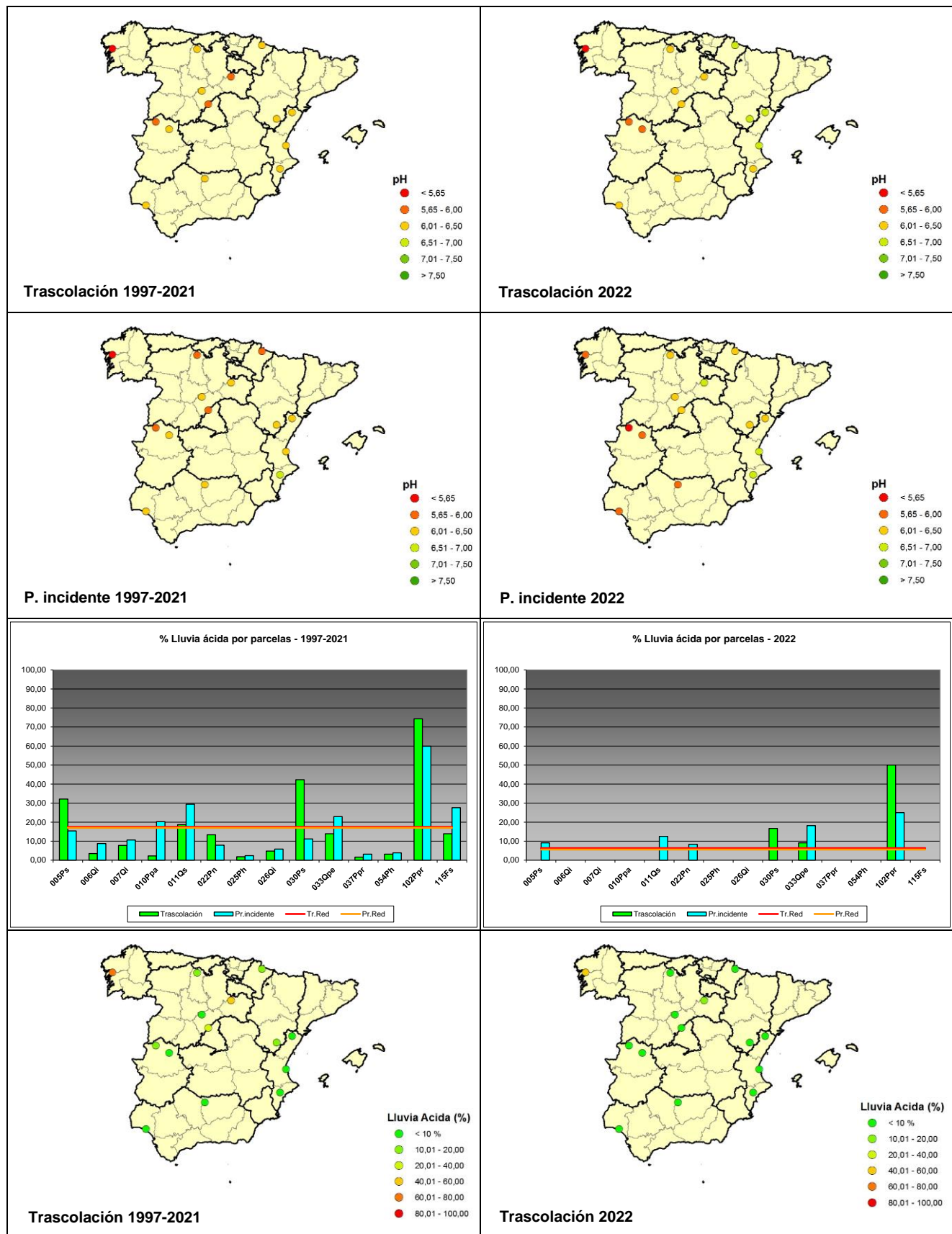


pH por parcelas - 2022



# MEMORIA

## RED EUROPEA DE SEGUIMIENTO INTENSIVO Y CONTINUO DE LOS ECOSISTEMAS FORESTALES – RED DE NIVEL II AÑO 2023



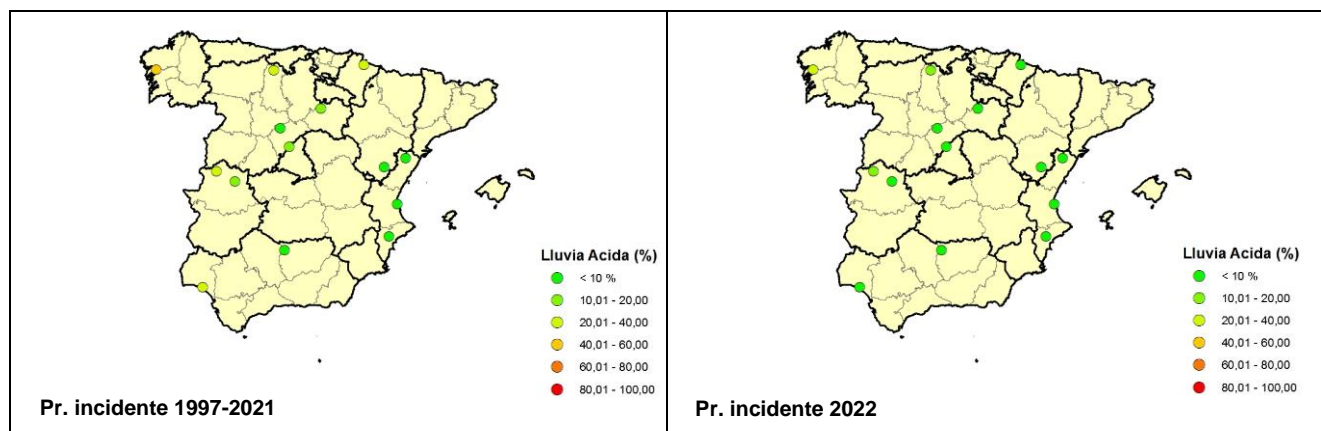


FIG 14: pH. Valores medios por parcela y porcentaje de precipitaciones por debajo del umbral de lluvia ácida serie histórica 1997-2021 y año 2022

### 4.2.2. Conductividad.

TABLA 4: Conductividad. Valores medios ponderados por volumen por parcela; precipitación en mm en cada parcela para la serie histórica 1997-2021 y el último año 2022

Año	PERIODO 1997-2021							
	Trascolación (Tr)			Precipitación incidente (Pi)			Media Red	
Año	Media pond	Deposición	Precipit. (mm)	Media pond	Deposición	Precipit. (mm)	Trasc	P.inc
005Ps	20,18		880	11,16		1074	46,84	22,21
006Qi	40,61		507	24,71		627	46,84	22,21
007Qi	24,73		392	14,17		594	46,84	22,21
010Ppa	68,51		331	34,43		529	46,84	22,21
011Qs	20,84		652	15,91		735	46,84	22,21
022Pn	36,14		458	23,79		523	46,84	22,21
025Ph	68,06		294	30,68		359	46,84	22,21
026Qi	28,56		588	17,94		623	46,84	22,21
030Ps	25,49		546	19,79		755	46,84	22,21
033Qpe	16,56		880	11,96		1180	46,84	22,21
037Ppr	40,37		306	22,17		419	46,84	22,21
054Ph	224,12		332	43,48		461	46,84	22,21
102Ppr	48,21		1787	25,63		2227	46,84	22,21
115Fs	22,14		1677	15,39		1881	46,84	22,21

Año	PERIODO 2022							
	Trascolación (Tr)			Precipitación incidente (Pi)			Media Red	
Año	Media pond	Deposición	Precipit. (mm)	Media pond	Deposición	Precipit. (mm)	Trasc	P.inc
005Ps	19,81		1143	11,55		1331	44,12	20,37
006Qi	40,89		709	23,02		956	44,12	20,37
010Ppa	24,44		470	12,35		633	44,12	20,37
007Qi	61,47		377	34,88		540	44,12	20,37
011Qs	16,49		732	11,19		806	44,12	20,37
022Pn	32,04		595	16,37		601	44,12	20,37
025Ph	56,60		302	31,51		431	44,12	20,37
026Qi	32,32		495	21,12		504	44,12	20,37
030Ps	37,52		439	21,02		658	44,12	20,37

Año	PERÍODO 2022			Precipitación incidente (Pi)			Media Red	
	Media pond	Deposición	Precipit. (mm)	Media pond	Deposición	Precipit. (mm)	Trasc	P.inc
<b>033Qpe</b>	<b>15,76</b>		779	<b>9,90</b>		1070	44,12	20,37
<b>037Ppr</b>	29,57		311	12,91		502	44,12	20,37
<b>054Ph</b>	<b>184,60</b>		485	<b>43,26</b>		720	44,12	20,37
<b>102Ppr</b>	39,41		1785	20,66		2287	44,12	20,37
<b>115Fs</b>	26,78		1337	15,44		1542	44,12	20,37

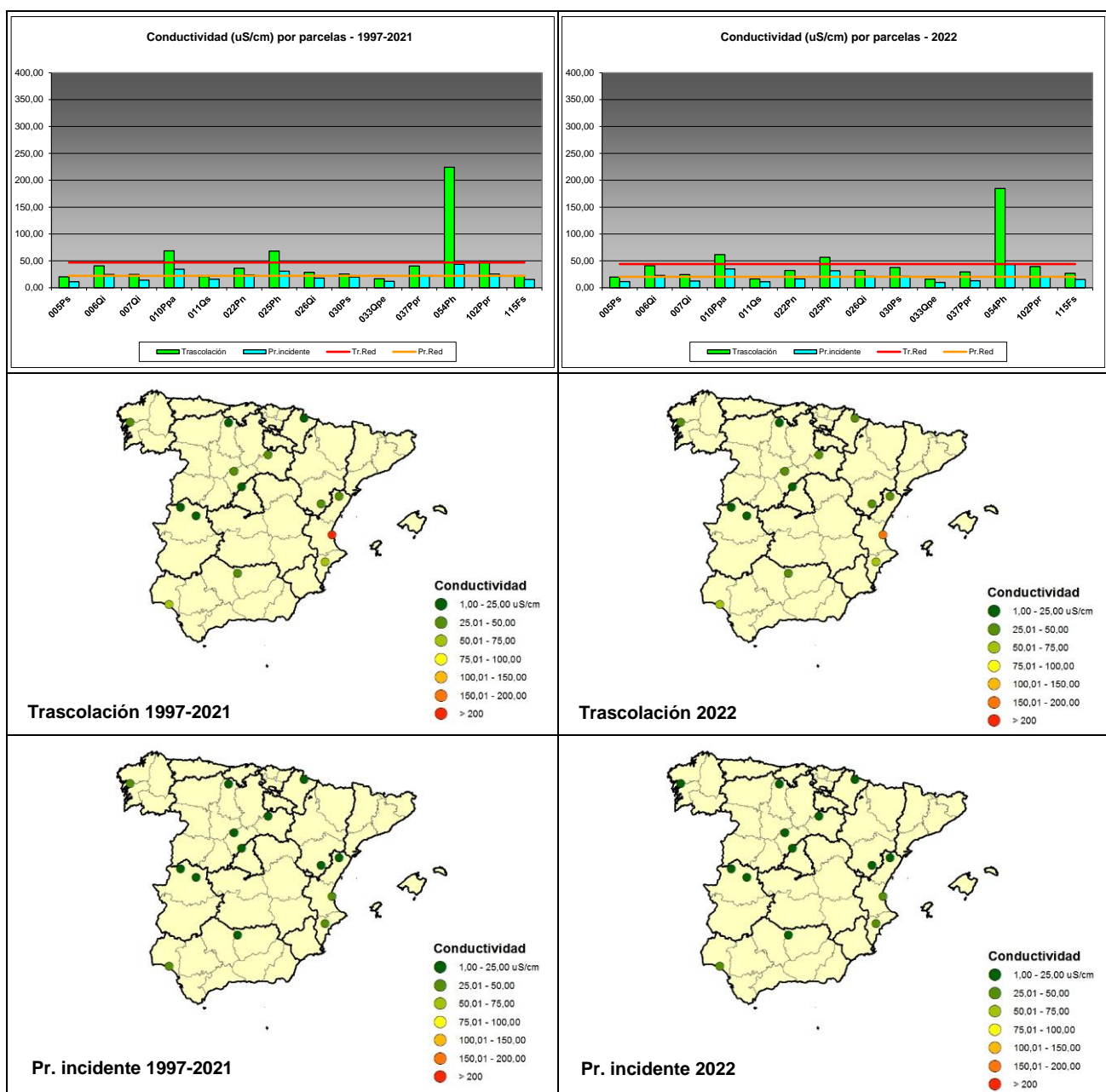


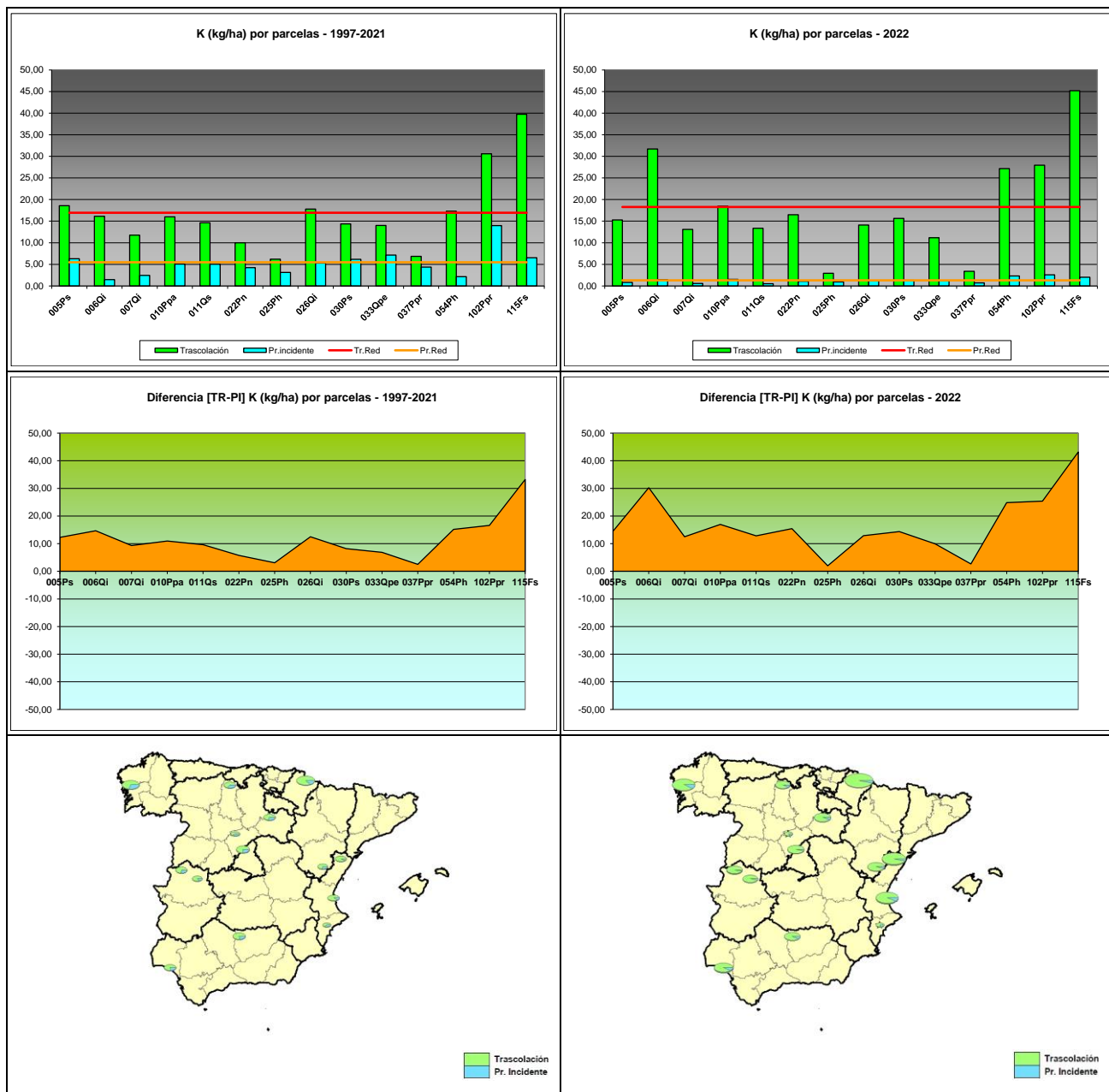
FIG 15: Conductividad. Valores medios por parcela serie histórica 1997-2021 y año 2022

4.2.3. *Potasio.*

**TABLA 5:** Caracterización Potasio. Media anual ponderada por volumen, deposición anual total, precipitación anual, diferencia trascolación-precipitación incidente y media de la Red. Serie histórica 1997-2021 y año 2022

Año	PERIODO 1997-2021						Difer. TR-PI (kg/ha)	Media Red	
	Trascolación (Tr)	Precipitación incidente (Pi)	Med.pd (mg/l)	Depos. (kg/ha)	Precipit. (mm)	Med.pd (mg/l)	Depos. (kg/ha)	Precipit. (mm)	Trasc (kg/ha)
005Ps	2,26	18,57	880	0,78	6,31	1074	12,27	16,95	5,47
006Qi	3,35	16,13	507	0,32	1,46	627	14,66	16,95	5,47
007Qi	3,04	11,74	392	0,56	2,43	594	9,31	16,95	5,47
010Ppa	5,05	15,98	331	1,05	5,04	529	10,94	16,95	5,47
011Qs	2,27	14,63	652	0,72	5,01	735	9,62	16,95	5,47
022Pn	2,31	9,98	458	0,94	4,24	523	5,74	16,95	5,47
025Ph	2,18	6,20	294	1,12	3,13	359	3,07	16,95	5,47
026Qi	3,18	17,77	588	1,23	5,29	623	12,48	16,95	5,47
030Ps	2,69	14,36	546	0,88	6,17	755	8,18	16,95	5,47
033Qpe	1,63	13,98	880	0,61	7,13	1180	6,85	16,95	5,47
037Ppr	2,27	6,86	306	1,31	4,36	419	2,50	16,95	5,47
054Ph	5,45	17,31	332	0,97	2,15	461	15,16	16,95	5,47
102Ppr	1,70	30,58	1787	0,69	13,98	2227	16,60	16,95	5,47
115Fs	2,27	39,73	1677	0,39	6,51	1881	33,22	16,95	5,47

Año	PERIODO 2022						Difer. TR-PI (kg/ha)	Media Red	
	Trascolación (Tr)	Precipitación incidente (Pi)	Med.pd (mg/l)	Depos. (kg/ha)	Precipit. (mm)	Med.pd (mg/l)	Depos. (kg/ha)	Precipit. (mm)	Trasc (kg/ha)
005Ps	1,34	15,28	1143	0,06	0,81	1331	14,47	18,27	1,30
006Qi	4,47	31,68	709	0,15	1,45	956	30,23	18,27	1,30
007Qi	2,78	13,08	470	0,09	0,59	633	12,49	18,27	1,30
010Ppa	4,90	18,48	377	0,28	1,53	540	16,95	18,27	1,30
011Qs	1,82	13,34	732	0,06	0,52	806	12,82	18,27	1,30
022Pn	2,77	16,49	595	0,18	1,07	601	15,42	18,27	1,30
025Ph	0,97	2,92	302	0,22	0,94	431	1,98	18,27	1,30
026Qi	2,85	14,10	495	0,24	1,22	504	12,88	18,27	1,30
030Ps	3,56	15,64	439	0,19	1,28	658	14,36	18,27	1,30
033Qpe	1,43	11,15	779	0,11	1,22	1070	9,93	18,27	1,30
037Ppr	1,09	3,38	311	0,14	0,72	502	2,66	18,27	1,30
054Ph	5,59	27,15	485	0,32	2,32	720	24,83	18,27	1,30
102Ppr	1,57	27,96	1785	0,11	2,58	2287	25,38	18,27	1,30
115Fs	3,38	45,17	1337	0,13	2,02	1542	43,15	18,27	1,30



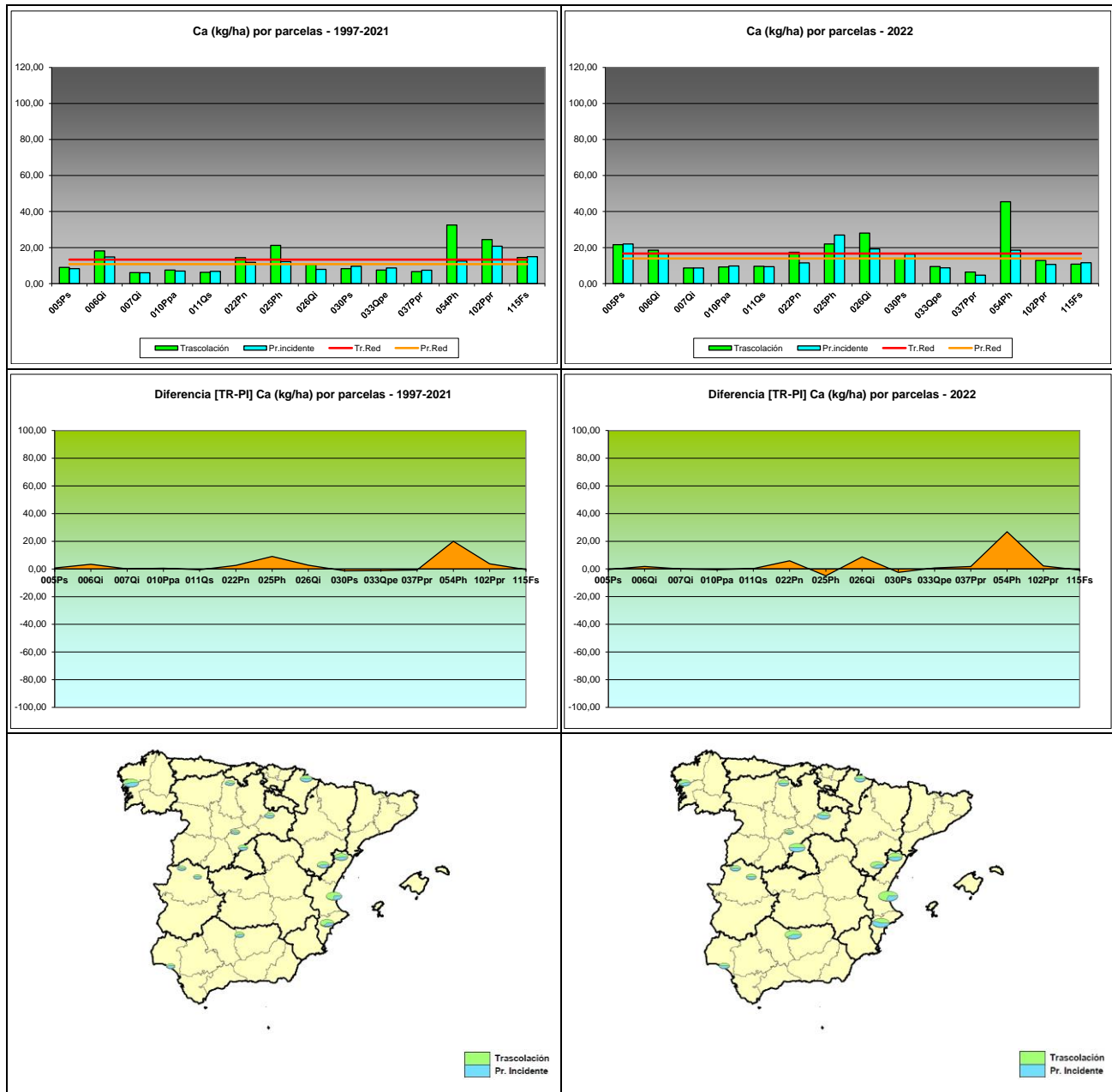
**FIG 16:** Deposición potasio (kg/ha). Valores medios por parcela y diferencia entre trascolación y precipitación a campo abierto serie histórica 1997-2021 y año 2022

4.2.4. *Calcio.*

TABLA 6: Caracterización Calcio. Media anual ponderada por volumen, deposición anual total, precipitación anual, diferencia trascolación-precipitación incidente y media de la Red. Serie histórica 1997-2021 y año 2022

Año	PERIODO 1997-2021						Difer. TR-PI (kg/ha)	Media Red	
	Trascolación (Tr)	Precipitación incidente (Pi)	Med.pd (mg/l)	Depos. (kg/ha)	Precipit. (mm)	Med.pd (mg/l)	Depos. (kg/ha)	Precipit. (mm)	Trasc (kg/ha)
005Ps	1,04	9,00	880	0,76	8,29	1074	0,71	13,32	10,77
006Qi	3,70	18,14	507	2,45	14,75	627	3,39	13,32	10,77
007Qi	1,57	6,10	392	1,07	6,04	594	0,06	13,32	10,77
010Ppa	2,59	7,53	331	1,50	6,97	529	0,56	13,32	10,77
011Qs	1,04	6,24	652	1,04	6,81	735	-0,57	13,32	10,77
022Pn	3,24	14,39	458	2,25	11,81	523	2,58	13,32	10,77
025Ph	7,30	21,22	294	3,35	12,17	359	9,05	13,32	10,77
026Qi	1,89	10,61	588	1,32	7,90	623	2,72	13,32	10,77
030Ps	1,55	8,28	546	1,32	9,64	755	-1,36	13,32	10,77
033Qpe	0,85	7,48	880	0,76	8,68	1180	-1,20	13,32	10,77
037Ppr	2,24	6,68	306	1,78	7,39	419	-0,71	13,32	10,77
054Ph	10,55	32,49	332	2,84	12,48	461	20,00	13,32	10,77
102Ppr	1,28	24,44	1787	0,93	20,72	2227	3,73	13,32	10,77
115Fs	0,88	14,49	1677	0,80	14,91	1881	-0,43	13,32	10,77

Año	PERIODO 2022						Difer. TR-PI (kg/ha)	Media Red	
	Trascolación (Tr)	Precipitación incidente (Pi)	Med.pd (mg/l)	Depos. (kg/ha)	Precipit. (mm)	Med.pd (mg/l)	Depos. (kg/ha)	Precipit. (mm)	Trasc (kg/ha)
005Ps	1,89	21,58	1143	1,65	22,02	1331	-0,44	16,71	13,93
006Qi	2,62	18,59	709	1,76	16,79	956	1,80	16,71	13,93
007Qi	1,84	8,64	470	1,37	8,67	633	-0,03	16,71	13,93
010Ppa	2,45	9,25	377	1,81	9,79	540	-0,54	16,71	13,93
011Qs	1,32	9,64	732	1,17	9,40	806	0,24	16,71	13,93
022Pn	2,92	17,40	595	1,92	11,53	601	5,87	16,71	13,93
025Ph	7,27	22,00	302	6,26	26,98	431	-4,98	16,71	13,93
026Qi	5,66	28,01	495	3,83	19,28	504	8,72	16,71	13,93
030Ps	3,16	13,86	439	2,48	16,34	658	-2,48	16,71	13,93
033Qpe	1,22	9,48	779	0,82	8,77	1070	0,71	16,71	13,93
037Ppr	2,07	6,43	311	0,93	4,66	502	1,77	16,71	13,93
054Ph	9,36	45,41	485	2,57	18,54	720	26,87	16,71	13,93
102Ppr	0,72	12,83	1785	0,47	10,65	2287	2,18	16,71	13,93
115Fs	0,81	10,79	1337	0,75	11,61	1542	-0,82	16,71	13,93



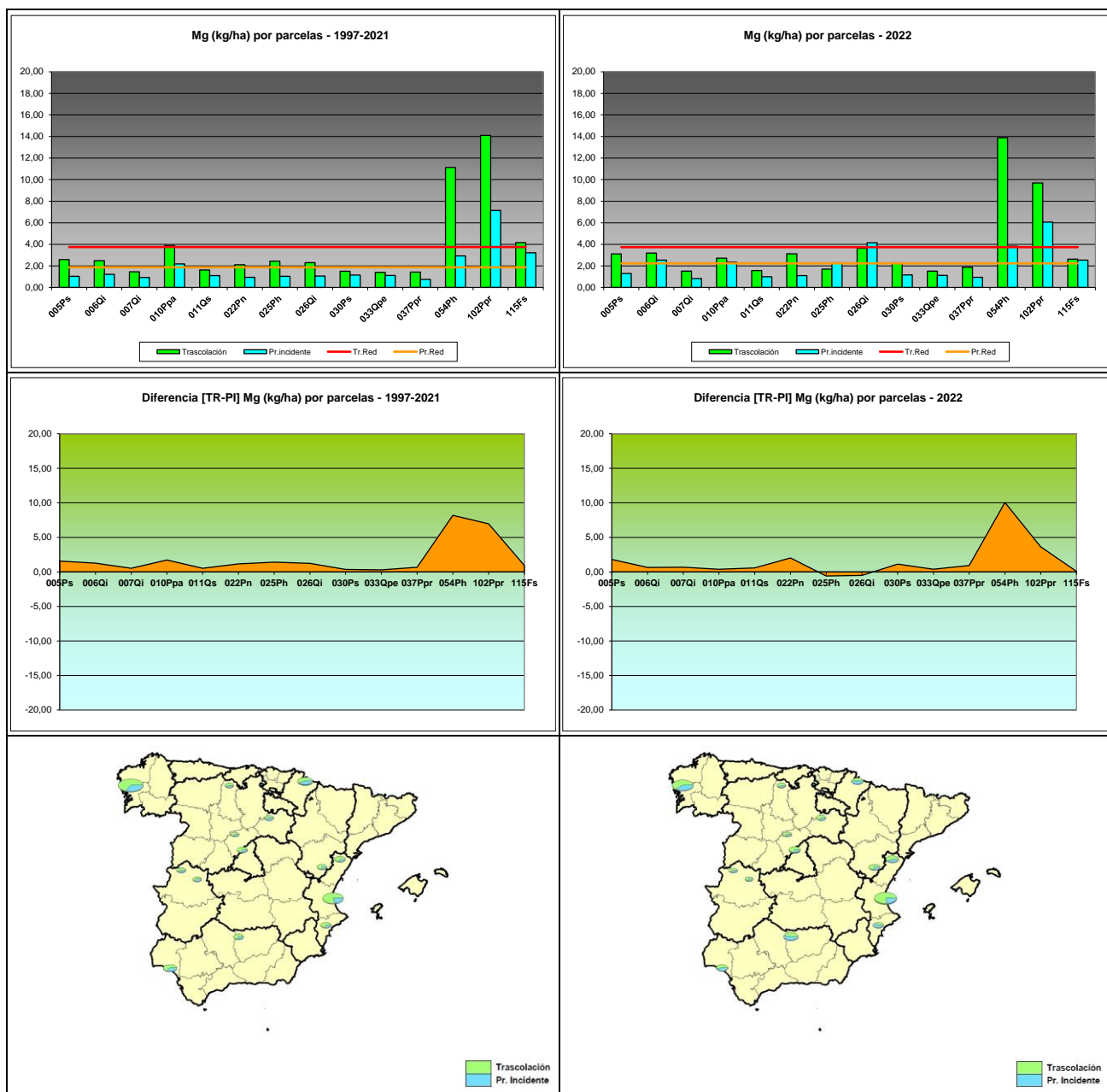
**FIG 17:** Deposición calcio (kg/ha). Valores medios por parcela y diferencia entre trascolación y precipitación a campo abierto serie histórica 1997-2021 y año 2022

4.2.5. *Magnesio.*

TABLA 7: Caracterización Magnesio. Media anual ponderada por volumen, deposición anual total, precipitación anual, diferencia trascolación-precipitación incidente y media de la Red. Serie histórica 1997-2021 y año 2022

Año	Trascolación (Tr)			Precipitación incidente (Pi)			Difer. TR-PI (kg/ha)	Media Red	
	Med.pd (mg/l)	Depos. (kg/ha)	Precipit. (mm)	Med.pd (mg/l)	Depos. (kg/ha)	Precipit. (mm)		Trasc (kg/ha)	P.inc (kg/ha)
005Ps	0,31	2,59	880	0,10	1,03	1074	1,57	3,75	1,87
006Qi	0,51	2,48	507	0,20	1,21	627	1,27	3,75	1,87
007Qi	0,38	1,45	392	0,17	0,93	594	0,52	3,75	1,87
010Ppa	1,35	3,90	331	0,50	2,18	529	1,72	3,75	1,87
011Qs	0,28	1,62	652	0,19	1,10	735	0,52	3,75	1,87
022Pn	0,50	2,10	458	0,19	0,94	523	1,16	3,75	1,87
025Ph	0,89	2,45	294	0,32	1,04	359	1,41	3,75	1,87
026Qi	0,45	2,30	588	0,17	1,06	623	1,24	3,75	1,87
030Ps	0,31	1,50	546	0,17	1,15	755	0,36	3,75	1,87
033Qpe	0,17	1,40	880	0,11	1,11	1180	0,29	3,75	1,87
037Ppr	0,51	1,42	306	0,20	0,75	419	0,67	3,75	1,87
054Ph	3,69	11,12	332	0,66	2,93	461	8,19	3,75	1,87
102Ppr	0,79	14,11	1787	0,33	7,14	2227	6,97	3,75	1,87
115Fs	0,27	4,15	1677	0,18	3,21	1881	0,94	3,75	1,87

Año	Trascolación (Tr)			Precipitación incidente (Pi)			Difer. TR-PI (kg/ha)	Media Red	
	Med.pd (mg/l)	Depos. (kg/ha)	Precipit. (mm)	Med.pd (mg/l)	Depos. (kg/ha)	Precipit. (mm)		Trasc (kg/ha)	P.inc (kg/ha)
005Ps	0,27	3,11	1143	0,10	1,30	1331	1,81	3,74	2,23
006Qi	0,45	3,18	709	0,27	2,53	956	0,65	3,74	2,23
007Qi	0,32	1,51	470	0,13	0,83	633	0,68	3,74	2,23
010Ppa	0,72	2,72	377	0,43	2,34	540	0,38	3,74	2,23
011Qs	0,21	1,57	732	0,12	0,99	806	0,58	3,74	2,23
022Pn	0,52	3,12	595	0,18	1,10	601	2,02	3,74	2,23
025Ph	0,56	1,70	302	0,53	2,29	431	-0,59	3,74	2,23
026Qi	0,73	3,63	495	0,82	4,13	504	-0,51	3,74	2,23
030Ps	0,52	2,29	439	0,18	1,17	658	1,13	3,74	2,23
033Qpe	0,19	1,52	779	0,11	1,13	1070	0,39	3,74	2,23
037Ppr	0,60	1,86	311	0,19	0,94	502	0,93	3,74	2,23
054Ph	2,86	13,88	485	0,53	3,82	720	10,05	3,74	2,23
102Ppr	0,54	9,70	1785	0,26	6,05	2287	3,64	3,74	2,23
115Fs	0,20	2,62	1337	0,16	2,54	1542	0,09	3,74	2,23



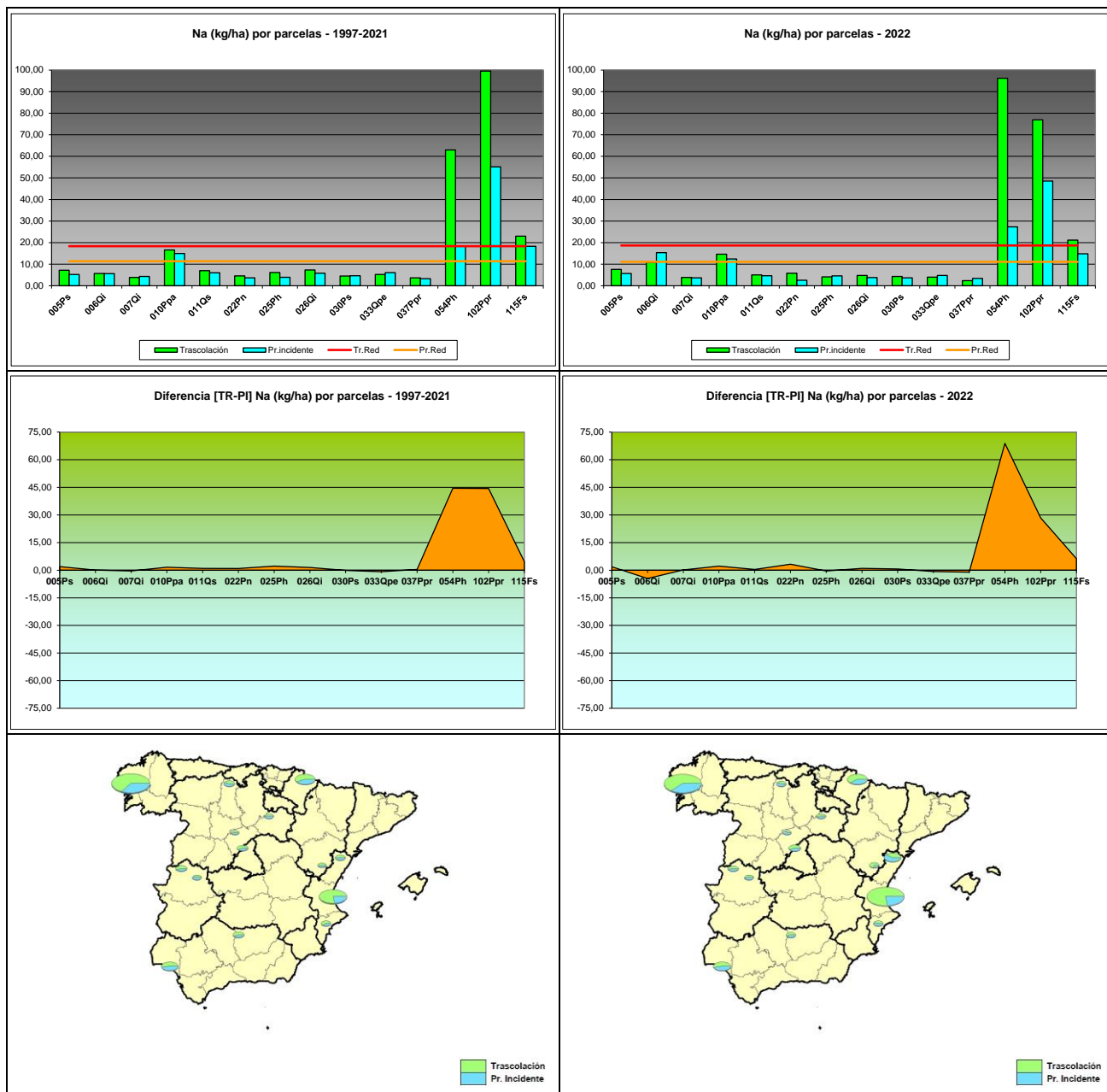
**FIG 18:** Deposición magnesio (kg/ha). Valores medios por parcela y diferencia entre trascolación y precipitación a campo abierto serie histórica 1997-2021 y año 2022

## 4.2.6. Sodio.

TABLA 8: Caracterización Sodio. Media anual ponderada por volumen, deposición anual total, precipitación anual, diferencia trascalación-precipitación incidente y media de la Red. Serie histórica 1997-2021 y año 2022.

Año	Trascalación (Tr)			Precipitación incidente (Pi)			Difer. TR-PI (kg/ha)	Media Red	
	Med.pd (mg/l)	Depos. (kg/ha)	Precipit. (mm)	Med.pd (mg/l)	Depos. (kg/ha)	Precipit. (mm)		Trasc (kg/ha)	P.inc (kg/ha)
005Ps	0,81	7,18	880	0,48	5,23	1074	1,94	18,37	11,35
006Qi	1,16	5,66	507	0,92	5,61	627	0,05	18,37	11,35
007Qi	1,00	3,87	392	0,74	4,29	594	-0,42	18,37	11,35
010Ppa	5,08	16,57	331	2,83	14,95	529	1,62	18,37	11,35
011Qs	1,06	6,99	652	0,82	6,02	735	0,97	18,37	11,35
022Pn	1,04	4,56	458	0,71	3,64	523	0,92	18,37	11,35
025Ph	2,11	6,15	294	1,10	3,91	359	2,23	18,37	11,35
026Qi	1,20	7,29	588	0,92	5,80	623	1,48	18,37	11,35
030Ps	0,82	4,52	546	0,60	4,64	755	-0,12	18,37	11,35
033Qpe	0,59	5,24	880	0,52	6,08	1180	-0,84	18,37	11,35
037Ppr	1,21	3,66	306	0,78	3,24	419	0,42	18,37	11,35
054Ph	20,72	62,94	332	4,05	18,42	461	44,52	18,37	11,35
102Ppr	5,41	99,51	1787	2,44	55,14	2227	44,37	18,37	11,35
115Fs	1,34	23,00	1677	0,96	18,32	1881	4,68	18,37	11,35

Año	Trascalación (Tr)			Precipitación incidente (Pi)			Difer. TR-PI (kg/ha)	Media Red	
	Med.pd (mg/l)	Depos. (kg/ha)	Precipit. (mm)	Med.pd (mg/l)	Depos. (kg/ha)	Precipit. (mm)		Trasc (kg/ha)	P.inc (kg/ha)
005Ps	0,66	7,59	1143	0,43	5,71	1331	1,88	18,67	11,08
006Qi	1,53	10,81	709	1,61	15,35	956	-4,54	18,67	11,08
007Qi	0,81	3,83	470	0,58	3,69	633	0,14	18,67	11,08
010Ppa	3,87	14,60	377	2,29	12,38	540	2,22	18,67	11,08
011Qs	0,68	5,01	732	0,57	4,61	806	0,40	18,67	11,08
022Pn	0,97	5,79	595	0,42	2,54	601	3,26	18,67	11,08
025Ph	1,37	4,14	302	1,06	4,58	431	-0,44	18,67	11,08
026Qi	0,96	4,77	495	0,75	3,77	504	1,00	18,67	11,08
030Ps	0,98	4,29	439	0,55	3,63	658	0,66	18,67	11,08
033Qpe	0,52	4,01	779	0,44	4,74	1070	-0,73	18,67	11,08
037Ppr	0,76	2,36	311	0,68	3,43	502	-1,07	18,67	11,08
054Ph	19,81	96,18	485	3,79	27,32	720	68,87	18,67	11,08
102Ppr	4,31	76,93	1785	2,12	48,50	2287	28,43	18,67	11,08
115Fs	1,58	21,13	1337	0,96	14,85	1542	6,29	18,67	11,08



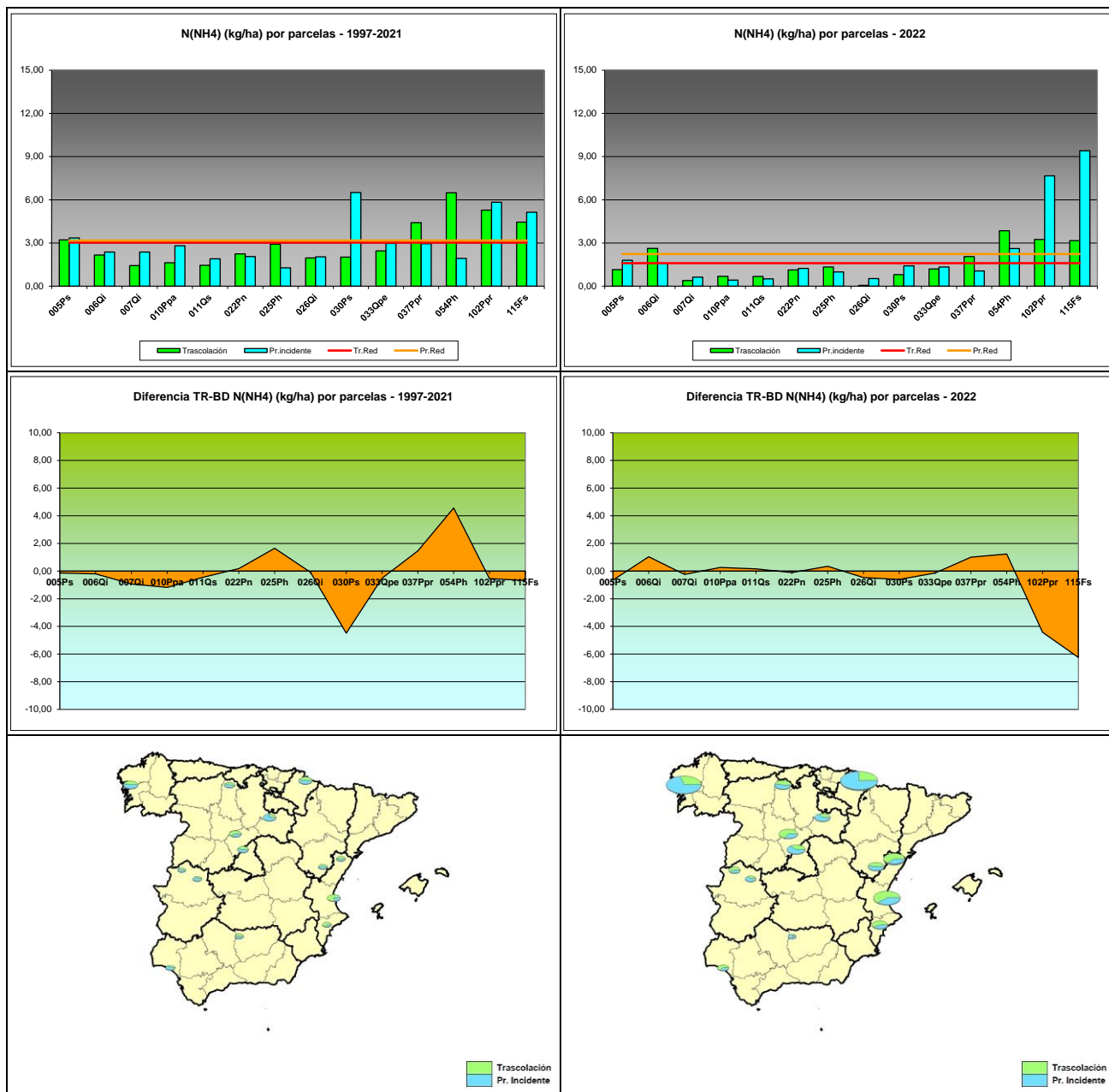
**FIG 19:** Deposición sodio (kg/ha). Valores medios por parcela y diferencia entre trascolación y precipitación a campo abierto serie histórica 1997-2021 y año 2022

4.2.7. Amonio (*nitrógeno en forma de*).

TABLA 9: Caracterización Amonio. Media anual ponderada por volumen, deposición anual total, precipitación anual, diferencia trascolación-precipitación incidente y media de la Red. Serie histórica 1997-2021 y año 2022. N(NH4) ~ 0,777 NH4

Año	PERIODO 1997-2021						Difer. TR-PI (kg/ha)	Media Red	
	Trascolación (Tr)	Precipitación incidente (Pi)	Med.pd (mg/l)	Depos. (kg/ha)	Precipit. (mm)	Med.pd (mg/l)	Depos. (kg/ha)	Precipit. (mm)	Trasc (kg/ha)
005Ps	0,41	3,21	880	0,33	3,35	1074	-0,14	3,03	3,17
006Qi	0,45	2,16	507	0,39	2,37	627	-0,20	3,03	3,17
007Qi	0,37	1,43	392	0,46	2,37	594	-0,93	3,03	3,17
010Ppa	0,57	1,62	331	0,62	2,80	529	-1,18	3,03	3,17
011Qs	0,25	1,45	652	0,28	1,90	735	-0,45	3,03	3,17
022Pn	0,52	2,24	458	0,41	2,06	523	0,18	3,03	3,17
025Ph	1,10	2,92	294	0,39	1,27	359	1,65	3,03	3,17
026Qi	0,36	1,96	588	0,35	2,04	623	-0,08	3,03	3,17
030Ps	0,41	2,02	546	0,95	6,51	755	-4,49	3,03	3,17
033Qpe	0,31	2,45	880	0,27	2,97	1180	-0,51	3,03	3,17
037Ppr	1,53	4,40	306	0,74	2,94	419	1,46	3,03	3,17
054Ph	2,13	6,49	332	0,44	1,93	461	4,56	3,03	3,17
102Ppr	0,31	5,28	1787	0,31	5,83	2227	-0,54	3,03	3,17
115Fs	0,27	4,45	1677	0,28	5,13	1881	-0,68	3,03	3,17

Año	PERIODO 2022						Difer. TR-PI (kg/ha)	Media Red	
	Trascolación (Tr)	Precipitación incidente (Pi)	Med.pd (mg/l)	Depos. (kg/ha)	Precipit. (mm)	Med.pd (mg/l)	Depos. (kg/ha)	Precipit. (mm)	Trasc (kg/ha)
005Ps	0,10	1,15	1143	0,14	1,81	1331	-0,66	1,60	2,23
006Qi	0,37	2,63	709	0,17	1,59	956	1,04	1,60	2,23
007Qi	0,08	0,39	470	0,10	0,63	633	-0,24	1,60	2,23
010Ppa	0,18	0,68	377	0,08	0,42	540	0,26	1,60	2,23
011Qs	0,09	0,67	732	0,06	0,51	806	0,16	1,60	2,23
022Pn	0,19	1,13	595	0,21	1,23	601	-0,11	1,60	2,23
025Ph	0,44	1,34	302	0,23	0,99	431	0,35	1,60	2,23
026Qi	0,01	0,06	495	0,10	0,53	504	-0,47	1,60	2,23
030Ps	0,18	0,81	439	0,21	1,41	658	-0,61	1,60	2,23
033Qpe	0,15	1,19	779	0,12	1,33	1070	-0,14	1,60	2,23
037Ppr	0,66	2,06	311	0,21	1,05	502	1,01	1,60	2,23
054Ph	0,79	3,85	485	0,36	2,62	720	1,23	1,60	2,23
102Ppr	0,18	3,24	1785	0,34	7,67	2287	-4,42	1,60	2,23
115Fs	0,24	3,16	1337	0,61	9,41	1542	-6,24	1,60	2,23



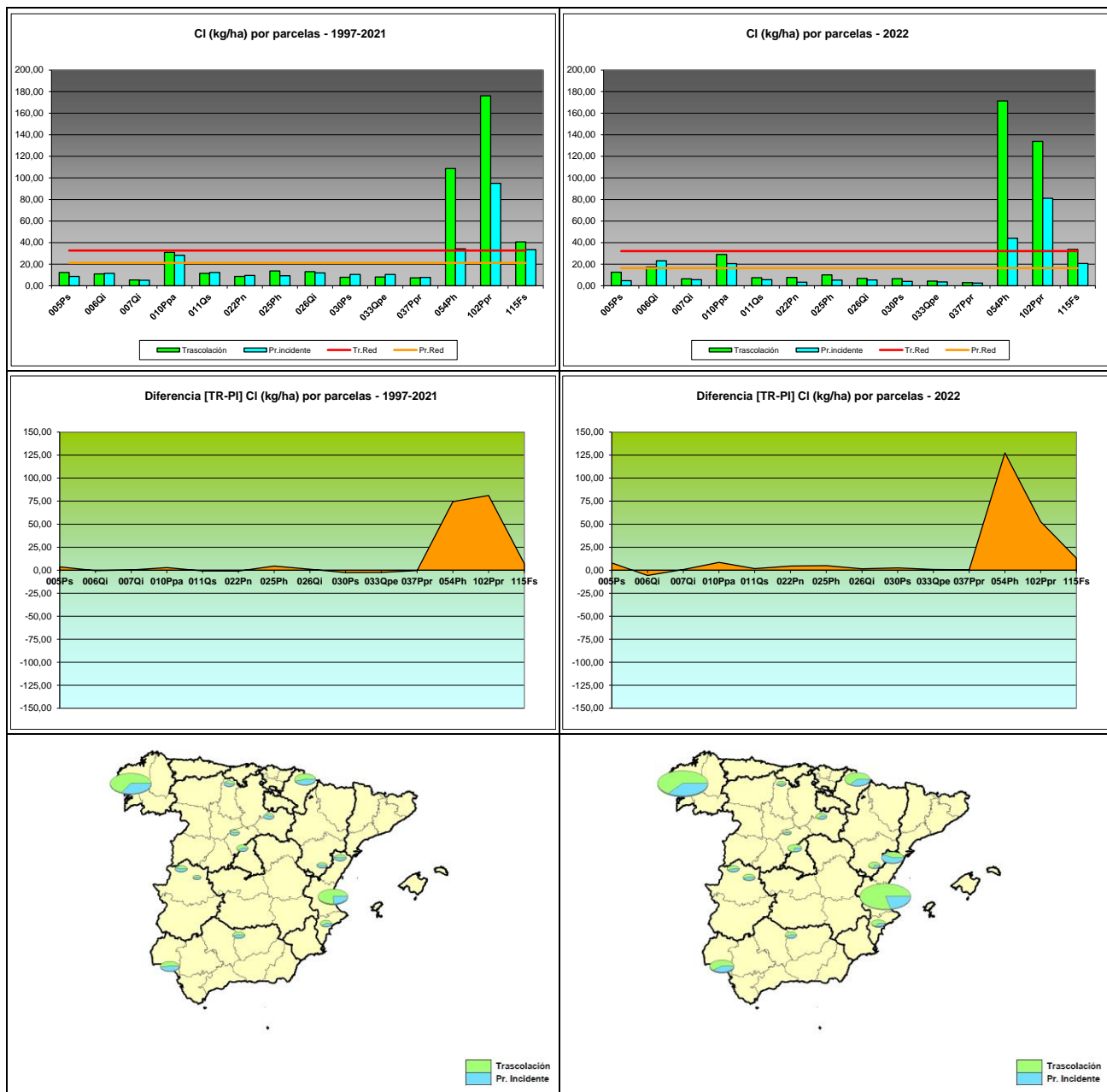
**FIG 20:** Deposición amonio (kg/ha). Valores medios por parcela y diferencia entre trascolación y precipitación a campo abierto serie histórica 1997-2021 y año 2022

## 4.2.8. Cloro.

TABLA 10: Caracterización Cloro. Media anual ponderada por volumen, deposición anual total, precipitación anual, diferencia trascalación-precipitación incidente y media de la Red. Serie histórica 1997-2021 y año 2022.

Año	PERIODO 1997-2021						Difer. TR-PI (kg/ha)	Media Red	
	Trascalación (Tr)	Precipitación incidente (Pi)	Med.pd (mg/l)	Depos. (kg/ha)	Precipit. (mm)	Med.pd (mg/l)	Depos. (kg/ha)	Precipit. (mm)	Trasc (kg/ha)
005Ps	1,38	12,23	880	0,80	8,60	1074	3,63	32,62	21,16
006Qi	2,29	10,94	507	1,87	11,45	627	-0,51	32,62	21,16
007Qi	1,35	5,32	392	0,83	5,06	594	0,26	32,62	21,16
010Ppa	9,59	31,00	331	5,37	28,17	529	2,83	32,62	21,16
011Qs	1,84	11,43	652	1,74	12,27	735	-0,84	32,62	21,16
022Pn	1,93	8,57	458	1,80	9,54	523	-0,97	32,62	21,16
025Ph	4,68	13,74	294	2,50	9,22	359	4,52	32,62	21,16
026Qi	2,31	13,00	588	1,94	11,94	623	1,06	32,62	21,16
030Ps	1,48	7,84	546	1,44	10,46	755	-2,62	32,62	21,16
033Qpe	0,92	8,04	880	0,91	10,43	1180	-2,38	32,62	21,16
037Ppr	2,35	7,31	306	1,82	7,75	419	-0,44	32,62	21,16
054Ph	35,53	108,64	332	7,64	34,22	461	74,43	32,62	21,16
102Ppr	9,54	176,03	1787	4,19	94,91	2227	81,12	32,62	21,16
115Fs	2,38	40,65	1677	1,78	33,49	1881	7,17	32,62	21,16

Año	PERIODO 2022						Difer. TR-PI (kg/ha)	Media Red	
	Trascalación (Tr)	Precipitación incidente (Pi)	Med.pd (mg/l)	Depos. (kg/ha)	Precipit. (mm)	Med.pd (mg/l)	Depos. (kg/ha)	Precipit. (mm)	Trasc (kg/ha)
005Ps	1,10	12,59	1143	0,36	4,73	1331	7,87	32,15	16,37
006Qi	2,45	17,37	709	2,41	23,08	956	-5,71	32,15	16,37
007Qi	1,35	6,34	470	0,89	5,64	633	0,69	32,15	16,37
010Ppa	7,69	29,01	377	3,80	20,52	540	8,49	32,15	16,37
011Qs	1,01	7,39	732	0,70	5,67	806	1,72	32,15	16,37
022Pn	1,30	7,73	595	0,53	3,21	601	4,52	32,15	16,37
025Ph	3,34	10,11	302	1,20	5,18	431	4,93	32,15	16,37
026Qi	1,38	6,83	495	1,05	5,29	504	1,54	32,15	16,37
030Ps	1,48	6,52	439	0,61	4,01	658	2,51	32,15	16,37
033Qpe	0,55	4,25	779	0,33	3,48	1070	0,77	32,15	16,37
037Ppr	0,94	2,93	311	0,50	2,52	502	0,41	32,15	16,37
054Ph	35,31	171,39	485	6,11	43,99	720	127,40	32,15	16,37
102Ppr	7,50	133,89	1785	3,55	81,17	2287	52,72	32,15	16,37
115Fs	2,52	33,74	1337	1,34	20,66	1542	13,08	32,15	16,37



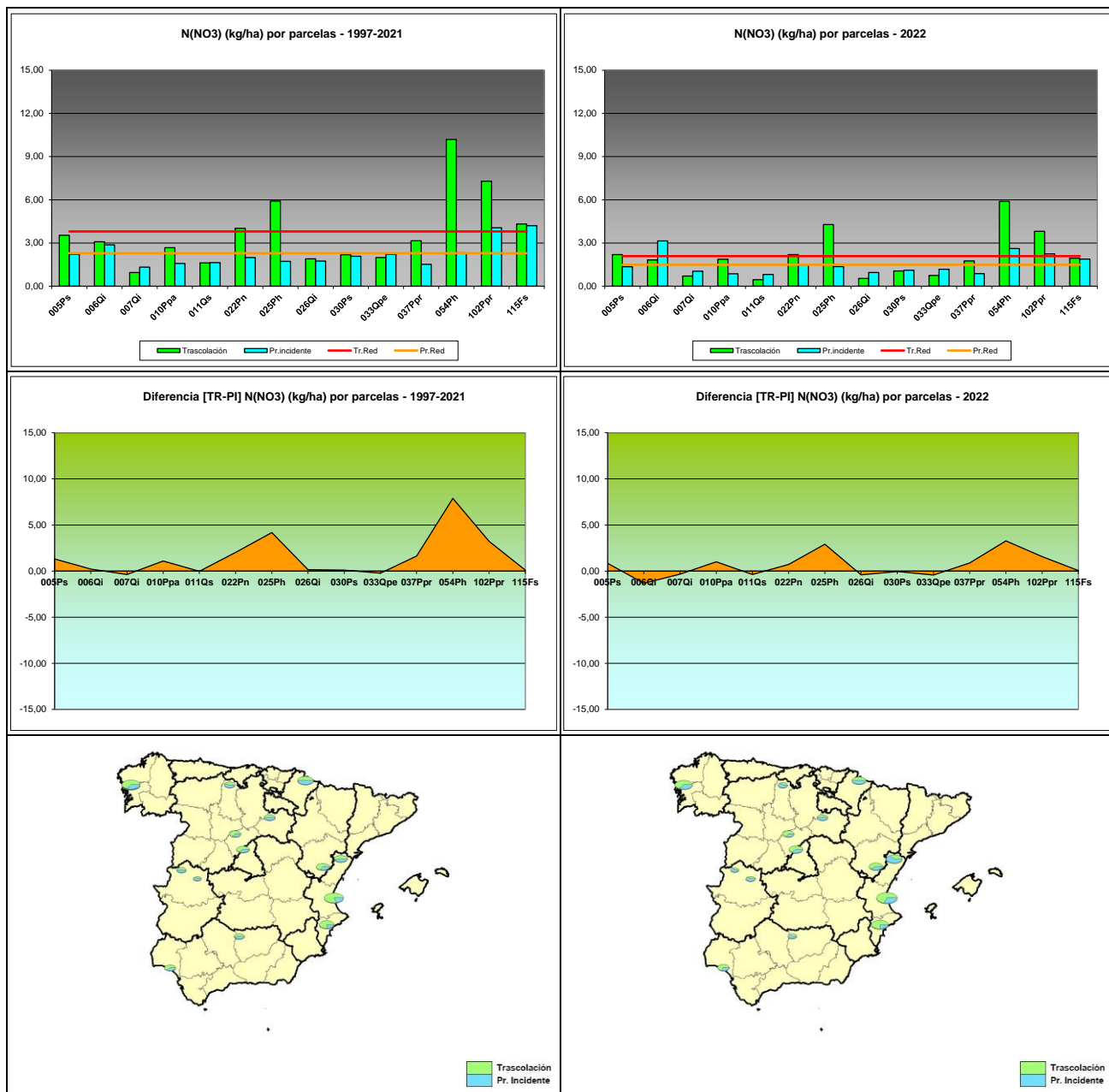
**FIG 21:** Deposición cloro (kg/ha). Valores medios por parcela y diferencia entre trascolación y precipitación a campo abierto serie histórica 1997-2021 y año 2022

4.2.9. *Nitratos (nitrógeno en forma de).*

**TABLA 11:** Caracterización Nitratos. Media anual ponderada por volumen, deposición anual total, precipitación anual, diferencia trascolación-precipitación incidente y media de la Red. Serie histórica 1997-2021 y año 2022. N(NO3) ~ 0,226 NO3

Año	Trascolación (Tr)			Precipitación incidente (Pi)			Difer. TR-PI (kg/ha)	Media Red	
	Med.pd (mg/l)	Depos. (kg/ha)	Precipit. (mm)	Med.pd (mg/l)	Depos. (kg/ha)	Precipit. (mm)		Trasc (kg/ha)	P.inc (kg/ha)
<b>005Ps</b>	0,45	3,54	880	0,21	2,22	1074	1,32	3,80	2,29
<b>006Qi</b>	0,69	3,09	507	0,49	2,87	627	0,22	3,80	2,29
<b>007Qi</b>	0,25	<b>0,95</b>	392	0,23	<b>1,32</b>	594	-0,37	3,80	2,29
<b>010Ppa</b>	0,94	2,67	331	0,33	1,58	529	1,09	3,80	2,29
<b>011Qs</b>	0,26	1,61	652	0,23	1,63	735	-0,02	3,80	2,29
<b>022Pn</b>	0,98	4,01	458	0,39	1,99	523	2,02	3,80	2,29
<b>025Ph</b>	2,16	5,91	294	0,49	1,73	359	4,18	3,80	2,29
<b>026Qi</b>	0,36	1,90	588	0,29	1,74	623	0,15	3,80	2,29
<b>030Ps</b>	0,43	2,18	546	0,28	2,08	755	0,11	3,80	2,29
<b>033Qpe</b>	<b>0,25</b>	1,99	880	0,20	2,22	1180	-0,23	3,80	2,29
<b>037Ppr</b>	1,14	3,15	306	0,39	1,52	419	1,63	3,80	2,29
<b>054Ph</b>	<b>3,53</b>	<b>10,19</b>	332	<b>0,51</b>	2,31	461	7,88	3,80	2,29
<b>102Ppr</b>	0,43	7,29	1787	<b>0,19</b>	4,06	2227	3,23	3,80	2,29
<b>115Fs</b>	0,27	4,32	1677	0,23	<b>4,21</b>	1881	0,11	3,80	2,29

Año	Trascolación (Tr)			Precipitación incidente (Pi)			Difer. TR-PI (kg/ha)	Media Red	
	Med.pd (mg/l)	Depos. (kg/ha)	Precipit. (mm)	Med.pd (mg/l)	Depos. (kg/ha)	Precipit. (mm)		Trasc (kg/ha)	P.inc (kg/ha)
<b>005Ps</b>	0,19	2,20	1143	0,10	1,35	1331	0,84	2,09	1,49
<b>006Qi</b>	0,26	1,82	709	0,33	<b>3,14</b>	956	-1,32	2,09	1,49
<b>007Qi</b>	0,15	0,71	470	0,16	1,04	633	-0,33	2,09	1,49
<b>010Ppa</b>	0,50	1,87	377	0,16	0,87	540	1,01	2,09	1,49
<b>011Qs</b>	<b>0,06</b>	<b>0,45</b>	732	0,10	<b>0,82</b>	806	-0,37	2,09	1,49
<b>022Pn</b>	0,37	2,20	595	0,25	1,47	601	0,72	2,09	1,49
<b>025Ph</b>	<b>1,41</b>	4,28	302	0,32	1,37	431	2,91	2,09	1,49
<b>026Qi</b>	0,11	0,54	495	0,19	0,95	504	-0,41	2,09	1,49
<b>030Ps</b>	0,24	1,06	439	0,17	1,11	658	-0,05	2,09	1,49
<b>033Qpe</b>	0,10	0,75	779	0,11	1,17	1070	-0,43	2,09	1,49
<b>037Ppr</b>	0,57	1,76	311	0,17	0,87	502	0,88	2,09	1,49
<b>054Ph</b>	1,21	<b>5,89</b>	485	<b>0,36</b>	2,61	720	3,27	2,09	1,49
<b>102Ppr</b>	0,21	3,81	1785	<b>0,10</b>	2,24	2287	1,57	2,09	1,49
<b>115Fs</b>	0,15	1,94	1337	0,12	1,88	1542	0,06	2,09	1,49



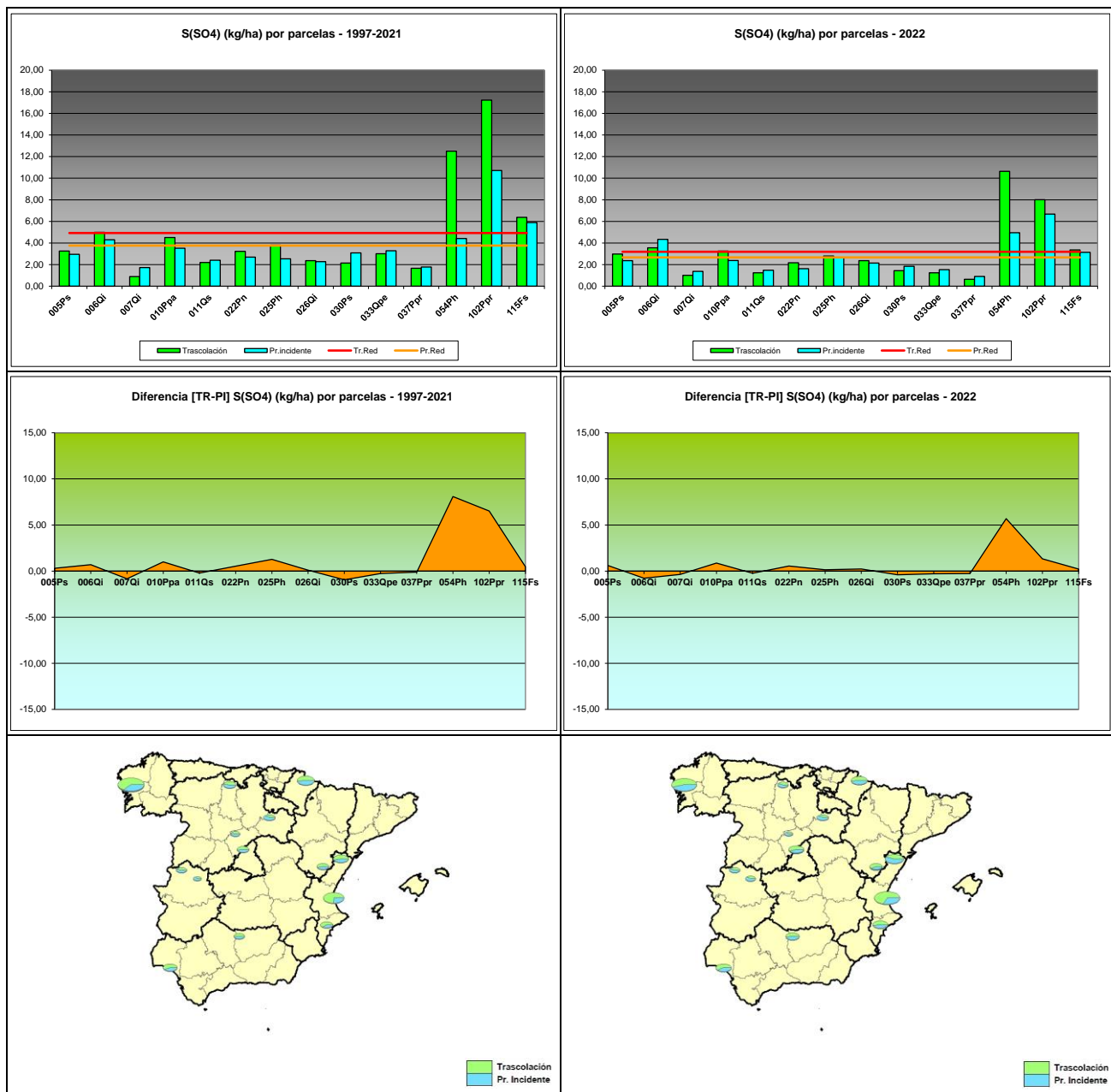
**FIG 22:** Deposición nitratos (kg/ha). Valores medios por parcela y diferencia entre trascolación y precipitación a campo abierto serie histórica 1997-2021 y año 2022

4.2.10. *Sulfatos (azufre en forma de).*

TABLA 12: Caracterización Sulfatos. Media anual ponderada por volumen, deposición anual total, precipitación anual, diferencia trascolación-precipitación incidente y media de la Red. Serie histórica 1997-2021 y año 2022. S(SO4) ~ 0,333 SO4

Año	Trascolación (Tr)			Precipitación incidente (Pi)			Difer. TR-PI (kg/ha)	Media Red	
	Med.pd (mg/l)	Depos. (kg/ha)	Precipit. (mm)	Med.pd (mg/l)	Depos. (kg/ha)	Precipit. (mm)		Trasc (kg/ha)	P.inc (kg/ha)
005Ps	0,38	3,25	880	0,28	2,95	1074	0,30	4,92	3,76
006Qi	1,04	4,99	507	0,72	4,29	627	0,70	4,92	3,76
007Qi	0,24	0,89	392	0,31	1,73	594	-0,84	4,92	3,76
010Ppa	1,51	4,51	331	0,72	3,51	529	1,00	4,92	3,76
011Qs	0,34	2,19	652	0,33	2,40	735	-0,22	4,92	3,76
022Pn	0,77	3,23	458	0,54	2,70	523	0,53	4,92	3,76
025Ph	1,32	3,80	294	0,70	2,53	359	1,27	4,92	3,76
026Qi	0,42	2,37	588	0,38	2,27	623	0,10	4,92	3,76
030Ps	0,40	2,14	546	0,42	3,09	755	-0,95	4,92	3,76
033Qpe	0,36	3,01	880	0,29	3,27	1180	-0,26	4,92	3,76
037Ppr	0,54	1,66	306	0,44	1,77	419	-0,11	4,92	3,76
054Ph	4,10	12,50	332	1,00	4,42	461	8,08	4,92	3,76
102Ppr	0,97	17,22	1787	0,49	10,71	2227	6,52	4,92	3,76
115Fs	0,39	6,38	1677	0,32	5,90	1881	0,48	4,92	3,76

Año	Trascolación (Tr)			Precipitación incidente (Pi)			Difer. TR-PI (kg/ha)	Media Red	
	Med.pd (mg/l)	Depos. (kg/ha)	Precipit. (mm)	Med.pd (mg/l)	Depos. (kg/ha)	Precipit. (mm)		Trasc (kg/ha)	P.inc (kg/ha)
005Ps	0,26	2,97	1143	0,18	2,36	1331	0,61	3,19	2,67
006Qi	0,50	3,55	709	0,45	4,33	956	-0,78	3,19	2,67
007Qi	0,21	1,01	470	0,22	1,37	633	-0,36	3,19	2,67
010Ppa	0,86	3,25	377	0,44	2,38	540	0,87	3,19	2,67
011Qs	0,17	1,24	732	0,18	1,48	806	-0,24	3,19	2,67
022Pn	0,36	2,17	595	0,27	1,62	601	0,55	3,19	2,67
025Ph	0,92	2,80	302	0,62	2,65	431	0,14	3,19	2,67
026Qi	0,48	2,37	495	0,42	2,14	504	0,23	3,19	2,67
030Ps	0,33	1,44	439	0,28	1,84	658	-0,40	3,19	2,67
033Qpe	0,16	1,24	779	0,14	1,53	1070	-0,29	3,19	2,67
037Ppr	0,21	0,64	311	0,18	0,90	502	-0,27	3,19	2,67
054Ph	2,19	10,63	485	0,69	4,95	720	5,69	3,19	2,67
102Ppr	0,45	8,01	1785	0,29	6,68	2287	1,33	3,19	2,67
115Fs	0,25	3,36	1337	0,20	3,14	1542	0,22	3,19	2,67



**FIG 23:** Deposición sulfatos (kg/ha). Valores medios por parcela y diferencia entre trascolación y precipitación a campo abierto serie histórica 1997-2021 y año 2022

## 4.2.11. Alcalinidad.

TABLA 13: Alcalinidad. Valores medios ponderados por volumen por parcela; precipitación en mm en cada parcela para la serie histórica 1997-2021 y el último año 2022

Año	PERIODO 1997-2021			Precipitación incidente (Pi)			Media Red	
	Media pond	Deposición	Precipit. (mm)	Media pond	Deposición	Precipit. (mm)	Trasc	P.inc
005Ps	62,80		880	47,54		1074	93,89	66,15
006Qi	117,82		507	71,69		627	93,89	66,15
007Qi	81,77		392	60,11		594	93,89	66,15
010Ppa	104,15		331	59,92		529	93,89	66,15
011Qs	61,65		652	45,60		735	93,89	66,15
022Pn	102,23		458	83,55		523	93,89	66,15
025Ph	171,02		294	135,28		359	93,89	66,15
026Qi	90,45		588	64,15		623	93,89	66,15
030Ps	90,39		546	62,68		755	93,89	66,15
033Qpe	61,14		880	42,43		1180	93,89	66,15
037Ppr	125,18		306	114,20		419	93,89	66,15
054Ph	173,61		332	71,26		461	93,89	66,15
102Ppr	32,05		1787	33,72		2227	93,89	66,15
115Fs	55,00		1677	31,90		1881	93,89	66,15

Año	PERIODO 2022			Precipitación incidente (Pi)			Media Red	
	Media pond	Deposición	Precipit. (mm)	Media pond	Deposición	Precipit. (mm)	Trasc	P.inc
005Ps	78,94		1143	60,24		1331	105,33	59,15
006Qi	148,23		709	45,06		956	105,33	59,15
010Ppa	79,98		470	40,02		633	105,33	59,15
007Qi	130,67		377	65,75		540	105,33	59,15
011Qs	60,49		732	30,66		806	105,33	59,15
022Pn	107,84		595	44,65		601	105,33	59,15
025Ph	194,37		302	144,49		431	105,33	59,15
026Qi	163,90		495	87,74		504	105,33	59,15
030Ps	99,08		439	73,86		658	105,33	59,15
033Qpe	54,67		779	34,95		1070	105,33	59,15
037Ppr	90,21		311	49,33		502	105,33	59,15
054Ph	170,94		485	77,08		720	105,33	59,15
102Ppr	17,69		1785	26,78		2287	105,33	59,15
115Fs	77,61		1337	47,56		1542	105,33	59,15

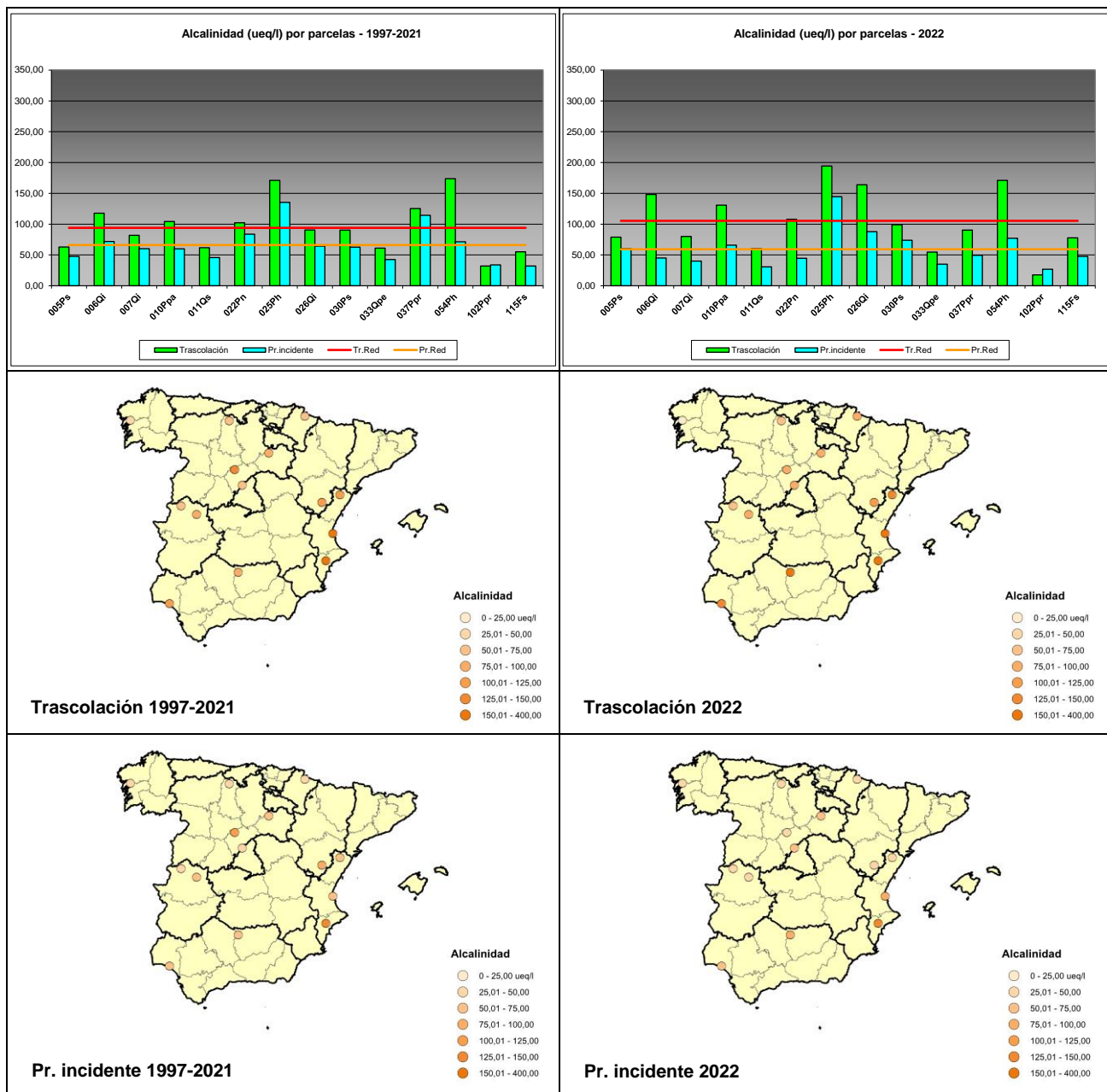


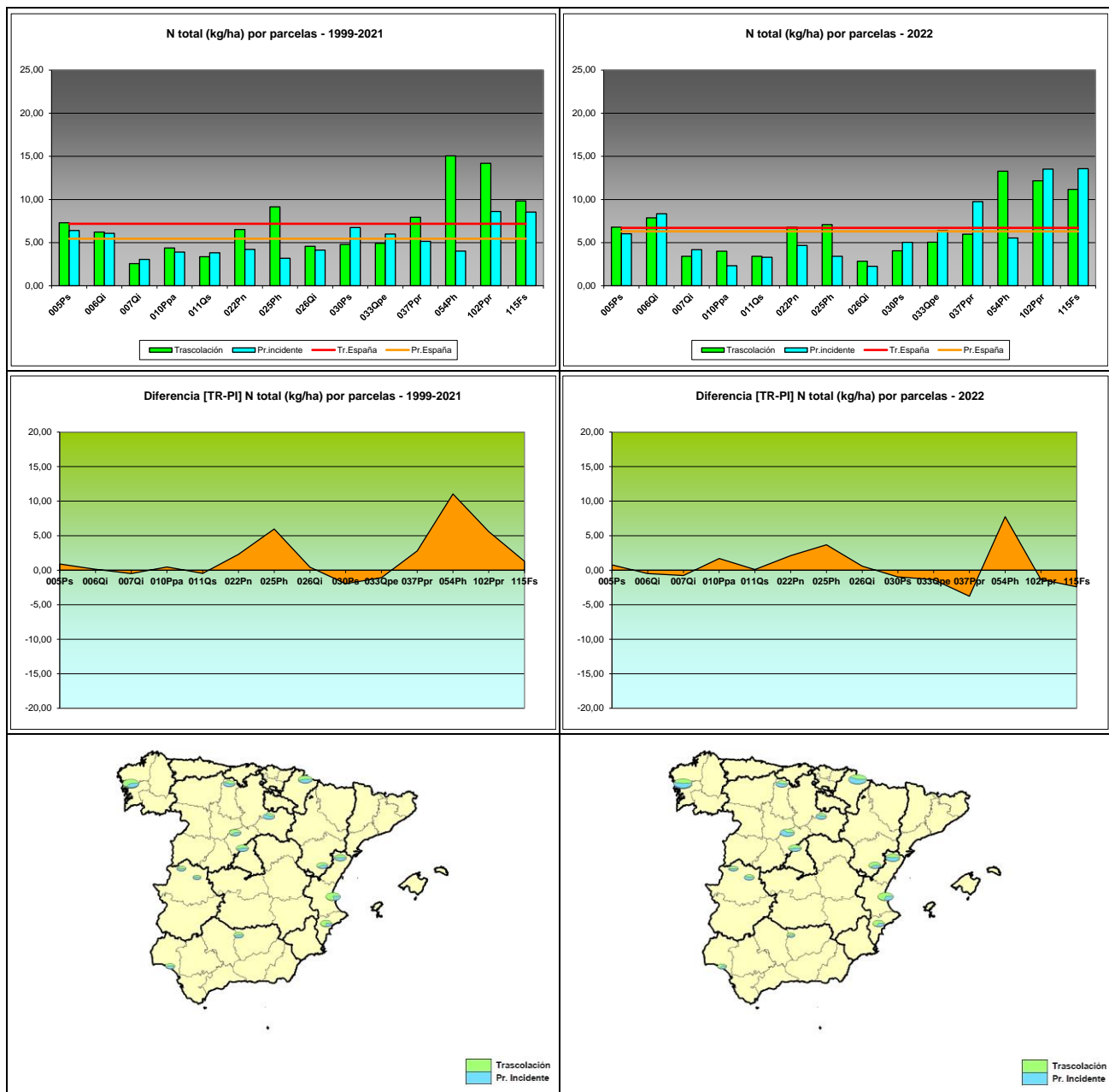
FIG 24: Alkalinity. Valores medios por parcela serie histórica 1997-2021 y año 2022

## 4.2.12. Nitrógeno total.

**TABLA 14:** Caracterización Nitrógeno total. Media anual ponderada por volumen, deposición anual total, precipitación anual, diferencia trascolación-precipitación incidente y media de la Red. Serie histórica 1999-2021 y año 2022. (El nitrógeno total no se midió en el periodo 2008-2019)

Año	PERIODO 1999-2021						Difer. TR-PI (kg/ha)	Media Red	
	Trascolación (Tr)	Precipitación incidente (Pi)	Med.pd (mg/l)	Depos. (kg/ha)	Precipit. (mm)	Med.pd (mg/l)	Depos. (kg/ha)	Precipit. (mm)	Trasc (kg/ha)
005Ps	0,79	7,09	864	0,55	6,39	1064	0,70	6,99	5,42
006Qi	1,14	6,04	507	0,89	6,09	631	-0,06	6,99	5,42
007Qi	0,64	2,76	394	0,41	3,08	585	-0,32	6,99	5,42
010Ppa	1,47	4,32	335	0,73	3,99	537	0,33	6,99	5,42
011Qs	0,48	3,37	661	0,47	3,84	743	-0,48	6,99	5,42
022Pn	1,56	6,52	454	0,82	4,17	518	2,35	6,99	5,42
025Ph	3,45	9,54	296	0,92	3,19	359	6,34	6,99	5,42
026Qi	0,74	4,15	581	0,61	4,08	618	0,06	6,99	5,42
030Ps	0,85	4,76	545	0,82	6,86	750	-2,11	6,99	5,42
033Qpe	0,50	4,83	886	0,47	6,10	1191	-1,27	6,99	5,42
037Ppr	2,38	7,95	307	1,25	5,23	417	2,72	6,99	5,42
054Ph	5,46	16,02	334	0,74	3,66	457	12,36	6,99	5,42
102Ppr	0,67	13,19	1780	0,32	7,80	2220	5,39	6,99	5,42
115Fs	0,52	8,35	1673	0,46	8,52	1879	-0,17	6,99	5,42

Año	PERIODO 2022						Difer. TR-PI (kg/ha)	Media Red	
	Trascolación (Tr)	Precipitación incidente (Pi)	Med.pd (mg/l)	Depos. (kg/ha)	Precipit. (mm)	Med.pd (mg/l)	Depos. (kg/ha)	Precipit. (mm)	Trasc (kg/ha)
005Ps	0,59	6,80	1143,2	0,45	6,03	1330,7	0,77	6,71	6,31
006Qi	1,11	7,86	708,6	0,87	8,35	956,1	-0,49	6,71	6,31
007Qi	0,72	3,41	469,9	0,66	4,18	633,1	-0,77	6,71	6,31
010Ppa	1,06	4,01	377,3	0,43	2,31	540,3	1,69	6,71	6,31
011Qs	0,47	3,41	732	0,41	3,31	805,6	0,10	6,71	6,31
022Pn	1,14	6,78	594,9	0,78	4,67	601	2,11	6,71	6,31
025Ph	2,34	7,09	302,4	0,79	3,41	430,7	3,68	6,71	6,31
026Qi	0,58	2,84	494,7	0,45	2,26	504,1	0,59	6,71	6,31
030Ps	0,92	4,05	438,9	0,76	5,03	657,8	-0,98	6,71	6,31
033Qpe	0,65	5,05	778,7	0,60	6,41	1070,3	-1,36	6,71	6,31
037Ppr	1,92	5,97	310,7	1,94	9,75	501,7	-3,77	6,71	6,31
054Ph	2,74	13,28	485,4	0,77	5,53	720,4	7,75	6,71	6,31
102Ppr	0,68	12,17	1784,8	0,59	13,52	2287,1	-1,35	6,71	6,31
115Fs	0,84	11,17	1337,2	0,88	13,57	1542,1	-2,40	6,71	6,31



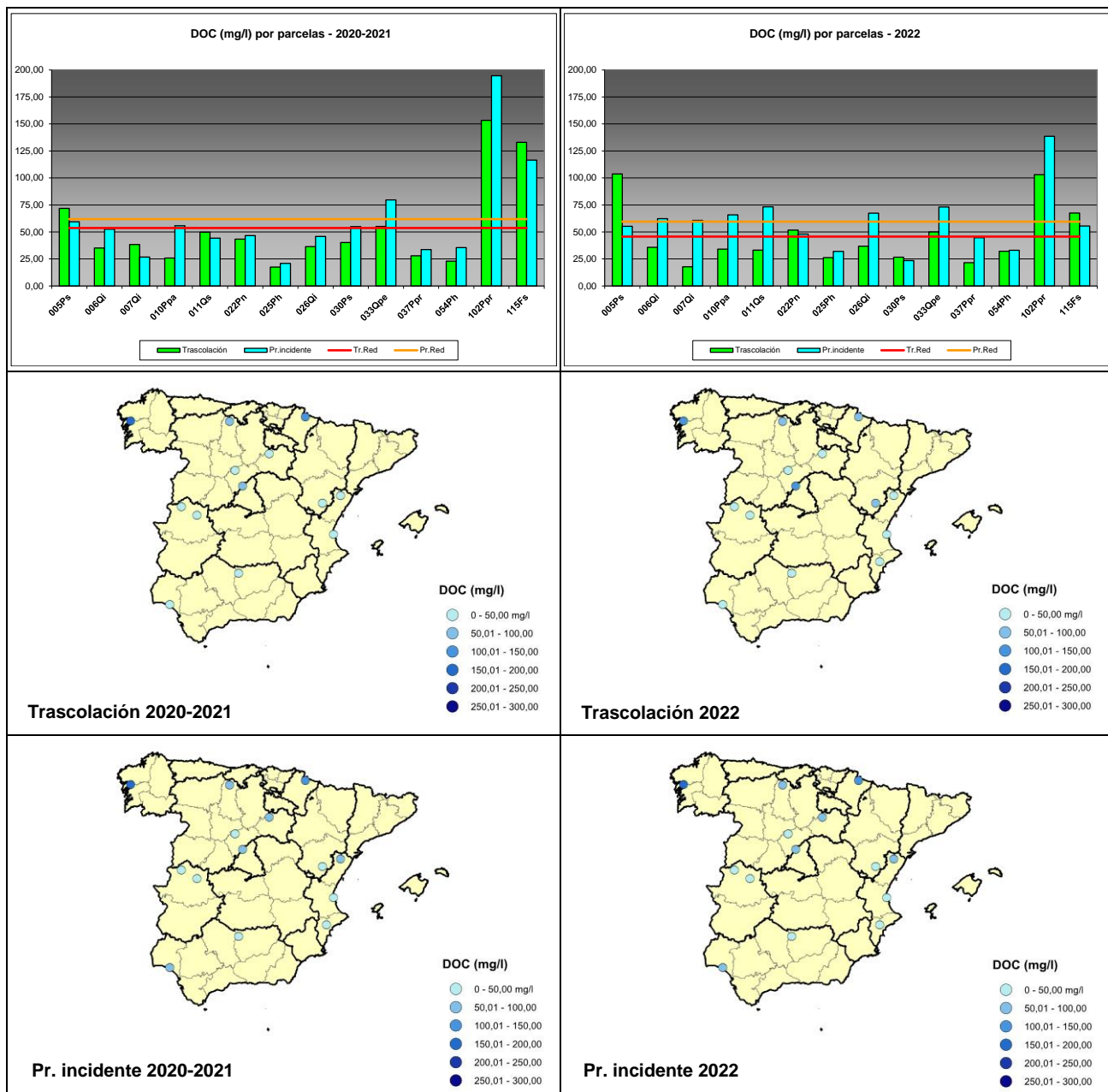
**FIG 25:** Deposición Nitrógeno total (kg/ha). Valores medios por parcela y diferencia entre trascolación y precipitación a campo abierto serie histórica 1999-2021 y año 2022. (El nitrógeno total no se midió en el periodo 2008-2019)

## 4.2.13. Carbono orgánico disuelto (DOC).

**TABLA 15:** Carbono orgánico disuelto Valores medios ponderados por volumen por parcela; precipitación en mm en cada parcela para la serie histórica 2020-2021 y el último año 2022

PERIODO 2020-2021								
Año	Trascolación (Tr)			Precipitación incidente (Pi)			Media Red	
	Media pond	Deposición	Precipit. (mm)	Media pond	Deposición	Precipit. (mm)	Trasc	P.inc
<b>005Ps</b>	71,74		1269	59,40		1387	53,60	61,89
<b>006Qi</b>	35,07		689	52,47		799	53,60	61,89
<b>010Ppa</b>	38,34		405	26,77		704	53,60	61,89
<b>007Qi</b>	25,89		298	55,72		448	53,60	61,89
<b>011Qs</b>	49,77		639	44,19		714	53,60	61,89
<b>022Pn</b>	43,38		572	46,55		622	53,60	61,89
<b>025Ph</b>	<b>17,45</b>		295	<b>20,93</b>		366	53,60	61,89
<b>026Qi</b>	36,43		715	45,78		685	53,60	61,89
<b>030Ps</b>	40,13		560	54,95		867	53,60	61,89
<b>033Qpe</b>	55,12		942	79,61		1218	53,60	61,89
<b>037Ppr</b>	27,87		299	33,60		414	53,60	61,89
<b>054Ph</b>	22,98		357	35,51		560	53,60	61,89
<b>102Ppr</b>	<b>153,35</b>		2169	<b>194,61</b>		2684	53,60	61,89
<b>115Fs</b>	132,93		1807	116,41		2013	53,60	61,89

PERIODO 2022								
Año	Trascolación (Tr)			Precipitación incidente (Pi)			Media Red	
	Media pond	Deposición	Precipit. (mm)	Media pond	Deposición	Precipit. (mm)	Trasc	P.inc
<b>005Ps</b>	<b>103,66</b>		1143	55,27		1331	45,72	59,49
<b>006Qi</b>	35,76		709	62,30		956	45,72	59,49
<b>010Ppa</b>	<b>17,79</b>		470	60,70		633	45,72	59,49
<b>007Qi</b>	34,02		377	65,84		540	45,72	59,49
<b>011Qs</b>	33,18		732	73,21		806	45,72	59,49
<b>022Pn</b>	51,69		595	47,97		601	45,72	59,49
<b>025Ph</b>	26,29		302	31,92		431	45,72	59,49
<b>026Qi</b>	36,74		495	67,41		504	45,72	59,49
<b>030Ps</b>	26,67		439	<b>23,53</b>		658	45,72	59,49
<b>033Qpe</b>	50,05		779	73,10		1070	45,72	59,49
<b>037Ppr</b>	21,50		311	44,61		502	45,72	59,49
<b>054Ph</b>	32,13		485	33,04		720	45,72	59,49
<b>102Ppr</b>	103,08		1785	<b>138,55</b>		2287	45,72	59,49
<b>115Fs</b>	67,50		1337	55,47		1542	45,72	59,49



#### 4.2.14. Aluminio.

**TABLA 16:** Caracterización Aluminio. Media anual ponderada por volumen, deposición anual total, precipitación anual, diferencia trascolación-precipitación incidente y media de la Red. Serie histórica 2020-2021 y año 2022.

Año	PERIODO 2020-2021						Difer. TR-PI (kg/ha)	Media Red	
	Trascolación (Tr)			Precipitación incidente (Pi)				Trasc (kg/ha)	P.inc (kg/ha)
	Med.pd (mg/l)	Depos. (kg/ha)	Precipit. (mm)	Med.pd (mg/l)	Depos. (kg/ha)	Precipit. (mm)			
<b>005Ps</b>	0,05	0,57	1269	0,02	0,27	1387	0,30	0,33	0,22
<b>006Qi</b>	0,04	0,27	689	<b>0,02</b>	0,13	799	0,14	0,33	0,22
<b>007Qi</b>	0,04	0,15	405	0,02	0,12	704	0,03	0,33	0,22

# MEMORIA

RED EUROPEA DE SEGUIMIENTO INTENSIVO Y CONTINUO

DE LOS ECOSISTEMAS FORESTALES – RED DE NIVEL II

AÑO 2023

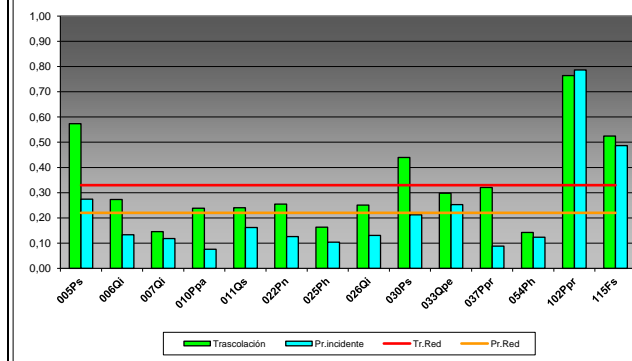
## PERIODO 2020-2021

Año	Trascolación (Tr)			Precipitación incidente (Pi)			Difer. TR-PI (kg/ha)	Media Red	
	Med.pd (mg/l)	Depos. (kg/ha)	Precipit. (mm)	Med.pd (mg/l)	Depos. (kg/ha)	Precipit. (mm)		Trasc (kg/ha)	P.inc (kg/ha)
<b>010Ppa</b>	0,08	0,24	298	0,02	<b>0,08</b>	448	0,16	0,33	0,22
<b>011Qs</b>	0,04	0,24	639	0,02	0,16	714	0,08	0,33	0,22
<b>022Pn</b>	0,04	0,25	572	0,02	0,13	622	0,13	0,33	0,22
<b>025Ph</b>	0,06	0,16	295	0,03	0,10	366	0,06	0,33	0,22
<b>026Qi</b>	0,04	0,25	715	0,02	0,13	685	0,12	0,33	0,22
<b>030Ps</b>	0,08	0,44	560	0,02	0,21	867	0,23	0,33	0,22
<b>033Qpe</b>	0,03	0,30	942	0,02	0,25	1218	0,05	0,33	0,22
<b>037Ppr</b>	<b>0,11</b>	0,32	299	0,02	0,09	414	0,23	0,33	0,22
<b>054Ph</b>	0,04	<b>0,14</b>	357	0,02	0,12	560	0,02	0,33	0,22
<b>102Ppr</b>	0,03	<b>0,76</b>	2169	<b>0,03</b>	<b>0,79</b>	2684	-0,02	0,33	0,22
<b>115Fs</b>	<b>0,03</b>	0,52	1807	0,02	0,49	2013	0,04	0,33	0,22

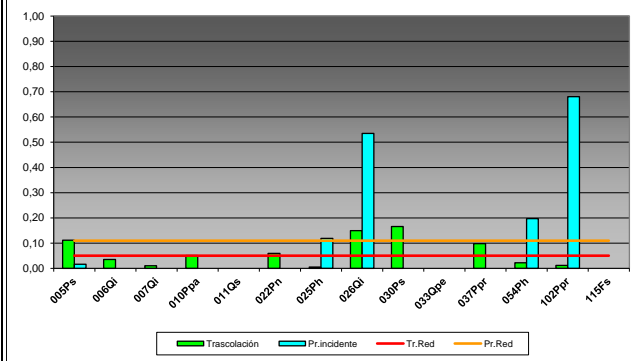
## PERIODO 2022

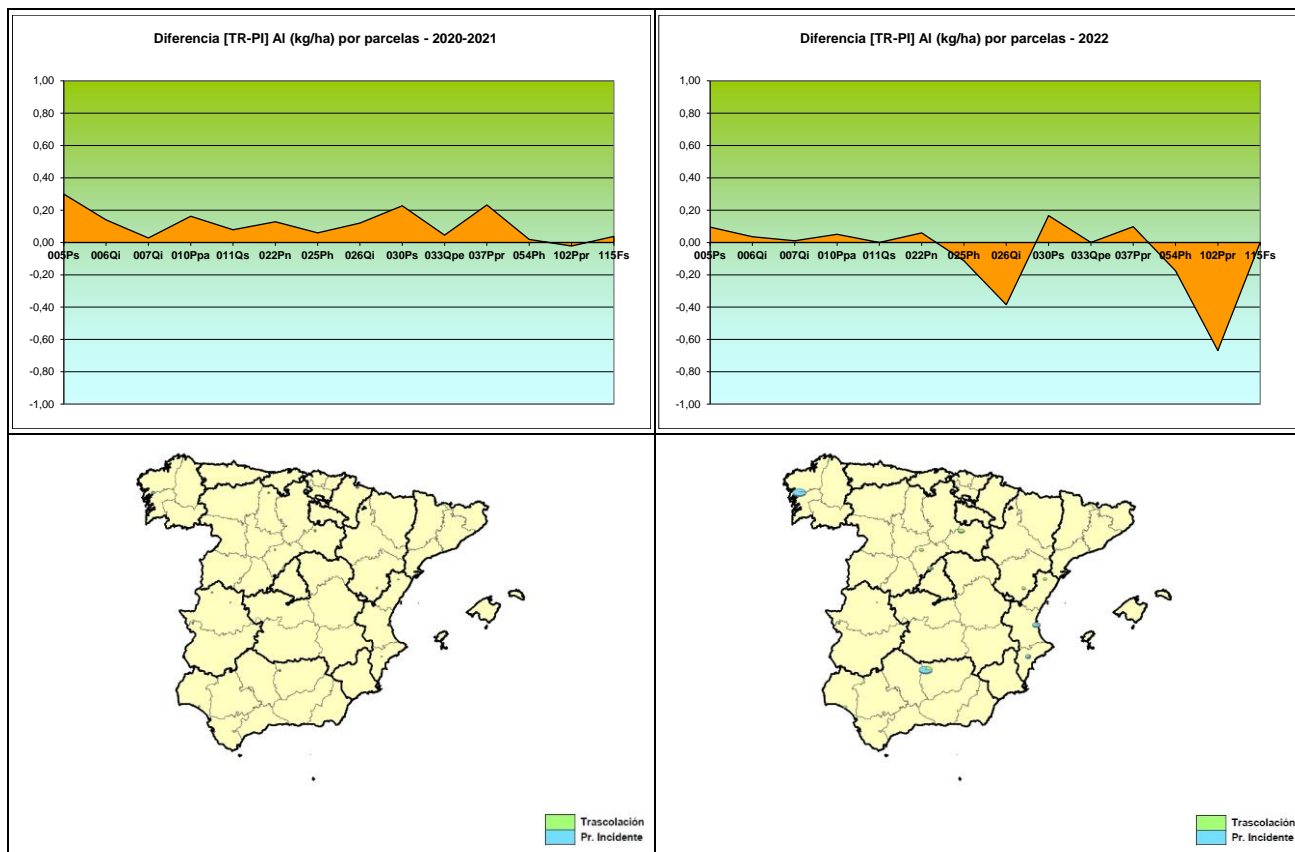
Año	Trascolación (Tr)			Precipitación incidente (Pi)			Difer. TR-PI (kg/ha)	Media Red	
	Med.pd (mg/l)	Depos. (kg/ha)	Precipit. (mm)	Med.pd (mg/l)	Depos. (kg/ha)	Precipit. (mm)		Trasc (kg/ha)	P.inc (kg/ha)
<b>005Ps</b>	0,01	0,11	1143	0,00	0,02	1331	0,10	0,05	0,11
<b>006Qi</b>	0,01	0,04	709	<b>0,00</b>	<b>0,00</b>	956	0,04	0,05	0,11
<b>007Qi</b>	0,00	0,01	470	<b>0,00</b>	<b>0,00</b>	633	0,01	0,05	0,11
<b>010Ppa</b>	0,01	0,05	377	<b>0,00</b>	<b>0,00</b>	540	0,05	0,05	0,11
<b>011Qs</b>	<b>0,00</b>	<b>0,00</b>	732	<b>0,00</b>	<b>0,00</b>	806	0,00	0,05	0,11
<b>022Pn</b>	0,01	0,06	595	<b>0,00</b>	<b>0,00</b>	601	0,06	0,05	0,11
<b>025Ph</b>	0,00	0,01	302	0,03	0,12	431	-0,11	0,05	0,11
<b>026Qi</b>	0,03	0,15	495	<b>0,11</b>	0,53	504	-0,39	0,05	0,11
<b>030Ps</b>	<b>0,04</b>	<b>0,17</b>	439	<b>0,00</b>	<b>0,00</b>	658	0,17	0,05	0,11
<b>033Qpe</b>	<b>0,00</b>	<b>0,00</b>	779	<b>0,00</b>	<b>0,00</b>	1070	0,00	0,05	0,11
<b>037Ppr</b>	0,03	0,10	311	<b>0,00</b>	<b>0,00</b>	502	0,10	0,05	0,11
<b>054Ph</b>	0,00	0,02	485	0,03	0,20	720	-0,18	0,05	0,11
<b>102Ppr</b>	0,00	0,01	1785	0,03	<b>0,68</b>	2287	-0,67	0,05	0,11
<b>115Fs</b>	<b>0,00</b>	<b>0,00</b>	1337	<b>0,00</b>	<b>0,00</b>	1542	0,00	0,05	0,11

AI (kg/ha) por parcelas - 2020-2021



AI (kg/ha) por parcelas - 2022





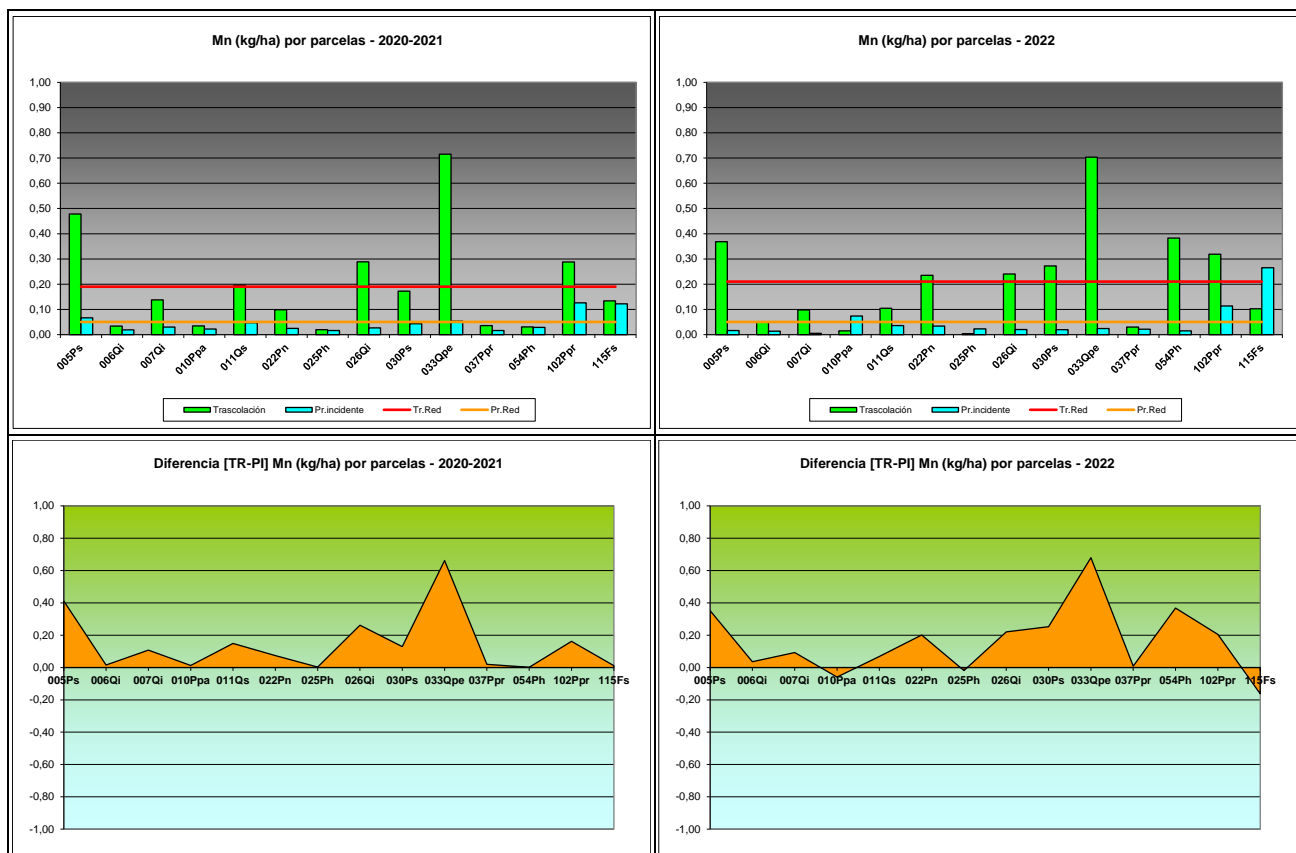
**FIG 27:** Deposición Aluminio (kg/ha). Valores medios por parcela y diferencia entre trascolación y precipitación a campo abierto. Serie histórica 2020-2021 y año 2022

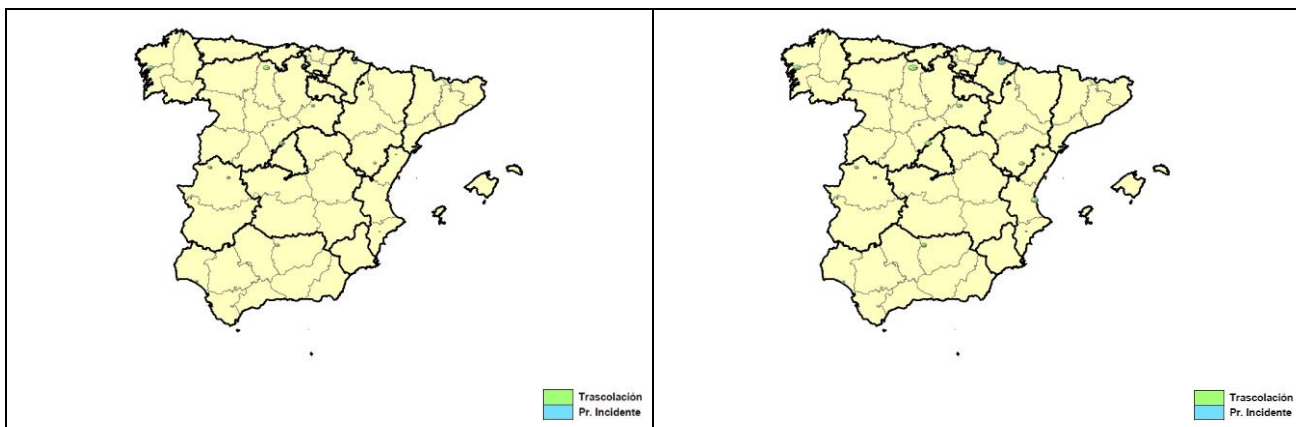
### 4.2.15. Manganeso.

**TABLA 17:** Caracterización Manganeso. Media anual ponderada por volumen, deposición anual total, precipitación anual, diferencia trascolación-precipitación incidente y media de la Red. Serie histórica 2020-2021 y año 2022.

Año	Trascolación (Tr)			Precipitación incidente (Pi)			Difer. TR-PI (kg/ha)	Media Red	
	Med.pd (mg/l)	Depos. (kg/ha)	Precipit. (mm)	Med.pd (mg/l)	Depos. (kg/ha)	Precipit. (mm)		Trasc (kg/ha)	P.inc (kg/ha)
005Ps	0,04	0,48	1269	0,00	0,07	1387	0,41	0,19	0,05
006Qi	0,00	0,03	689	0,00	0,02	799	0,02	0,19	0,05
007Qi	0,03	0,14	405	0,00	0,03	704	0,11	0,19	0,05
010Ppa	0,01	0,03	298	0,01	0,02	448	0,01	0,19	0,05
011Qs	0,03	0,20	639	0,01	0,05	714	0,15	0,19	0,05
022Pn	0,02	0,10	572	0,00	0,02	622	0,07	0,19	0,05
025Ph	0,01	0,02	295	0,00	0,02	366	0,00	0,19	0,05
026Qi	0,04	0,29	715	0,00	0,03	685	0,26	0,19	0,05
030Ps	0,03	0,17	560	0,01	0,04	867	0,13	0,19	0,05
033Qpe	0,08	0,72	942	0,00	0,05	1218	0,66	0,19	0,05
037Ppr	0,01	0,04	299	0,00	0,02	414	0,02	0,19	0,05
054Ph	0,01	0,03	357	0,01	0,03	560	0,00	0,19	0,05
102Ppr	0,01	0,29	2169	0,00	0,13	2684	0,16	0,19	0,05
115Fs	0,01	0,13	1807	0,01	0,12	2013	0,01	0,19	0,05

Año	PERIODO 2022						Difer. TR-PI (kg/ha)	Media Red		
	Trascolación (Tr)			Precipitación incidente (Pi)				Trasc (kg/ha)	P.inc (kg/ha)	
	Med.pd (mg/l)	Depos. (kg/ha)	Precipit. (mm)	Med.pd (mg/l)	Depos. (kg/ha)	Precipit. (mm)				
005Ps	0,03	0,37	1143	0,00	0,02	1331	0,35	0,21	0,05	
006Qi	0,01	0,05	709	0,00	0,01	956	0,04	0,21	0,05	
007Qi	0,02	0,10	470	0,00	0,01	633	0,09	0,21	0,05	
010Ppa	0,00	0,01	377	0,01	0,07	540	-0,06	0,21	0,05	
011Qs	0,01	0,10	732	0,00	0,04	806	0,07	0,21	0,05	
022Pn	0,04	0,23	595	0,01	0,03	601	0,20	0,21	0,05	
025Ph	0,00	0,00	302	0,01	0,02	431	-0,02	0,21	0,05	
026Qi	0,05	0,24	495	0,00	0,02	504	0,22	0,21	0,05	
030Ps	0,06	0,27	439	0,00	0,02	658	0,25	0,21	0,05	
033Qpe	0,09	0,70	779	0,00	0,02	1070	0,68	0,21	0,05	
037Ppr	0,01	0,03	311	0,00	0,02	502	0,01	0,21	0,05	
054Ph	0,08	0,38	485	0,00	0,01	720	0,37	0,21	0,05	
102Ppr	0,02	0,32	1785	0,00	0,11	2287	0,20	0,21	0,05	
115Fs	0,01	0,10	1337	0,02	0,26	1542	-0,16	0,21	0,05	





**FIG 28:** Deposición Manganese (kg/ha). Valores medios por parcela y diferencia entre trascolación y precipitación a campo abierto. Serie histórica 2020-2021 y año 2022

### 4.2.16. Hierro.

**TABLA 18:** Caracterización Hierro. Media anual ponderada por volumen, deposición anual total, precipitación anual, diferencia trascolación-precipitación incidente y media de la Red. Serie histórica 2020-2021 y año 2022.

Año	PERIODO 2020-2021						Media Red	
	Trascolación (Tr)	Precipitación incidente (Pi)			Difer. TR-PI			
	Med.pd (mg/l)	Depos. (kg/ha)	Precipit. (mm)	Med.pd (mg/l)	Depos. (kg/ha)	Precipit. (mm)	(kg/ha)	P.inc (kg/ha)
005Ps	0,01	0,17	1269	0,02	0,21	1387	-0,04	0,13
006Qi	0,02	0,14	689	0,01	0,06	799	0,09	0,13
007Qi	0,02	0,07	405	0,01	0,05	704	0,03	0,13
010Ppa	0,02	0,07	298	0,01	0,04	448	0,04	0,13
011Qs	0,02	0,15	639	0,01	0,05	714	0,10	0,13
022Pn	0,02	0,12	572	0,01	0,06	622	0,06	0,13
025Ph	0,02	0,06	295	0,01	0,05	366	0,02	0,13
026Qi	0,02	0,12	715	0,01	0,05	685	0,07	0,13
030Ps	0,02	0,13	560	0,01	0,09	867	0,04	0,13
033Qpe	0,01	0,14	942	0,01	0,09	1218	0,05	0,13
037Ppr	0,03	0,09	299	0,01	0,04	414	0,05	0,13
054Ph	0,03	0,09	357	0,01	0,04	560	0,04	0,13
102Ppr	0,01	0,28	2169	0,02	0,59	2684	-0,31	0,13
115Fs	0,01	0,21	1807	0,01	0,15	2013	0,06	0,13

Año	PERIODO 2022						Media Red	
	Trascolación (Tr)	Precipitación incidente (Pi)			Difer. TR-PI			
	Med.pd (mg/l)	Depos. (kg/ha)	Precipit. (mm)	Med.pd (mg/l)	Depos. (kg/ha)	Precipit. (mm)	(kg/ha)	P.inc (kg/ha)
005Ps	0,02	0,19	1143	0,01	0,08	1331	0,11	0,12
006Qi	0,02	0,11	709	0,00	0,01	956	0,10	0,12
007Qi	0,02	0,08	470	0,01	0,03	633	0,04	0,12
010Ppa	0,02	0,06	377	0,01	0,07	540	-0,01	0,12
011Qs	0,01	0,08	732	0,01	0,05	806	0,04	0,12
022Pn	0,02	0,11	595	0,00	0,02	601	0,09	0,12
025Ph	0,01	0,04	302	0,01	0,06	431	-0,02	0,12

### PERIODO 2022

Año	Trascolación (Tr)			Precipitación incidente (Pi)			Difer. TR-PI (kg/ha)	Media Red	
	Med.pd (mg/l)	Depos. (kg/ha)	Precipit. (mm)	Med.pd (mg/l)	Depos. (kg/ha)	Precipit. (mm)		Trasc (kg/ha)	P.inc (kg/ha)
<b>026Qi</b>	<b>0,04</b>	0,18	495	<b>0,04</b>	<b>0,19</b>	504	-0,01	0,12	0,06
<b>030Ps</b>	0,03	0,12	439	0,01	0,05	658	0,07	0,12	0,06
<b>033Qpe</b>	0,01	0,09	779	0,00	0,04	1070	0,06	0,12	0,06
<b>037Ppr</b>	0,03	0,08	311	0,00	0,01	502	0,06	0,12	0,06
<b>054Ph</b>	0,02	0,12	485	0,00	0,03	720	0,09	0,12	0,06
<b>102Ppr</b>	0,01	<b>0,21</b>	1785	0,01	0,17	2287	0,05	0,12	0,06
<b>115Fs</b>	0,01	0,19	1337	0,00	0,06	1542	0,13	0,12	0,06

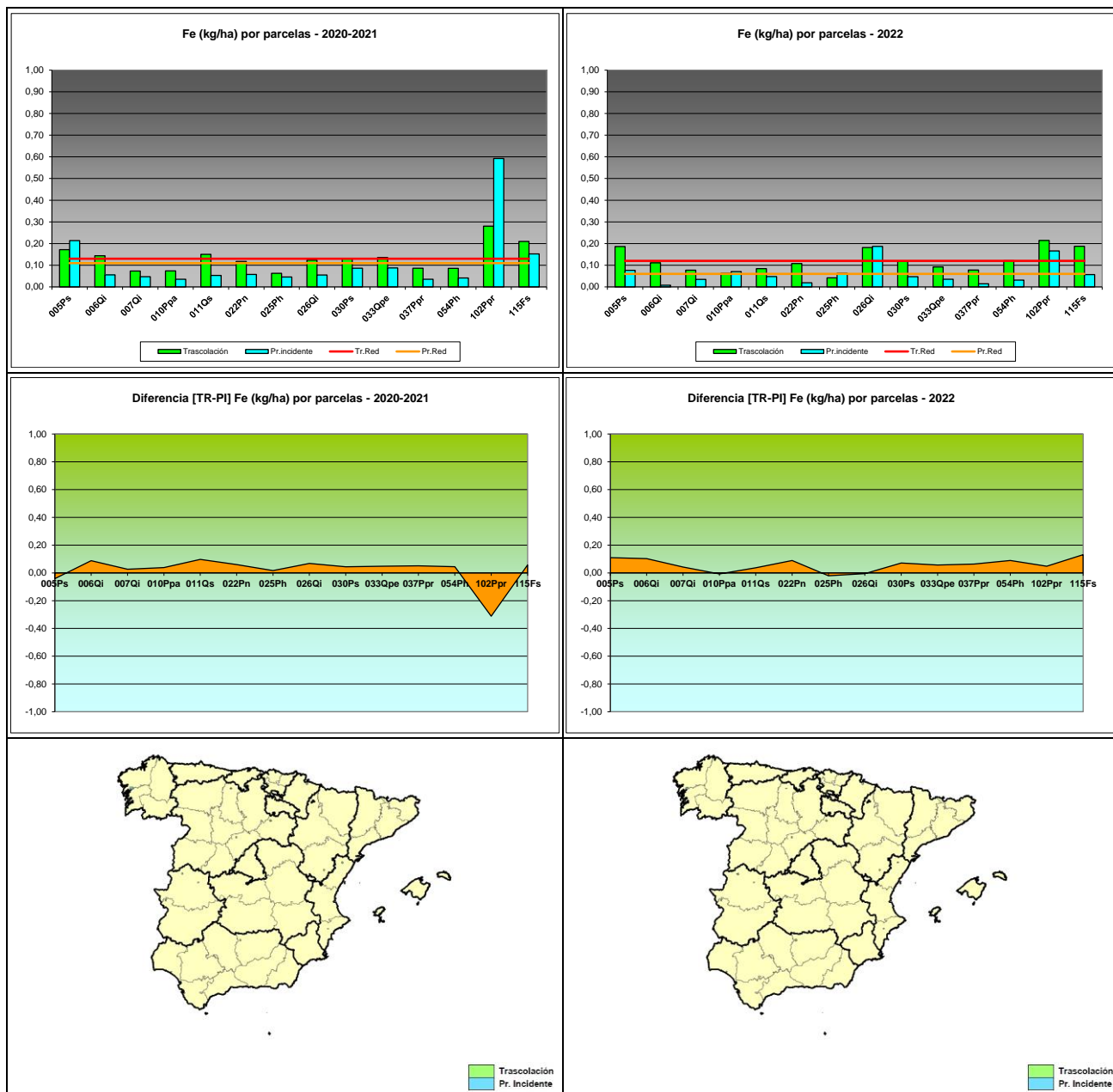


FIG 29: Deposición Hierro (kg/ha). Valores medios por parcela y diferencia entre trascolación y precipitación a campo abierto. Serie histórica 2020-2021 y año 2022

#### 4.3. Interpretación de resultados.

Por lo que se refiere a la deposición y a lo largo de la serie de datos evaluada cabe concluir:

1. Cabe hacer constar por lo que al análisis de muestras se refiere, que parte de los valores obtenidos en las analíticas pueden verse afectados por las restricciones a la movilidad impuestas durante la pandemia COVID-19, y que pueden afectar al periodo 2020-2021, mientras que en 2022, último año de que se dispone de resultados de laboratorio, no ha habido restricciones a la movilidad, recuperándose la normalidad previa.
2. En lo que se refiere al **pH**, continúan observándose las precipitaciones más ácidas en 102Ppr, donde tradicionalmente se obtienen los valores más bajos, si bien durante la última revisión se incrementan apreciablemente los episodios de lluvia ácida en esta parcela hasta el 50% de las muestras analizadas respecto al año anterior, si bien continúan presentándose valores comparativamente bajos con la serie histórica, seguido de 05Ps, 10Ppa, 11Qs y 115Fs. En la presente revisión destaca el incremento de los episodios ácidos en 102Ppr y 33Qpe, mientras que se reducen en 05Ps, 07Qi y 10Ppa.
3. La **conductividad**, parámetro que engloba la concentración de sales en una disolución, se mantiene en niveles similares a los de la revisión anterior salvo el considerable incremento habido en 54Ph y ligera reducción en 10Ppa y 25Ph. Como es habitual, la parcela con mayores valores es 54Ph, la más próxima a la línea de costa y más influenciada por el aporte de electrolitos procedentes de la sal marina.
4. En lo que respecta al **potasio**, elemento de carácter terrígeno, los mayores depósitos se observan en 115Fs donde se superan los 45 kg/ha incrementándose apreciablemente con respecto a la revisión anterior, y en menor medida 06Qi, 54Ph y 102Ppr. Los depósitos obtenidos bajo cubierta han sido considerablemente superiores, lo que pone de manifiesto el comportamiento de la deposición seca.
5. La deposición de **calcio** se modifica apreciablemente respecto a la revisión previa, destacando la considerable reducción de los aportes a cielo abierto en 102Ppr, y el incremento habido en 05Ps, 26Qi y sobre todo 54Ph, en la línea del comportamiento habitual del conjunto. Como en el caso anterior, las precipitaciones bajo cubierta son superiores a las obtenidas a campo abierto.
6. El tercer elemento terrígeno considerado, el **magnesio**, sigue presentando un patrón de comportamiento parecido al de años anteriores, con los mayores depósitos en 102Ppr, 54Ph, 115Fs, que se incrementan respecto al año previo, destacando también el aumento, más matizado, en 26Qi. Las tasas bajo cubierta arbórea han resultado ser también superiores en todos los casos.
7. En cuanto al **sodio**, elemento que como el cloro tiene un origen mayoritariamente marino, se observan en primer lugar mayores tasas en las parcelas situadas cerca del litoral, con depósitos notablemente superiores en 102Ppr, 54Ph y en menor medida 115Fs y que se incrementan en con respecto a los aportes del año anterior, sobre todo en el caso de 54Ph en que casi se alcanzan los 100 kg/ha bajo cubierta, en la línea del comportamiento medio de la serie. Como en los casos anteriores, se han encontrado depósitos mayores en trascolación, posiblemente debido al fenómeno de la deposición seca, si bien la diferencia entre las dos vías de entrada al sistema resultan ser más atenuadas.
8. Por lo que se refiere al **amonio**, sustancia de origen agrícola y ganadero, se incrementan apreciablemente los depósitos de 54Ph, 102Ppr y 115Fs que en algún caso pueden llegar a triplicar

los aportes del año anterior, mientras se reducen de forma más leve los aportes correspondientes a 05Ps, 26Qi, 30Ps y 33Qpe. Por regla general y durante la presente revisión se han obtenido menores valores que los correspondientes al periodo 1997-2021. En este compuesto no hay diferencias tan marcadas entre las deposiciones bajo cubierta y a campo abierto.

9. En cuanto al **cloro**, segundo elemento de origen marino, se advierte también un incremento en los valores en las parcelas más próximas al mar, más marcado en 54Ph y 102Ppr y en menor medida, 10Ppa y 115Fs, siguiendo el comportamiento habitual de la serie y en consonancia con el sodio. Durante la presente revisión se obtienen tasas inferiores a las de la serie histórica salvo ppr lo que se refiere a 54Ph en el que se superan los 150 kg/ha bajo cubierta.
10. Los **nitratos**, contaminantes procedentes de la actividad humana e industrial, se incrementan respecto a la revisión del año previo, particularmente en la trascolación de las parcelas 25Ph y 54Ph, ambas en la costa mediterránea, mientras se reduce apreciablemente en 22Pn. Como viene observándose en los últimos años, en prácticamente todas las parcelas se han obtenido valores inferiores a la media de la serie histórica.
11. Con respecto a los **sulfatos** se advierten valores similares a los del año anterior, destacando el incremento del aporte en 54Ph y la reducción en 102Ppr mientras que el resto de parcelas presentan un comportamiento similar al del año anterior. Como suele ser habitual, las parcelas en las que se han obtenido mayores niveles han sido 54Ph, 102Ppr y en menor medida 06Qi, 10Ppa y 115Fs. Por regla general se obtienen mayores depósitos bajo cubierta arbórea y valores inferiores a los de la media de la serie.
12. Por lo que respecta a la **alcalinidad**, se advierte una reducción apreciable durante el último año con respecto a los niveles registrados el año anterior, destacando la disminución del nivel de 06Qi, 25Ph y 102Ppr hasta alcanzar niveles similares a los de la media histórica. Por regla general se obtienen mayores valores bajo cubierta.
13. En cuanto al **nitrógeno total**, que ha vuelto a analizarse a partir de 2020, se advierte una reducción generalizada en la mayoría de las parcelas, más marcado en 26Qi, 102Ppr y 115Fs, en las que junto con 54Ph se han obtenido los mayores valores de la campaña.
14. El **carbono orgánico disuelto** se reduce apreciablemente en 102Ppr y 115Fs así como –de forma más tenue- en la mayoría de las parcelas salvo 05Ps donde se incrementa. En **aluminio** se obtienen depósitos traza en prácticamente todas las parcelas, sin que se lleguen a superar 0,60 kg/ha, en niveles considerablemente inferiores a los del año anterior, y dándose los mayores aportes en 05Ps, 26Qi, 30Ps, 54Ph y 102Ppr. Por lo que se refiere al **hierro** destaca la considerable reducción del aporte a campo abierto en 102Ppr considerablemente elevada el año anterior y que en la presente revisión se sitúa en el entorno de 0,20 kg/ha tal como el conjunto de la Red. El contenido en **manganoso** es muy similar al encontrado en la revisión del año anterior, sin que se superen los 0,70 kg/ha, normalmente superior bajo cubierta y destacando los aportes de 05Ps, 30Ps, 33Qpe, 54Ph y 102Ppr.
15. En general los efectos de la deposición seca son claramente visibles tras las lluvias que siguen a un periodo de sequía alargado, fenómeno tan característico del clima mediterráneo; precipitaciones en las que se suelen obtener concentraciones considerablemente altas de los distintos solutos y que dan lugar a depósitos tanto más elevados como intensa sea la precipitación.

## 5. Calidad del Aire. Inmisión.

Además del aporte de un determinado componente al ecosistema forestal, vía deposición seca/húmeda evaluada en el apartado anterior, en la Red Europea de Nivel II se mide desde 2000 la concentración en el aire de determinados contaminantes, lo que se conoce con el nombre de inmisión. Normativamente y en España se analiza la concentración de dióxido de azufre, dióxido de nitrógeno, amonio (expresados en  $\mu\text{g}/\text{m}^3$ ) y ozono (expresado en ppb).

La medición se hace a través de dosímetros pasivos, dispositivos de muestreo dotados de un compuesto químico diana sensible a los distintos contaminantes con los que va reaccionando y que permite evaluar la concentración en aire de los mismos. En el periodo 2000-2009 el cambio de dispositivos fue quincenal, efectuándose de forma mensual a partir de 2010.

Se presentan a continuación los principales resultados habidos en las distintas evaluaciones anuales – con objeto de dar la tendencia temporal de los parámetros mediante la media móvil 2000-2021, así como una descripción más pormenorizada de los resultados habidos en el último año.

Como valores de referencia para estos parámetros se han tomado (*Seguimiento de la Calidad Ambiental y de los Daños por Contaminación en los Bosques Españoles. Proyecto LIFE 07 ENV/DE/000218 FutMon. Ministerio de Medio Ambiente y Medio Rural y Marino, Fundación CEAM, 2011*)

**SO<sub>2</sub>:** nivel crítico de afección a líquenes. Promedio anual de 10  $\mu\text{g}/\text{m}^3$ .

**NO<sub>2</sub>:** nivel crítico. Promedio anual de 30  $\mu\text{g}/\text{m}^3$ .

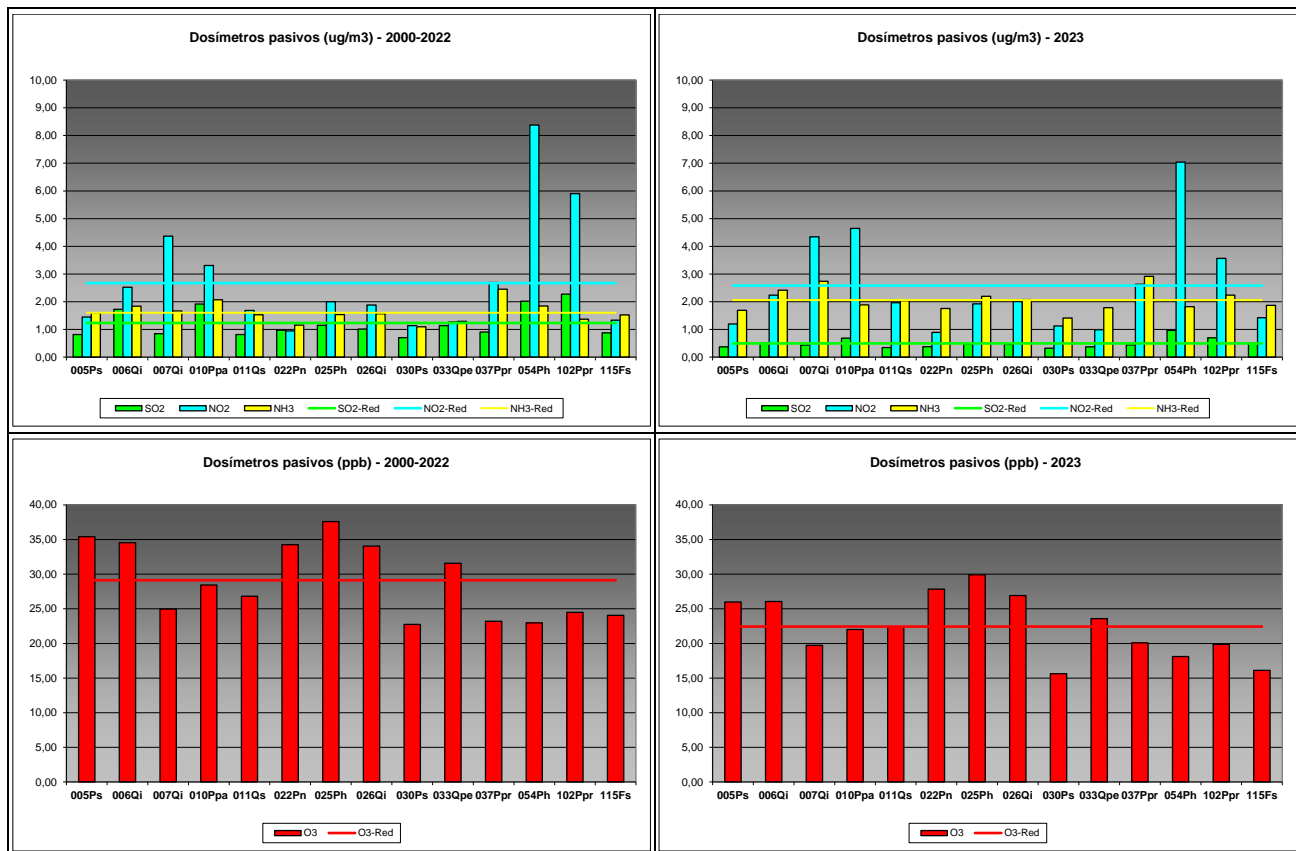
**NH<sub>3</sub>:** nivel crítico de protección a líquenes y briofitos. Promedio anual de 1  $\mu\text{g}/\text{m}^3$ .

nivel crítico de protección a plantas superiores. Promedio anual de 2-4  $\mu\text{g}/\text{m}^3$ .

**TABLA 19:** Inmisión atmosférica. Concentraciones medias anuales de los distintos contaminantes en la parcela y media de la Red.  
O<sub>3</sub> 1 ppb ~ 1,96  $\mu\text{g}/\text{m}^3$

Año	Parcela				Media Red			
	SO <sub>2</sub> ( $\mu\text{g}/\text{m}^3$ )	NO <sub>2</sub> ( $\mu\text{g}/\text{m}^3$ )	NH <sub>3</sub> ( $\mu\text{g}/\text{m}^3$ )	O <sub>3</sub> (ppb)	SO <sub>2</sub> ( $\mu\text{g}/\text{m}^3$ )	NO <sub>2</sub> ( $\mu\text{g}/\text{m}^3$ )	NH <sub>3</sub> ( $\mu\text{g}/\text{m}^3$ )	O <sub>3</sub> (ppb)
<b>005 Ps</b>	0,82	1,45	1,60	35,40	1,23	2,67	1,60	29,12
<b>006 Qi</b>	1,73	2,52	1,84	34,54	1,23	2,67	1,60	29,12
<b>007 Qi</b>	0,85	4,37	1,67	24,96	1,23	2,67	1,60	29,12
<b>010 Ppa</b>	1,92	3,31	2,07	28,45	1,23	2,67	1,60	29,12
<b>011 Qs</b>	0,81	1,68	1,53	26,82	1,23	2,67	1,60	29,12
<b>022 Pn</b>	0,97	<b>0,95</b>	1,16	34,26	1,23	2,67	1,60	29,12
<b>025 Ph</b>	1,15	2,00	1,54	<b>37,61</b>	1,23	2,67	1,60	29,12
<b>026 Qi</b>	1,01	1,88	1,56	34,06	1,23	2,67	1,60	29,12
<b>030 Ps</b>	<b>0,71</b>	1,14	<b>1,10</b>	<b>22,75</b>	1,23	2,67	1,60	29,12
<b>033 Qpe</b>	1,14	1,27	1,29	31,59	1,23	2,67	1,60	29,12
<b>037 Ppr</b>	0,90	2,70	<b>2,45</b>	23,21	1,23	2,67	1,60	29,12
<b>054 Ph</b>	2,02	<b>8,38</b>	1,85	22,97	1,23	2,67	1,60	29,12
<b>102 Ppr</b>	<b>2,28</b>	5,90	1,37	24,50	1,23	2,67	1,60	29,12
<b>115 Fs</b>	0,88	1,34	1,53	24,06	1,23	2,67	1,60	29,12
<b>Media</b>	<b>1,23</b>	<b>2,78</b>	<b>1,61</b>	<b>28,94</b>	<b>1,23</b>	<b>2,67</b>	<b>1,60</b>	<b>29,12</b>

Año	Parcela				Media Red			
	SO <sub>2</sub> ( $\mu\text{g}/\text{m}^3$ )	NO <sub>2</sub> ( $\mu\text{g}/\text{m}^3$ )	NH <sub>3</sub> ( $\mu\text{g}/\text{m}^3$ )	O <sub>3</sub> (ppb)	SO <sub>2</sub> ( $\mu\text{g}/\text{m}^3$ )	NO <sub>2</sub> ( $\mu\text{g}/\text{m}^3$ )	NH <sub>3</sub> ( $\mu\text{g}/\text{m}^3$ )	O <sub>3</sub> (ppb)
<b>005 Ps</b>	0,37	1,20	1,69	25,98	0,50	2,58	2,06	22,45
<b>006 Qi</b>	0,50	2,24	2,42	26,06	0,50	2,58	2,06	22,45
<b>007 Qi</b>	0,43	4,35	2,74	19,72	0,50	2,58	2,06	22,45
<b>010 Ppa</b>	0,69	4,64	1,89	22,00	0,50	2,58	2,06	22,45
<b>011 Qs</b>	0,35	1,97	2,04	22,39	0,50	2,58	2,06	22,45
<b>022 Pn</b>	0,38	<b>0,90</b>	1,76	27,85	0,50	2,58	2,06	22,45
<b>025 Ph</b>	0,48	1,92	2,20	<b>29,92</b>	0,50	2,58	2,06	22,45
<b>026 Qi</b>	0,46	2,01	2,08	26,93	0,50	2,58	2,06	22,45
<b>030 Ps</b>	<b>0,32</b>	1,12	<b>1,41</b>	<b>15,63</b>	0,50	2,58	2,06	22,45
<b>033 Qpe</b>	0,37	0,99	1,79	23,59	0,50	2,58	2,06	22,45
<b>037 Ppr</b>	0,44	2,63	<b>2,91</b>	20,09	0,50	2,58	2,06	22,45
<b>054 Ph</b>	<b>0,96</b>	<b>7,04</b>	1,82	18,10	0,50	2,58	2,06	22,45
<b>102 Ppr</b>	0,70	3,56	2,24	19,86	0,50	2,58	2,06	22,45
<b>115 Fs</b>	0,50	1,42	1,87	16,12	0,50	2,58	2,06	22,45
<b>Media</b>	<b>0,50</b>	<b>2,57</b>	<b>2,06</b>	<b>22,45</b>	<b>0,50</b>	<b>2,58</b>	<b>2,06</b>	<b>22,45</b>



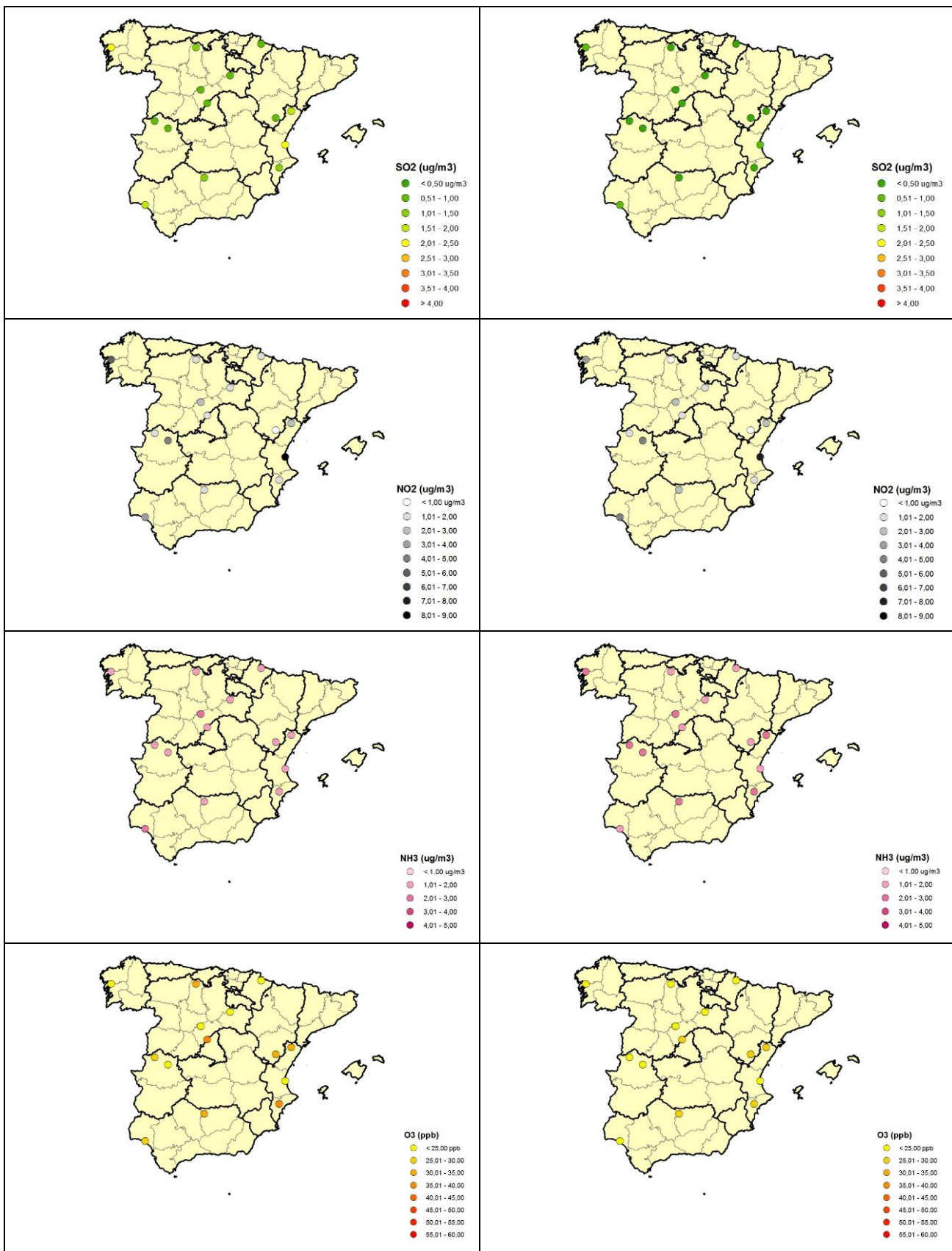


FIG 30: Inmisión atmosférica. Dióxido de azufre, óxidos de nitrógeno, amoníaco y ozono. Valores medios por parcela serie histórica 2000-2022 y año 2023

1. Por lo que se refiere a la calidad del aire, las mayores concentraciones de **dióxido de azufre** se han obtenido en 54Ph, seguido de 10Ppa y 102Ppr, en un patrón ya observado en revisiones anteriores, y sin apenas variaciones con respecto a la revisión anterior. No se han alcanzado los valores de referencia a lo largo de la serie de años evaluados.
2. En cuanto a los **óxidos de nitrógeno** los máximos valores se han encontrado en 07Qi, 10Ppa, 54 Ph y 102Ppr, en un patrón muy similar al de la revisión anterior, con una ligera reducción de las concentraciones. No se han alcanzado los valores de referencia para este contaminante a lo largo de la serie de años evaluados.
3. Los niveles de **amoníaco**, se mantienen muy estables a lo largo del último año, destacando –si bien de forma poco significativa- las concentraciones observadas en 37Ppr, 07Qi y 102Ppr. Contrariamente a lo que ocurre con el compuesto anterior, es bastante frecuente que se alcancen los valores de referencia en lo que se refiere a la protección de líquenes e incluso plantas superiores en algunos casos.
4. Por lo que se refiere al **ozono**, se advierte un incremento en los valores de la mayoría de las parcelas con respecto al año previo, más marcado en 22Pn, 25Ph y 26Qi, y en menor medida 102Ppr, en un patrón similar al habido durante la revisión anterior.
5. En todos los contaminantes analizados se obtienen concentraciones inferiores a las medias del periodo anterior, 2000-2022, destacando la reducción del ozono, salvo por lo que se refiere al amonio en que las tasas obtenidas durante el último año son mayores, tal como ya se apreciara en la revisión anterior.

## 6. Análisis foliar.

El objetivo del análisis foliar es, en concordancia con las especificaciones de las redes europeas, estimar el estado nutricional del arbolado y el impacto de los contaminantes atmosféricos en los ecosistemas forestales; así como la detección de tendencias temporales y sus patrones geográficos de distribución y con ello contribuir al conocimiento y cuantificación del estado de los bosques en Europa.

### 6.1. Caracterización de los árboles muestra.

La selección de árboles para la toma de muestra foliar, árboles “500”de acuerdo con la nomenclatura empleada, se hará en la zona *buffer* o tampón de la parcela (fuera de los límites de ésta) al tomarse muestras de carácter destructivo. Se tomarán dos series de 5 árboles cada una (serie de muestra o M y serie de reserva o R, numerados del 501 al 505 la primera y del 506 al 510 la segunda) en las proximidades de los sitios en los que se tomó muestra de suelo al inicio de los trabajos, pero de forma que sus raíces no se vean afectadas por los movimientos de tierra efectuados al cavar la calicata.

Los árboles seleccionados deberán cumplir, en la medida de lo posible, las siguientes condiciones:

- ✓ Ser árboles representativos de las condiciones ecológicas medias de la parcela.
- ✓ Ser árboles de los estratos dominante o codominante en rodales de espesura cerrada, o árboles de altura  $Hm \pm 20\%$  ( $Hm$ ) en rodales de espesura abierta, siendo  $Hm$  la altura media de la parcela.
- ✓ Ser árboles con un estado de defoliación, en el momento de seleccionarlos, próximo a la media de la parcela ( $\pm 5\%$ ) y con un estado fitosanitario equiparable al del resto de la estación.

La toma de muestra foliar se hará, normativamente, con periodicidad **bianual**, repitiéndose siempre sobre los mismos árboles. En caso de escasez de hojas, muerte, corta o deterioro de la copa de un árbol de la serie M se sustituirá por otro de la serie R o de reserva.

Los ramales a apear se tomarán preferiblemente en todas las orientaciones de la copa, cumpliendo en la medida de lo posible las siguientes condiciones:

- ✓ Estar situada en el tercio superior de la copa.
- ✓ Siempre que sea posible, estar bien iluminada.
- ✓ Reunir las características medias del follaje para esa orientación (crecimiento, color, defoliación,...)
- ✓ Poder caer libremente al suelo.

Dependiendo de la altura de los árboles, la toma de muestra podrá hacerse mediante pértigas extensibles o recurriendo a escaladores especializados. Para evitar la contaminación por contacto con el suelo, los ramales se apearán sobre una superficie plástica.

Por último, la toma de muestra deberá hacerse en la época del año en que la concentración de elementos totales sea lo más estable posible, para las **frondosas** cuando tengan las hojas completamente desarrolladas y antes del amarilleamiento estival y para las **coníferas** cuando los árboles estén en parada vegetativa y en ausencia de heladas.

En el caso de frondosas perennifolias o coníferas se tomarán, además de muestras de crecimiento del año n, muestras de los crecimientos anteriores (n-1, n-2).

## 6.2. Variables de medición.

A lo largo de la vigencia del proyecto se han analizado las siguientes variables conforme se han ido desarrollando los distintos protocolos bianuales de toma de datos, que han podido variar entre campañas, tal como se resume en la presente tabla:

**TABLA 20:** Muesteos foliares efectuados en la red

Variable	Campaña de Muestreo														
	95-96	97-98	99-00	01-02	03-04	05-06	07-08	09-10	11-12	13-14	15-16	17-18	19-20	21-22	
<b>Peso Seco</b>	T	P+F	T	T	T	T	T	T	T	P+C	T	T	T	T	T
<b>Macronut.</b>															
N	T	P+F	T	T	T	T	T	T	T	P+C	T	T	T	T	T
S	T	P+F	T	T	T	T	T	T	T	P+C	T	T	T	T	T
P	T	P+F	T	T	T	T	T	T	T	P+C	T	T	T	T	T
Ca	T	P+F	T	T	T	T	T	T	T	P+C	T	T	T	T	T
Mg	T	P+F	T	T	T	T	T	T	T	P+C	T	T	T	T	T
K	T	P+F	T	T	T	T	T	T	T	P+C	T	T	T	T	T
C										P+C	T	T	T	T	T
<b>Micronut.</b>															
Na		P+F													
Zn	T	P+F								P+C	T	T	T	T	T
Mn	T	P+F								P+C	T	T	T	T	T

Variable	Campaña de Muestreo													
	95-96	97-98	99-00	01-02	03-04	05-06	07-08	09-10	11-12	13-14	15-16	17-18	19-20	21-22
Fe	T	P+F									P+C	T	T	T
Cu											P+C	T	T	T
<b>Metidas analiz.</b>														
Frondosas cad.	1	1	1	1	1	1	1	1	1		1	1	1	1
Frondosas per.	1	2	1	2	1	2	2	2	2	2	2	2	2	2
Coníferas	1		1	2	1	2	2	3	3	3	3	3	3	3

T: todas las especies

F: frondosas caducifolias

P: frondosas perennifolias

C: coníferas

De acuerdo con el protocolo de laboratorio, el peso seco se ha hecho sobre 1000 acículas en el caso de las coníferas o sobre 100 hojas en el caso de frondosas.

Cabe hacer constar también que hasta la campaña 2007-2008 (incluida) se analizó la muestra foliar en cada una de las 54 parcelas de la Red, mientras que a partir de 2008-2009 sólo se analizó en las 14 parcelas instrumentadas. Pese a ello, y con objeto de proporcionar la mayor información posible, se han incluido los resultados históricos de la Red.

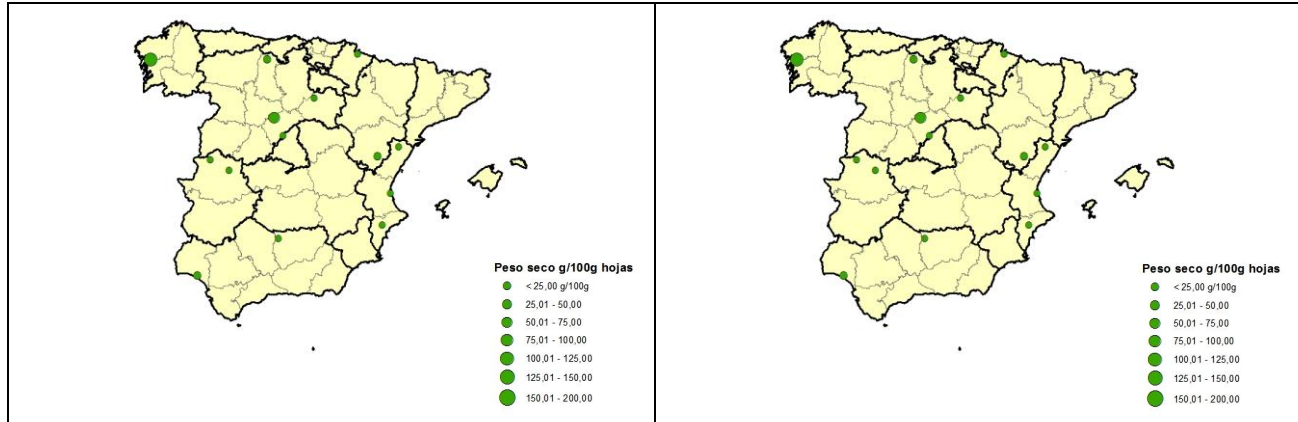
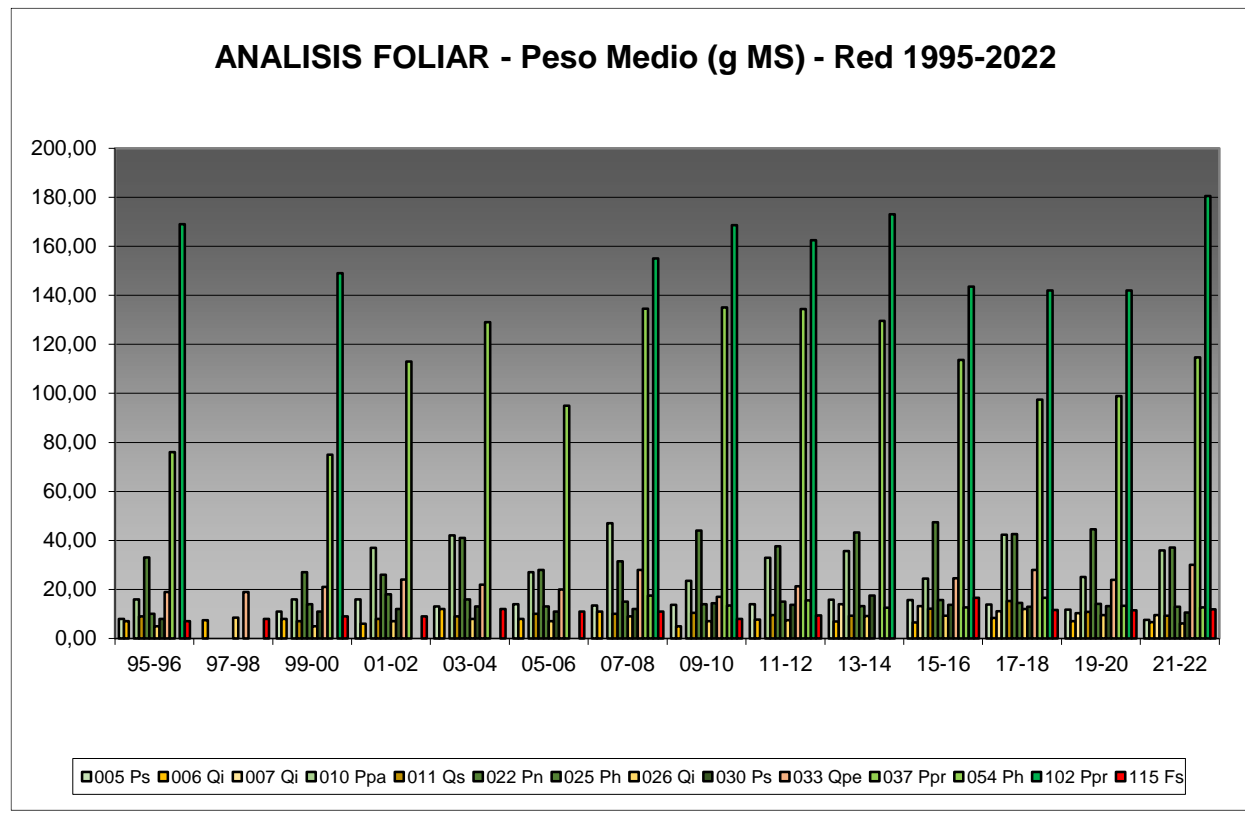
En aquellos casos en los que se han analizado varias metidas, se ha tomado como valor del muestreo la media de los distintos crecimientos.

### 6.3. Principales resultados.

#### 6.3.1. Peso seco.

**TABLA 21:** Caracterización peso seco (g MS) 100 hojas (frondosas) o 1000 acículas (coníferas). Media anual de las metidas evaluadas y campaña de muestreo

Parcela	Campaña de Muestreo													
	95-96	97-98	99-00	01-02	03-04	05-06	07-08	09-10	11-12	13-14	15-16	17-18	19-20	21-22
<b>005 Ps</b>	8,00		11,00	16,00	13,00	14,00	13,50	13,67	13,97	15,87	15,73	13,78	11,78	7,53
<b>006 Qi</b>	7,00	7,50	8,00	<b>6,00</b>	12,00	8,00	11,00	<b>5,00</b>	7,64	<b>6,88</b>	<b>6,50</b>	<b>8,42</b>	<b>7,11</b>	6,71
<b>007 Qi</b>										13,92	13,20	11,11	10,30	9,51
<b>010Ppa</b>	16,00		16,00	37,00	42,00	27,00	47,00	23,50	32,88	35,63	24,40	42,31	25,02	35,95
<b>011 Qs</b>	9,00		7,00	8,00	9,00	10,00	10,00	10,50	9,50	9,32	12,10	15,30	10,89	9,33
<b>022 Pn</b>	33,00		27,00	26,00	41,00	28,00	31,50	44,00	37,59	43,18	47,47	42,54	44,57	37,15
<b>025 Ph</b>	10,00		14,00	18,00	16,00	13,00	15,00	14,00	15,05	13,22	15,73	14,55	14,08	12,94
<b>026 Qi</b>	<b>5,00</b>	8,50	<b>5,00</b>	7,00	<b>8,00</b>	<b>7,00</b>	<b>9,00</b>	7,00	<b>7,41</b>	9,11	9,25	12,06	9,47	<b>6,13</b>
<b>030 Ps</b>	8,00		11,00	12,00	13,00	11,00	12,00	14,33	13,77	17,50	13,73	12,99	13,20	10,60
<b>033Qpe</b>	19,00	<b>19,00</b>	21,00	24,00	22,00	20,00	28,00	17,00	21,25		24,60	27,89	23,89	30,08
<b>037Ppr</b>	76,00		75,00	<b>113,00</b>	<b>129,00</b>	<b>95,00</b>	134,50	135,00	134,42	129,60	113,60	97,44	98,84	114,65
<b>054 Ph</b>							17,50	13,50	15,50	12,55	12,67	16,57	13,27	12,73
<b>102Ppr</b>	<b>169,00</b>		<b>149,00</b>				<b>155,00</b>	<b>168,67</b>	<b>162,48</b>	<b>173,07</b>	<b>143,53</b>	<b>141,95</b>	<b>142,03</b>	<b>180,53</b>
<b>115 Fs</b>	7,00	8,00	9,00	9,00	12,00	11,00	11,00	8,00	9,38		16,60	11,67	11,44	11,88



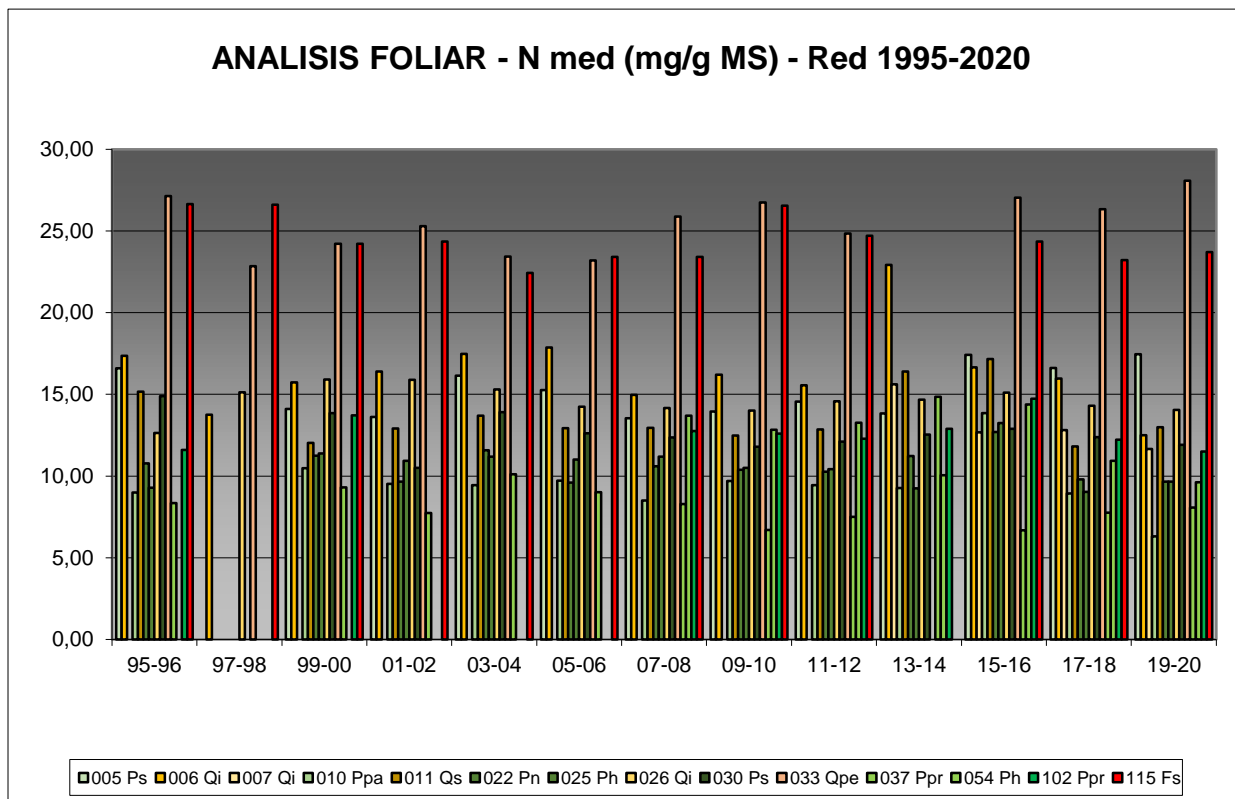
**FIG 31:** Peso seco hojas/acículas. Valores medios por parcela serie histórica 1995-2000 y campaña 2021-2022

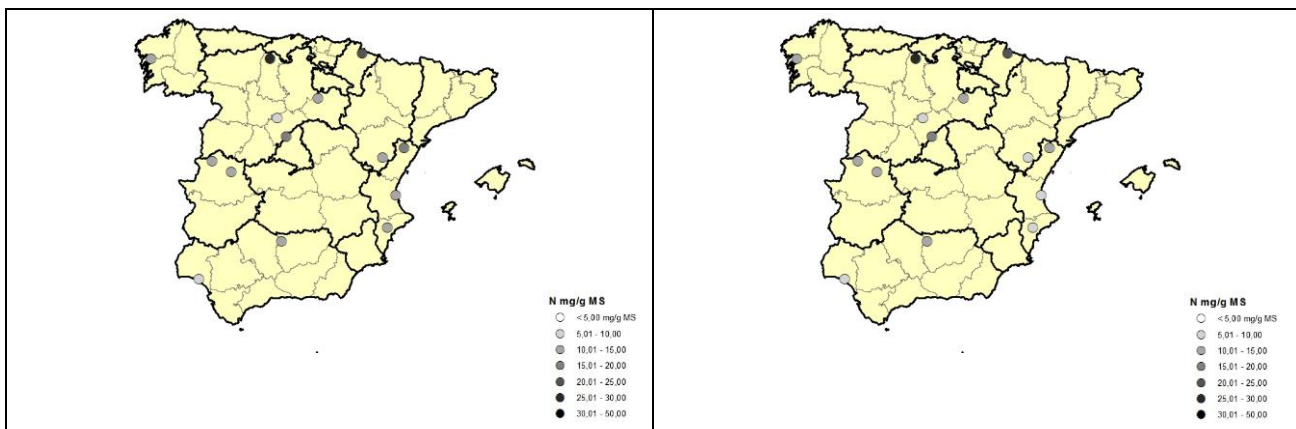
### 6.3.2. Nitrógeno.

**TABLA 22:** Caracterización contenido en nitrógeno (mg/g MS). Media anual de las medidas evaluadas y campaña de muestreo

Parcela	Campaña de Muestreo													
	95-96	97-98	99-00	01-02	03-04	05-06	07-08	09-10	11-12	13-14	15-16	17-18	19-20	21-22
<b>005 Ps</b>	16,60		14,10	13,62	16,14	15,26	13,54	13,95	14,56	13,84	17,41	16,61	17,45	
<b>006 Qi</b>	17,35	<b>13,75</b>	15,74	16,39	17,47	17,86	14,97	16,20	15,55	<b>22,93</b>	16,65	15,97	12,50	

Parcela	Campaña de Muestreo													
	95-96	97-98	99-00	01-02	03-04	05-06	07-08	09-10	11-12	13-14	15-16	17-18	19-20	21-22
<b>007 Qi</b>											15,62	12,67	12,81	11,65
<b>010 Ppa</b>	8,99		10,48	9,52	<b>9,44</b>	9,71	8,51	9,70	9,43	9,28	13,86	8,94	<b>6,31</b>	
<b>011 Qs</b>	15,17		12,03	12,91	13,70	12,94	12,95	12,48	12,86	16,39	17,17	11,82	13,00	
<b>022 Pn</b>	10,78		11,24	9,66	11,57	9,60	10,59	10,39	10,28	11,23	12,70	9,80	9,66	
<b>025 Ph</b>	9,28		11,39	10,94	11,19	11,01	11,20	10,51	10,42	<b>9,25</b>	13,25	9,04	9,66	
<b>026 Qi</b>	12,64	15,13	15,91	15,88	15,31	14,25	14,16	14,00	14,59	14,67	15,10	14,31	14,04	
<b>030 Ps</b>	14,89		13,86	10,51	13,92	12,61	12,36	11,79	12,12	12,54	12,90	12,39	11,92	
<b>033 Qpe</b>	<b>27,14</b>	22,84	<b>24,22</b>	<b>25,30</b>	<b>23,43</b>	23,19	<b>25,88</b>	<b>26,75</b>	<b>24,84</b>		<b>27,04</b>	<b>26,33</b>	<b>28,07</b>	
<b>037 Ppr</b>	<b>8,34</b>		<b>9,30</b>	<b>7,73</b>	10,10	<b>9,02</b>	<b>8,29</b>	<b>6,71</b>	<b>7,51</b>	14,86	<b>6,69</b>	<b>7,77</b>	8,07	
<b>054 Ph</b>							13,70	12,83	13,27	10,05	14,38	10,94	9,62	
<b>102 Ppr</b>	11,59		13,71				12,75	12,60	12,29	12,88	14,74	12,22	11,50	
<b>115 Fs</b>	26,64	<b>26,60</b>	<b>24,22</b>	24,35	22,44	<b>23,42</b>	23,42	26,54	24,70		24,36	23,21	23,70	





**FIG 32:** Contenido en nitrógeno hojas/acículas. Valores medios por parcela serie histórica 1995-2000 y campaña 2019-2020

### 6.3.3. Azufre.

**TABLA 23:** Caracterización contenido en azufre (mg/g MS). Media anual de las medidas evaluadas y campaña de muestreo.

Parcela	Campaña de Muestreo														
	95-96	97-98	99-00	01-02	03-04	05-06	07-08	09-10	11-12	13-14	15-16	17-18	19-20	21-22	
<b>005 Ps</b>	1,15		0,93	1,00	1,21	1,10	1,22	1,19	1,17	0,97	1,14	0,94	0,76	0,52	
<b>006 Qi</b>	1,39	1,20	1,16	1,36	1,48	1,46	1,14	1,29	1,29	1,04	1,34	0,99	1,21	0,42	
<b>007 Qi</b>										1,01	0,94	0,90	0,81	0,38	
<b>010 Ppa</b>	<b>0,83</b>		1,22	1,11	1,16	1,26	1,23	1,12	1,18	1,10	1,14	0,62	<b>0,65</b>	<b>0,30</b>	
<b>011 Qs</b>	1,08		1,07	0,99	1,07	1,33	1,18	1,28	1,19	1,03	1,11	0,87	0,95	0,36	
<b>022 Pn</b>	1,03		0,87	0,91	<b>0,92</b>	0,96	<b>0,91</b>	1,27	1,08	0,91	0,99	0,62	0,88	0,30	
<b>025 Ph</b>	1,10		1,54	1,43	1,61	1,39	1,48	<b>1,77</b>	1,57	<b>1,35</b>	<b>1,75</b>	1,13	1,31	0,80	
<b>026 Qi</b>	0,92	<b>1,04</b>	1,20	<b>1,15</b>	1,14	1,13	1,22	1,32	1,14	0,97	1,14	0,93	0,89	0,48	
<b>030 Ps</b>	1,05		0,98	0,95	0,96	1,04	1,27	1,20	1,13	1,08	0,95	0,94	0,96	0,40	
<b>033 Qpe</b>	1,90	1,61	1,68	<b>1,70</b>	<b>1,67</b>	<b>1,61</b>	1,69	1,68	1,69		1,74	<b>1,88</b>	<b>2,09</b>	0,71	
<b>037 Ppr</b>	0,86		<b>0,77</b>	<b>0,88</b>	0,96	<b>0,91</b>	1,28	<b>0,96</b>	<b>1,00</b>	0,93	<b>0,70</b>	<b>0,47</b>	0,89	0,35	
<b>054 Ph</b>							<b>2,17</b>	1,41	<b>1,79</b>	1,08	1,44	1,16	1,38	<b>1,34</b>	
<b>102 Ppr</b>	1,02		1,09					1,59	1,29	1,36	<b>0,86</b>	0,92	0,78	1,31	0,42
<b>115 Fs</b>	<b>1,94</b>	<b>1,72</b>	<b>1,70</b>	1,68	1,40	1,58	1,49	1,67	1,65		1,44	1,61	1,67	0,62	

Con fondo amarillo se señala la superación de los valores de referencia de contenido en azufre para cada especie forestal, lo que indica incidencia de la contaminación atmosférica por compuestos sulfurosos. Fuente: (2001) Peña Martínez, J.M. *El Estudio del Impacto de la Contaminación Atmosférica en los Bosques. Ministerio de Medio Ambiente. Dirección General de Conservación de la Naturaleza. Serie técnica. No se dispone de valores para Quercus petraea y Fagus sylvatica.*

## ANALISIS FOLIAR - S med (mg/g MS) - Red 1995-2022

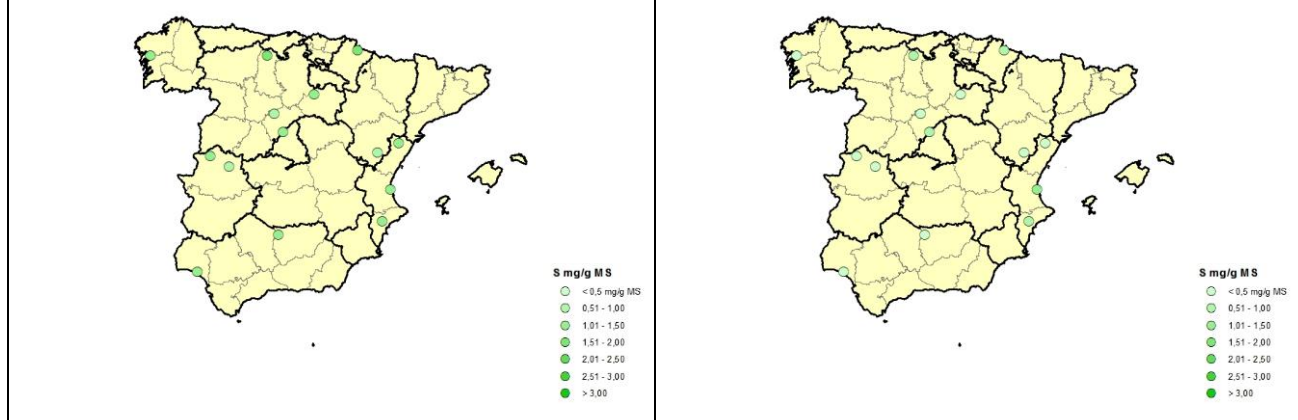
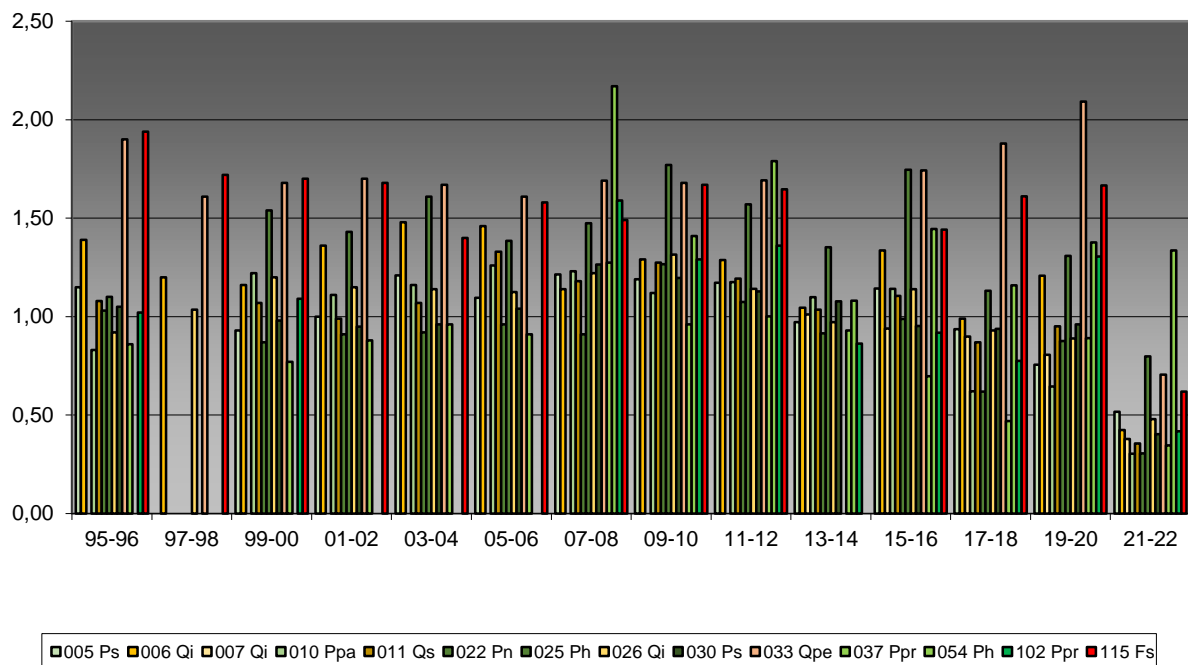


FIG 33: Contenido en azufre hojas/acículas. Valores medios por parcela serie histórica 1995-2000 y campaña 2021-2022

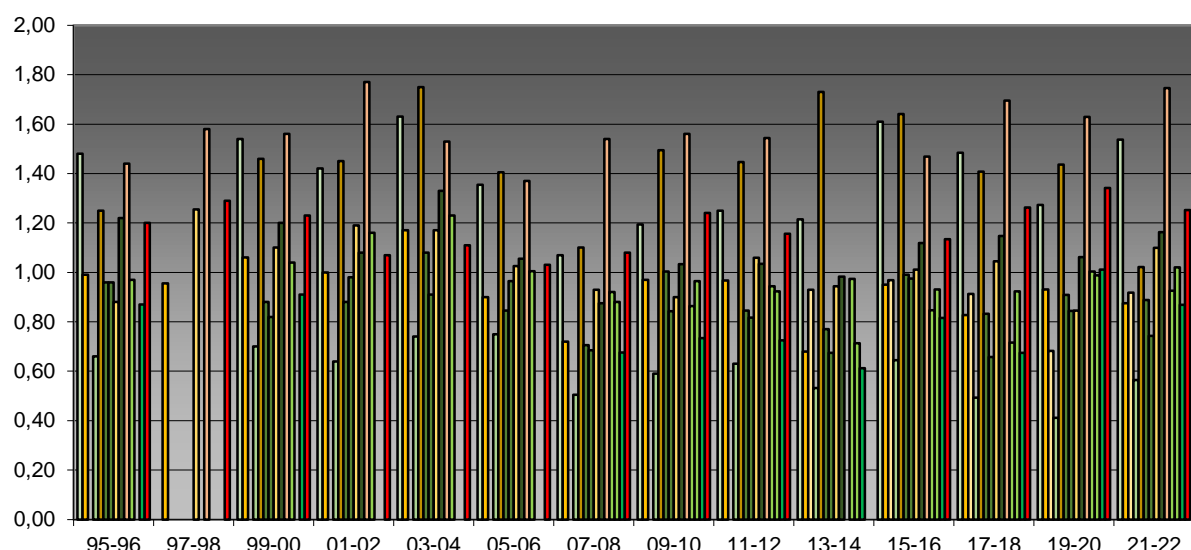
## 6.3.4. Fósforo.

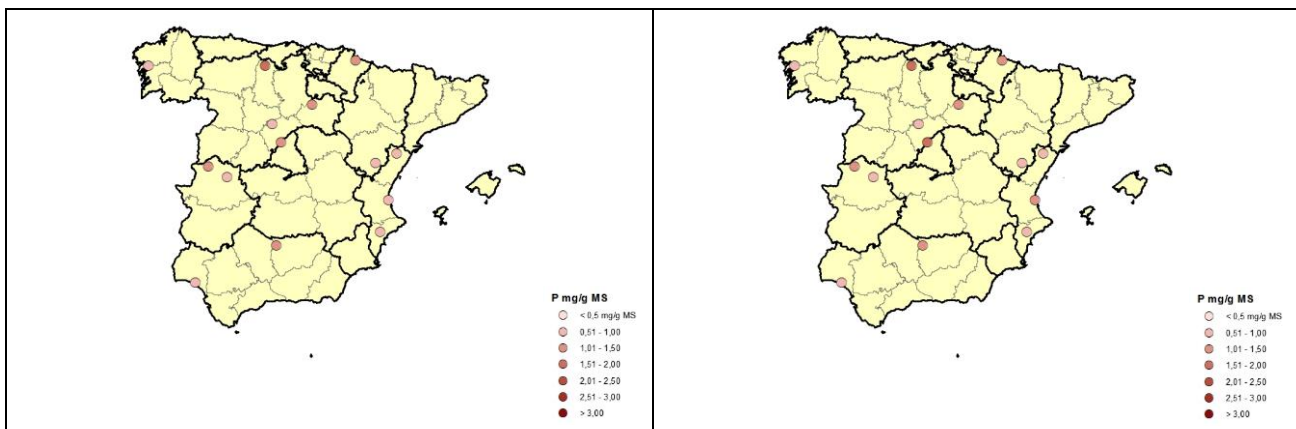
TABLA 24: Caracterización contenido en fósforo (mg/g MS). Media anual de las medidas evaluadas y campaña de muestreo

Parcela	Campaña de Muestreo													
	95-96	97-98	99-00	01-02	03-04	05-06	07-08	09-10	11-12	13-14	15-16	17-18	19-20	21-22
005 Ps	1,48		1,54	1,42	1,63	1,36	1,07	1,19	1,25	1,21	1,61	1,48	1,27	1,54
006 Qi	0,99	0,96	1,06	1,00	1,17	0,90	0,72	0,97	0,97	0,68	0,95	0,83	0,93	0,87
007 Qi										0,93	0,97	0,91	0,68	0,92

Parcela	Campaña de Muestreo														
	95-96	97-98	99-00	01-02	03-04	05-06	07-08	09-10	11-12	13-14	15-16	17-18	19-20	21-22	
<b>010 Ppa</b>	<b>0,66</b>		<b>0,70</b>	<b>0,64</b>	<b>0,74</b>	<b>0,75</b>	<b>0,51</b>	<b>0,59</b>	<b>0,63</b>	<b>0,53</b>	<b>0,64</b>	<b>0,49</b>	<b>0,41</b>	<b>0,56</b>	
<b>011 Qs</b>	1,25		1,46	1,45	<b>1,75</b>	<b>1,41</b>	1,10	1,50	1,45	<b>1,73</b>	<b>1,64</b>	1,41	1,44	1,02	
<b>022 Pn</b>	0,96		0,88	0,88	1,08	0,85	0,71	1,00	0,85	0,77	0,99	0,83	0,91	0,89	
<b>025 Ph</b>	0,96		0,82	0,98	0,91	0,97	0,69	0,84	0,82	0,67	0,97	0,66	0,84	0,74	
<b>026 Qi</b>	0,88	1,26	1,10	1,19	1,17	1,03	0,93	0,90	1,06	0,94	1,01	1,05	0,85	1,10	
<b>030 Ps</b>	1,22		1,20	1,08	1,33	1,06	0,88	1,03	1,03	0,98	1,12	1,15	1,06	1,16	
<b>033 Qpe</b>	1,44	<b>1,58</b>	<b>1,56</b>	<b>1,77</b>	1,53	1,37	<b>1,54</b>	<b>1,56</b>	<b>1,54</b>		1,47	<b>1,69</b>	<b>1,63</b>	<b>1,75</b>	
<b>037 Ppr</b>	0,97		1,04	1,16	1,23	1,01	0,92	0,86	0,94	0,97	0,85	0,72	1,00	0,93	
<b>054 Ph</b>							0,88	0,97	0,92	0,71	0,93	0,92	0,99	1,02	
<b>102 Ppr</b>	0,87		0,91				0,68	0,73	0,73	0,61	0,82	0,67	1,01	0,87	
<b>115 Fs</b>	1,20	1,29	1,23	1,07	1,11	1,03	1,08	1,24	1,16		1,13	1,26	1,34	1,25	

### ANALISIS FOLIAR - P med (mg/g MS) - Red 1995-2022





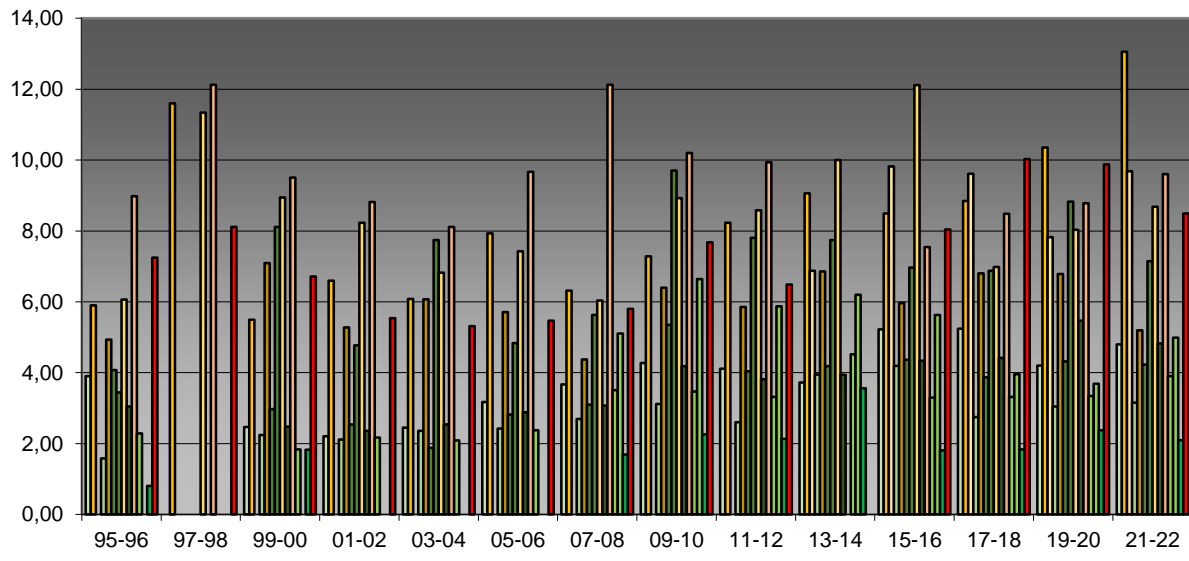
**FIG 34:** Contenido en fósforo hojas/acículas. Valores medios por parcela serie histórica 1995-2000 y campaña 2021-2022

### 6.3.5. Calcio.

**TABLA 25:** Caracterización contenido en calcio (mg/g MS). Media anual de las medidas evaluadas y campaña de muestreo

Parcela	Campaña de Muestreo													
	95-96	97-98	99-00	01-02	03-04	05-06	07-08	09-10	11-12	13-14	15-16	17-18	19-20	21-22
<b>005 Ps</b>	3,90		2,47	2,21	2,45	3,18	3,67	4,28	4,11	3,73	5,22	5,24	4,20	4,80
<b>006 Qi</b>	5,90	11,60	5,49	6,60	6,08	7,93	6,32	7,28	8,23	9,06	8,50	8,85	<b>10,35</b>	<b>13,05</b>
<b>007 Qi</b>										6,87	9,82	9,61	7,82	9,69
<b>010 Ppa</b>	1,58		2,24	<b>2,12</b>	2,36	2,43	2,70	3,12	2,60	3,95	4,19	2,74	3,04	3,15
<b>011 Qs</b>	4,93		7,09	5,28	6,07	5,71	4,37	6,40	5,86	6,86	5,96	6,81	6,79	5,19
<b>022 Pn</b>	4,08		2,97	2,54	<b>1,88</b>	2,82	3,10	5,35	4,04	4,18	4,36	3,87	4,32	4,23
<b>025 Ph</b>	3,44		8,11	4,77	7,74	4,84	5,63	9,70	7,81	7,75	6,97	6,87	8,83	7,15
<b>026 Qi</b>	6,06	11,34	8,94	8,23	6,82	7,43	6,04	8,93	8,59	<b>10,00</b>	<b>12,11</b>	6,99	8,03	8,68
<b>030 Ps</b>	3,05		2,48	2,36	2,54	2,88	3,08	4,18	3,82	3,94	4,34	4,42	5,47	4,82
<b>033 Qpe</b>	<b>8,98</b>	<b>12,12</b>	<b>9,50</b>	<b>8,82</b>	<b>8,11</b>	<b>9,67</b>	<b>12,12</b>	<b>10,20</b>	<b>9,94</b>		7,54	8,48	8,78	9,61
<b>037 Ppr</b>	2,29		1,84	2,17	2,09	<b>2,38</b>	3,51	3,47	3,32	4,52	3,30	3,32	3,34	3,90
<b>054 Ph</b>							5,11	6,65	5,88	6,20	5,63	3,96	3,69	4,99
<b>102 Ppr</b>	<b>0,81</b>		<b>1,83</b>				<b>1,69</b>	<b>2,26</b>	<b>2,13</b>	<b>3,56</b>	<b>1,81</b>	<b>1,83</b>	<b>2,38</b>	<b>2,10</b>
<b>115 Fs</b>	7,25	<b>8,11</b>	6,71	5,54	5,31	5,47	5,80	7,68	6,48		8,04	<b>10,02</b>	9,88	8,49

## ANALISIS FOLIAR - Ca med (mg/g MS) - Red 1995-2022



■ 005 Ps ■ 006 Qi ■ 007 Qi ■ 010 Ppa ■ 011 Qs ■ 022 Pn ■ 025 Ph ■ 026 Qi ■ 030 Ps ■ 033 Qpe ■ 037 Ppr ■ 054 Ph ■ 102 Ppr ■ 115 Fs

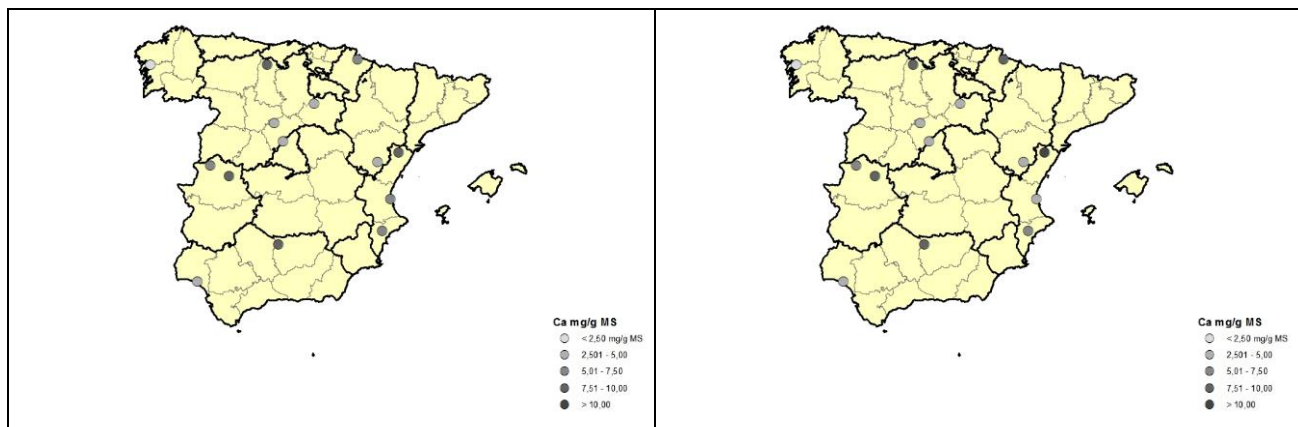


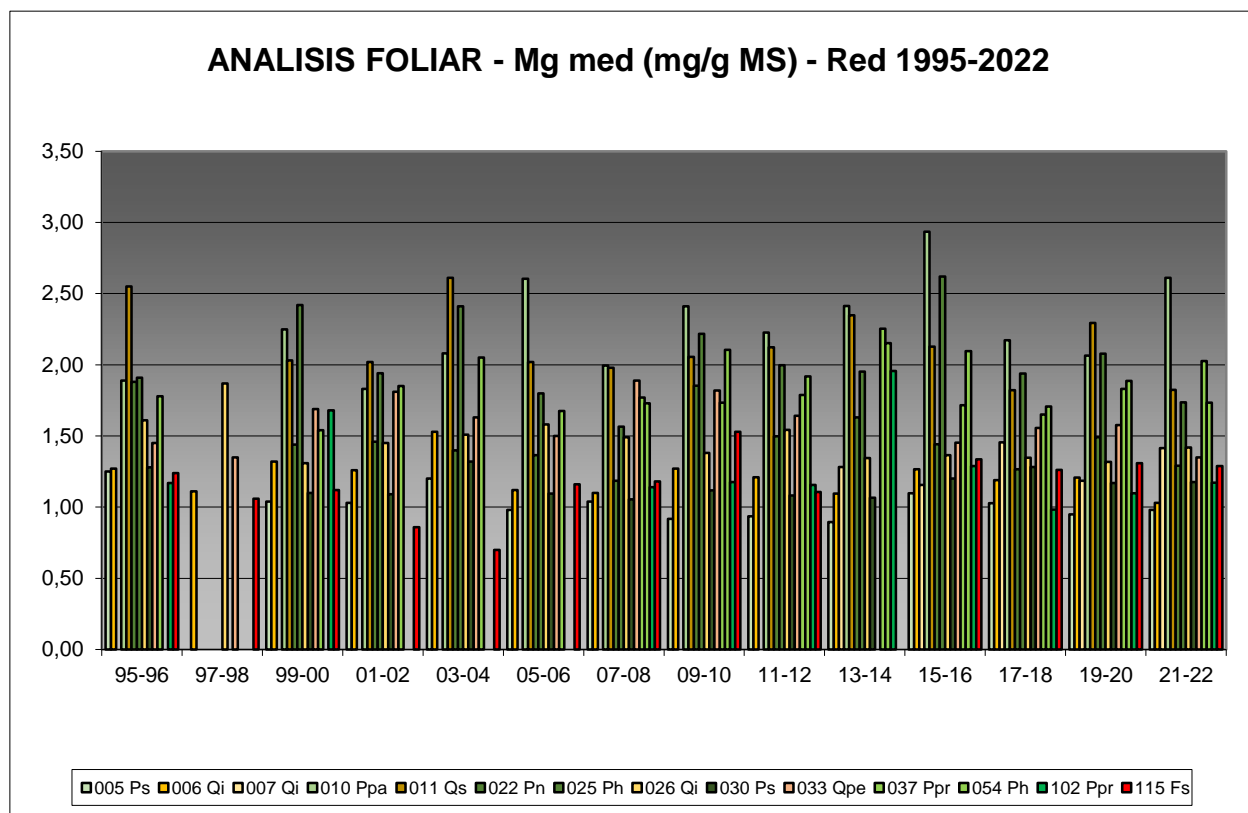
FIG 35: Contenido en calcio hojas/acículas. Valores medios por parcela serie histórica 1995-2000 y campaña 2021-2022.

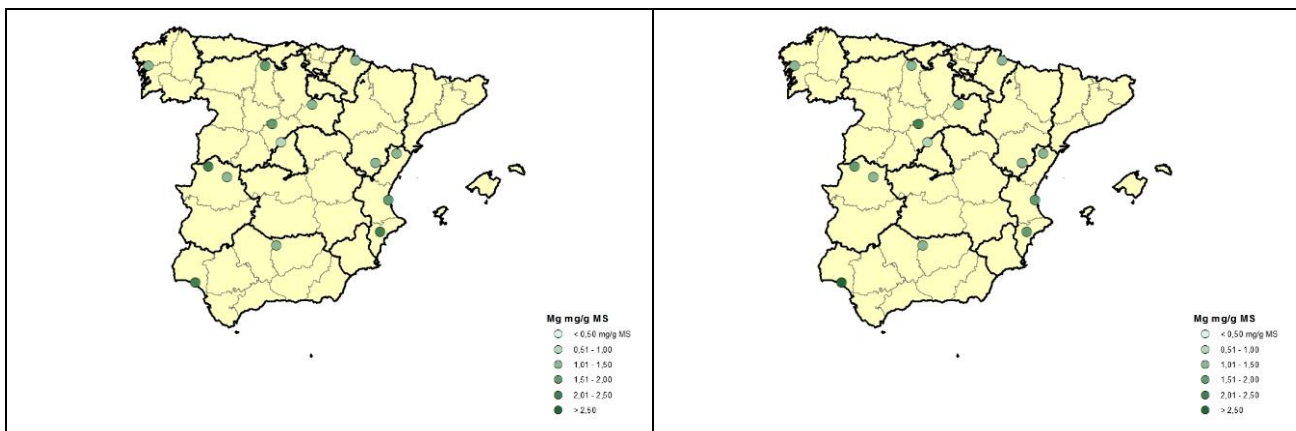
## 6.3.6. Magnesio.

TABLA 25: Caracterización contenido en magnesio (mg/g MS). Media anual de las medidas evaluadas y campaña de muestreo

Parcela	Campaña de Muestreo													
	95-96	97-98	99-00	01-02	03-04	05-06	07-08	09-10	11-12	13-14	15-16	17-18	19-20	21-22
005 Ps	1,25		1,04	1,03	1,20	0,98	1,04	0,92	0,94	0,90	1,10	1,03	0,95	0,98
006 Qi	1,27	1,11	1,32	1,26	1,53	1,12	1,10	1,27	1,21	1,10	1,27	1,19	1,21	1,03

Parcela	Campaña de Muestreo													
	95-96	97-98	99-00	01-02	03-04	05-06	07-08	09-10	11-12	13-14	15-16	17-18	19-20	21-22
<b>007 Qi</b>										1,28	1,16	1,45	1,19	1,41
<b>010 Ppa</b>	1,89		2,25	1,83	2,08	<b>2,61</b>	<b>2,00</b>	<b>2,41</b>	<b>2,23</b>	<b>2,41</b>	<b>2,94</b>	<b>2,17</b>	2,07	<b>2,61</b>
<b>011 Qs</b>	<b>2,55</b>		2,03	<b>2,02</b>	<b>2,61</b>	2,02	1,98	2,06	2,12	2,35	2,13	1,82	<b>2,29</b>	1,82
<b>022 Pn</b>	1,88		1,44	1,46	1,40	1,37	1,19	1,85	1,50	1,63	1,44	1,27	1,49	1,29
<b>025 Ph</b>	1,91		<b>2,42</b>	1,94	2,41	1,80	1,57	2,22	2,00	1,95	2,62	1,94	2,08	1,74
<b>026 Qi</b>	1,61	<b>1,87</b>	1,31	1,45	1,51	1,58	1,49	1,38	1,54	1,35	1,36	1,35	1,32	1,42
<b>030 Ps</b>	1,28		1,10	1,09	1,32	1,10	1,06	1,12	1,08	1,07	1,20	1,28	1,17	1,18
<b>033 Qpe</b>	1,45	1,35	1,69	1,81	1,63	1,50	1,89	1,82	1,64		1,45	1,56	1,58	1,35
<b>037 Ppr</b>	1,78		1,54	1,85	2,05	1,68	1,77	1,73	1,79	2,25	1,72	1,65	1,83	2,03
<b>054 Ph</b>							1,73	2,11	1,92	2,15	2,10	1,71	1,89	1,73
<b>102 Ppr</b>	<b>1,17</b>		1,68				1,14	1,18	1,16	1,96	1,29	<b>0,98</b>	1,10	1,17
<b>115 Fs</b>	1,24	<b>1,06</b>	1,12	<b>0,86</b>	<b>0,70</b>	1,16	1,18	1,53	1,11		1,34	1,26	1,31	1,29





### 6.3.7. Potasio.

TABLA 26: Caracterización contenido en potasio (mg/g MS). Media anual de las medidas evaluadas y campaña de muestreo

Parcela	Campaña de Muestreo													
	95-96	97-98	99-00	01-02	03-04	05-06	07-08	09-10	11-12	13-14	15-16	17-18	19-20	21-22
<b>005 Ps</b>	6,06		6,37	6,00	6,38	6,35	3,97	3,83	4,62	4,66	6,26	6,08	5,18	5,78
<b>006 Qi</b>	6,40	6,35	5,69	5,76	6,75	5,75	5,92	6,17	6,11	<b>6,49</b>	6,45	5,87	4,62	5,23
<b>007 Qi</b>										5,44	4,19	3,96	3,03	3,83
<b>010 Ppa</b>	5,40		3,82	4,10	4,64	5,16	4,88	4,18	4,59	5,45	4,66	4,22	3,55	5,01
<b>011 Qs</b>	7,59		4,44	5,13	5,18	5,12	4,40	4,36	5,00	5,93	5,37	4,88	5,28	6,43
<b>022 Pn</b>	4,62		4,37	<b>3,90</b>	4,78	4,65	3,79	5,62	4,43	3,48	5,05	4,34	4,41	4,82
<b>025 Ph</b>	5,85		<b>3,14</b>	4,17	<b>3,42</b>	4,31	3,54	3,39	3,57	2,89	3,92	2,60	3,32	<b>2,24</b>
<b>026 Qi</b>	7,26	<b>3,82</b>	4,58	4,39	4,37	4,17	4,29	3,64	4,28	5,33	3,78	4,46	4,42	4,11
<b>030 Ps</b>	5,65		6,86	5,74	5,82	5,14	5,04	5,38	5,28	4,45	6,14	6,70	5,65	6,14
<b>033 Qpe</b>	<b>10,42</b>	<b>13,95</b>	<b>9,35</b>	<b>12,81</b>	<b>10,70</b>	<b>10,71</b>	<b>10,36</b>	<b>11,66</b>	<b>11,25</b>		<b>10,00</b>	<b>12,87</b>	<b>11,08</b>	<b>11,08</b>
<b>037 Ppr</b>	<b>3,25</b>		3,36	4,39	4,67	<b>3,27</b>	<b>2,84</b>	<b>2,21</b>	<b>2,73</b>	<b>2,52</b>	<b>2,36</b>	<b>2,13</b>	<b>2,64</b>	2,62
<b>054 Ph</b>							3,79	3,67	3,73	3,13	3,64	3,96	5,43	3,53
<b>102 Ppr</b>	5,03		5,69				3,65	3,51	3,69	4,01	4,44	4,24	4,97	5,85
<b>115 Fs</b>	7,90	10,09	8,79	8,44	8,95	8,12	8,71	8,60	8,70		7,35	8,50	8,00	6,73

## ANALISIS FOLIAR - K med (mg/g MS) - Red 1995-2022

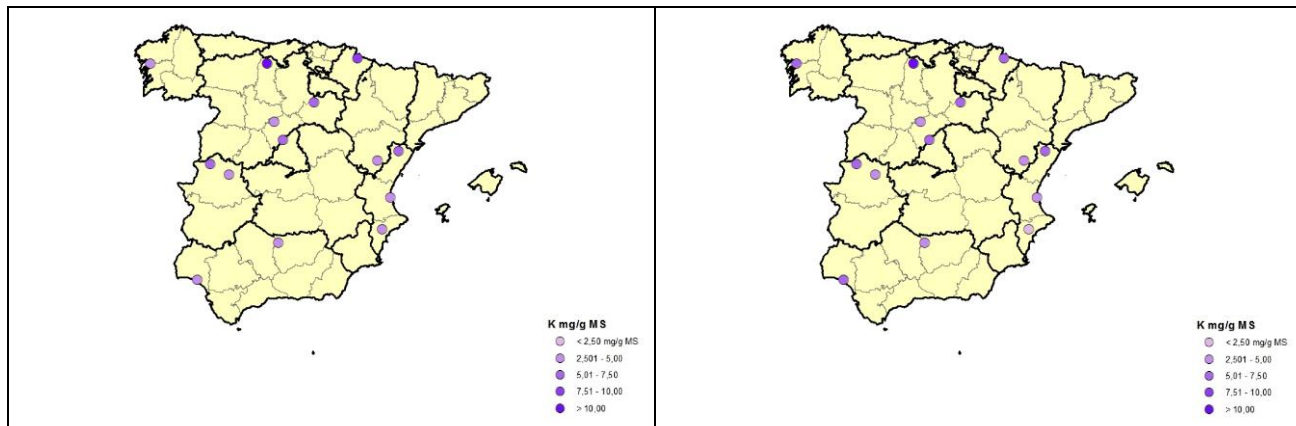
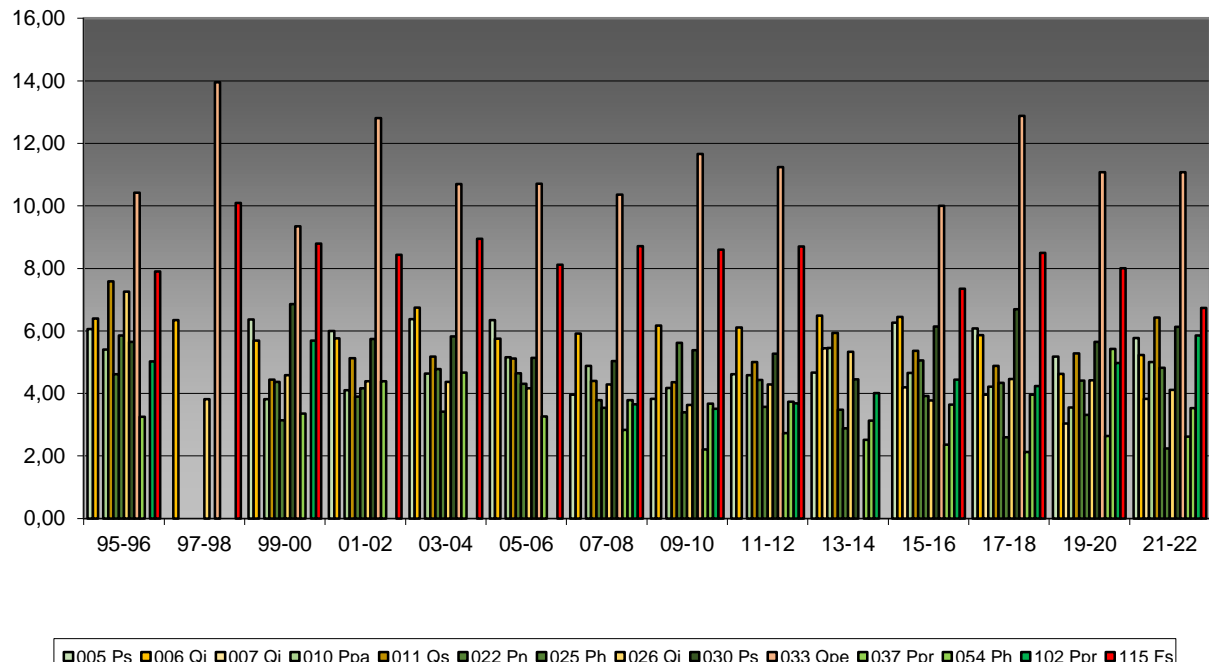


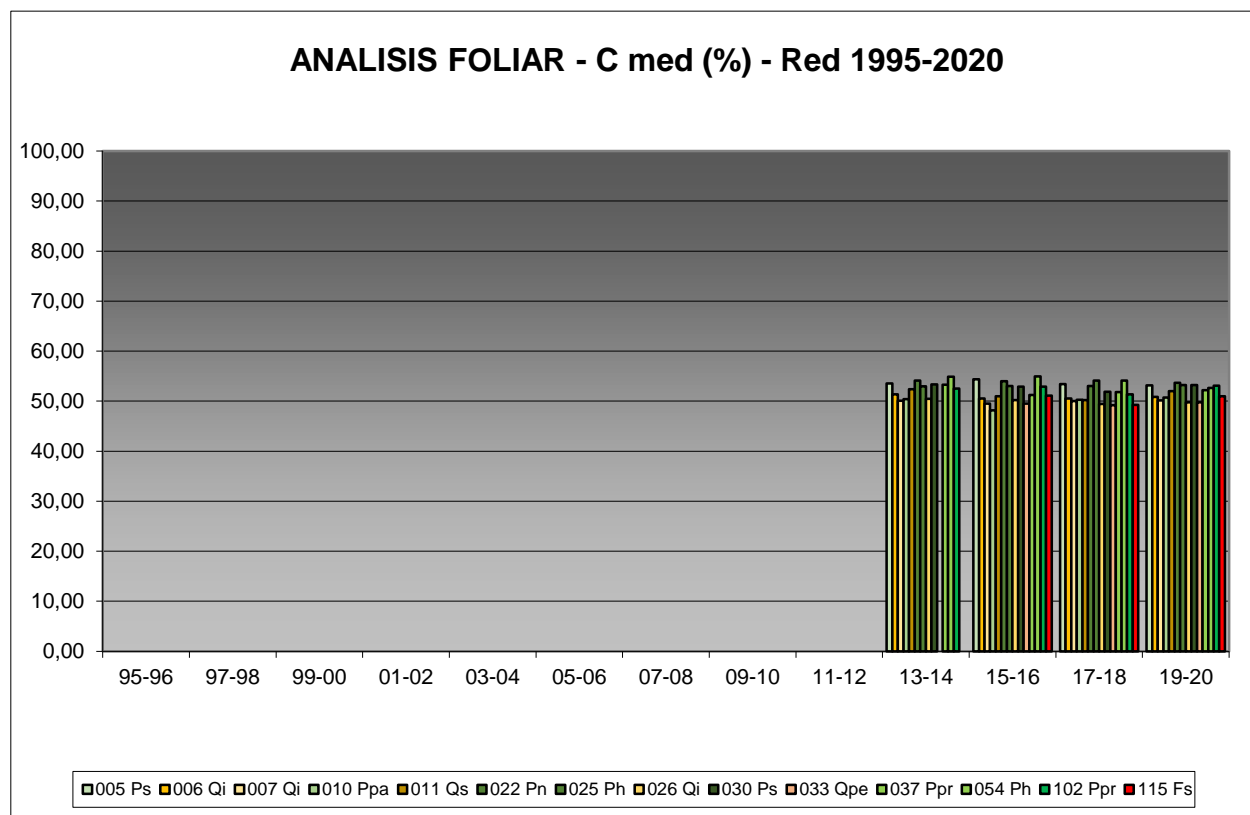
FIG 36: Contenido en potasio hojas/acículas. Valores medios por parcela serie histórica 1995-2000 y campaña 2021-2022.

## 6.3.8. Carbono.

TABLA 27: Caracterización contenido en carbono (%). Media anual de las medidas evaluadas y campaña de muestreo

Parcela	Campaña de Muestreo													
	95-96	97-98	99-00	01-02	03-04	05-06	07-08	09-10	11-12	13-14	15-16	17-18	19-20	
005 Ps											53,52	54,34	53,39	53,13
006 Qi											51,34	50,52	50,54	50,87
007 Qi											50,06	49,49	49,99	50,11

Parcela	Campaña de Muestreo												
	95-96	97-98	99-00	01-02	03-04	05-06	07-08	09-10	11-12	13-14	15-16	17-18	19-20
010 Ppa										50,41	48,16	50,29	50,73
011 Qs										52,40	50,96	50,23	51,99
022 Pn										54,12	54,01	53,05	53,64
025 Ph										52,98	53,04	54,10	53,21
026 Qi										50,48	50,22	49,43	49,75
030 Ps										53,37	52,90	51,88	53,19
033 Qpe											49,48	49,19	49,75
037 Ppr										53,28	51,26	51,83	52,19
054 Ph										54,86	54,95	54,11	52,61
102 Ppr										52,48	52,91	51,34	53,06
115 Fs										51,08	49,22	50,97	



**FIG 37:** Contenido en carbono hojas/acículas. Valores medios por parcela serie histórica 1995-2020 y campaña 2019-2020.

#### 6.4. Interpretación de resultados.

En cuanto a los análisis foliares efectuados, cabe concluir:

1. El **peso seco** ha alcanzado sus mayores valores en las parcelas pobladas por pino negral: 102Ppr y 37Ppr parcelas en las que se experimenta un cierto crecimiento a lo largo de los últimos años, tal

como ocurre también en 10pa, mientras que los valores menores se dan en los encinares, poblados por las parcelas 06Qi, 07Qi y 26Qi, en un patrón ya advertido en revisiones anteriores.

2. En cuanto a los contenidos en **nitrógeno**, los mayores niveles se han encontrado en las parcelas pobladas por caducifolias, sobre todo 33Qpe y en menor medida 115Fs, mientras que las menores tasas han correspondido a la parcela 37Ppr, continuando con la tendencia ya apuntada en el periodo anterior. Al igual que en la campaña previa, se ha observado una reducción en las tasas de este elemento.
3. Los contenidos en **azufre** se han reducido en todos los casos durante la última campaña, de forma que apenas se han sobrepasado los valores patrón o de referencia para las distintas especies, contrariamente a lo que sucedía en campañas anteriores. Los mayores valores se han obtenido en 54Ph, única parcela en la que se supera el umbral de 1 mg/g. Atendiendo a la serie histórica, tradicionalmente se han obtenido los mayores niveles en las parcelas pobladas por frondosas caducifolias, tendencia esta que va abandonándose a lo largo de los últimos años para adoptar un comportamiento más difuso.
4. Los mayores niveles en **fósforo** se han encontrado en las parcelas pobladas por *Quercus petraea* y *Quercus suber* y en menor medida *Pinus sylvestris*, mientras que tradicionalmente los menores contenidos se han venido registrando en 10Ppa. Por regla general, se advierte también una reducción en el contenido de este nutriente a lo largo de las últimas campañas y resultados muy similares a los habidos durante la revisión previa.
5. Los contenidos en **calcio**, tradicionalmente mayores en 33Qpe, se han visto superados a lo largo de la última campaña por los obtenidos en 06Qi, en una tendencia ya apuntada en la revisión anterior. Se han obtenido incrementos de este elemento en todas las parcelas pobladas por encinas, en 33Qpe y 54Ph, mientras que se reduce en 11Qs, 25Ph y 115Fs. Como en anteriores campañas, en el pino negral se han obtenido contenidos comparativamente bajos.
6. Por lo que respecta al **magnesio**, se han venido observando las mayores tasas en el pino piñonero mientras los mínimos tienden a apreciarse sobre el pino silvestre, tendencia esta que continúa observándose durante la presente revisión. Apenas se han registrado variaciones a lo largo de la última campaña fuera de un ligero incremento de los valores correspondientes al pino piñonero y una pequeña reducción en el alcornoque.
7. Las concentraciones de **potasio** presentan un patrón de distribución muy marcado: máximos en las parcelas pobladas por frondosas caducifolias como haya y roble y menos contenido en pino negral.
8. Por último, y en lo que respecta al contenido en **carbono**, no se han encontrado grandes diferencias entre las distintas especies, oscilando en torno al 50% del contenido total, siendo este elemento de nueva medición a partir de 2014. Parece ir confirmándose 54Ph como la parcela en el que los contenidos son mayores.

## 7. Desfronde

El desfronde o litterfall; fracción de follaje, ramillas finas, flores, frutos, líquenes,... que caen del arbolado al suelo, es un parámetros clave en los ciclos biogeoquímicos de los ecosistemas forestales, al enlazar la cubierta arbórea con el suelo y los movimientos de agua, y es uno de los parámetros necesarios para cuantificar el retorno anual de elementos y materia orgánica al suelo. La descomposición del desfronde es la vía principal de flujo de nutrientes, determina el aporte de materia orgánica al suelo y juega un

importante papel en la productividad forestal y el contenido nutricional del suelo, así como incide considerablemente en la capacidad de fijación de carbono atmosférico.

Tanto factores naturales como antropogénicos, tales como el cambio climático, influyen en la producción de desfronde y su evolución estacional. Los cambios causados en el litterfall responden a perturbaciones causadas por agentes bióticos, tales como las plagas, así como a otros factores como la sequía, heladas, viento o contaminación atmosférica.

La producción de desfronde es un parámetro cuantitativo de la vitalidad del arbolado y aporta información adicional a la obtenida visualmente, así como constituye un importante factor de diagnóstico fenológico del mismo.

El desfronde se toma en campo sobre colectores normalizados de 1 m<sup>2</sup> de superficie que se muestrea con periodicidad mensual. Al igual que en los casos anteriores y con el objetivo de caracterizar los resultados habidos en el año, se han comparado con los habidos en el periodo 2005-2021. Debe tenerse en cuenta que durante 2014 se ha muestreado el periodo mayo-diciembre.

**TABLA 28:** Caracterización desfronde. Periodo 2005-2021 y 2022.

Año	PERIODO 2005-2021								
	Fracción	Peso (kg/ha)	C (%)	N (mg/g)	S (mg/g)	P (mg/g)	Ca (mg/g)	Mg (mg/g)	K (mg/g)
005 Ps	Hojas	3.521	52,94	9,80	0,83	0,77	5,75	1,00	2,62
	Ramillas	533	54,36	9,14	0,92	0,55	4,38	0,91	1,65
	Otras	2.672	52,78	9,09	0,89	0,78	4,77	0,88	2,07
006 Qi	Hojas	3.358	50,59	11,45	1,11	0,60	15,82	1,61	5,36
	Ramillas	1.522	48,99	8,40	0,85	0,50	29,60	3,79	3,83
	Otras	1.521	48,88	15,26	1,26	1,05	11,98	2,47	5,64
007 Qi	Hojas	1.780	49,89	9,64	0,96	0,79	13,45	1,23	3,33
	Ramillas	1.009							
	Otras	1.479	47,82	15,59	1,17	1,16	6,71	1,36	6,57
010 Ppa	Hojas	3.413	51,28	5,31	0,95	0,43	4,26	2,43	3,31
	Ramillas	310	53,77	4,80	0,89	0,50	5,92	1,17	1,21
	Otras	1.259	52,10	6,26	0,95	0,46	5,72	1,34	1,83
011 Qs	Hojas	2.472	52,02	6,36	0,78	1,02	8,20	2,06	4,09
	Ramillas	455	52,13	5,65	0,69	0,96	11,91	2,07	4,54
	Otras	746	49,74	16,41	1,25	1,69	8,48	1,98	7,20
022 Pn	Hojas	1.779	54,34	6,15	0,79	0,42	6,17	1,36	2,35
	Ramillas	338	53,62	5,08	0,76	0,19	10,40	1,31	0,71
	Otras	1.008	52,49	7,35	0,93	0,49	6,42	0,83	1,28
025 Ph	Hojas	1.090	53,35	6,08	1,09	0,34	9,75	1,94	1,33
	Ramillas	110	51,56	4,67	0,64	0,28	13,88	2,18	1,27
	Otras	478	49,58	7,21	0,90	0,48	16,42	2,08	1,93
026 Qi	Hojas	1.417	50,77	9,74	0,84	0,66	9,70	1,35	2,91
	Ramillas	436	50,44	8,28	0,62	0,80	17,38	2,01	3,68
	Otras	747	48,87	17,22	1,26	1,09	8,56	1,54	4,27
030 Ps	Hojas	1.704	53,49	6,06	0,80	0,36	7,52	1,02	2,13
	Ramillas	461	54,28	5,82	0,70	0,25	4,63	0,69	1,06
	Otras	1.389	52,96	6,33	0,66	0,41	6,23	0,67	1,23
033Qpe	Hojas	2.856	51,18	16,20	1,18	0,86	7,70	1,56	4,90
	Ramillas	765	52,24	6,31	0,46	0,36	4,87	0,83	1,80
	Otras	793	51,03	13,31	1,02	0,93	8,26	1,33	3,36

Año	PERIODO 2005-2021								
	Fracción	Peso (kg/ha)	C (%)	N (mg/g)	S (mg/g)	P (mg/g)	Ca (mg/g)	Mg (mg/g)	K (mg/g)
037 Ppr	Hojas	2.001	53,36	4,87	0,78	0,64	6,21	2,19	1,29
	Ramillas	391	52,94	6,84	0,80	0,38	10,69	2,91	0,95
	Otras	1.062	52,03	9,96	1,06	1,13	7,83	1,79	4,05
054 Ph	Hojas	2.994	54,32	9,88	1,33	0,60	7,50	2,15	2,35
	Ramillas	475	53,37	10,40	1,42	0,80	12,98	3,06	1,98
	Otras	1.793	52,09	9,61	1,13	1,09	12,99	2,01	2,55
102 Ppr	Hojas	3.337	53,69	8,14	0,88	0,39	2,89	1,21	1,73
	Ramillas	724	56,32	8,15	1,05	0,32	2,14	0,74	0,67
	Otras	2.494	54,12	10,19	1,15	0,60	1,62	0,84	1,26
115 Fs	Hojas	3.024	52,14	16,91	1,23	0,86	9,40	1,48	4,24
	Ramillas	424	53,69	9,14	0,79	0,36	6,80	0,98	0,99
	Otras	1.328	50,08	16,67	1,27	0,94	6,14	1,40	2,75

Año	PERIODO 2005-2021								
	Fracción	Zn (µg/g)	Mn (µg/g)	Fe (µg/g)	Cu (µg/g)	Pb (µg/g)	Co (µg/g)	Ni (µg/g)	Cd (ng/g)
005 Ps	Hojas	318,80	789,84	115,97	3,17	0,75	0,24	0,82	197,26
	Ramillas								
	Otras	26,74	407,03	385,60	7,54				
006 Qi	Hojas	40,48	152,82	196,22	4,46	0,41	0,07	0,51	13,49
	Ramillas								
	Otras	19,11	53,73	281,89	10,11				
007 Qi	Hojas	22,70	1091,17	196,40	3,23	0,65	0,12	1,32	41,29
	Ramillas								
	Otras	23,03	352,78	339,37	7,51				
010 Ppa	Hojas	16,48	184,02	140,29	4,48	1,28	0,31	0,99	33,69
	Ramillas								
	Otras	30,14	73,25	716,64	8,12				
011 Qs	Hojas	14,68	1021,53	133,14	3,61	0,58	0,19	2,51	20,75
	Ramillas								
	Otras	26,29	179,97	534,88	6,82				
022 Pn	Hojas	38,08	249,17	212,19	1,96	0,69	0,10	0,54	45,22
	Ramillas								
	Otras	29,68	202,26	561,68	7,86				
025 Ph	Hojas	18,52	5,93	228,97	1,75	0,49	0,06	0,41	17,05
	Ramillas								
	Otras	33,66	495,87	622,41	6,16				
026Qi	Hojas	34,99	882,29	226,69	4,68	1,10	0,15	1,02	48,43
	Ramillas								
	Otras	698,96	231,29	193,41	6,02				
030Ps	Hojas	49,31	542,66	152,73	1,66	0,56	0,15	0,53	96,29
	Ramillas								
	Otras	22,06	84,52	196,92	9,46				
033Qpe	Hojas	20,44	4117,21	102,56	7,12	2,03	0,11	8,12	33,29
	Ramillas								
	Otras	21,76	1364,94	191,94	7,17				
037Ppr	Hojas	11,45	95,07	92,28	1,11	0,42	0,08	0,38	89,37
	Ramillas								
	Otras	33,34	498,45	189,54	4,48				

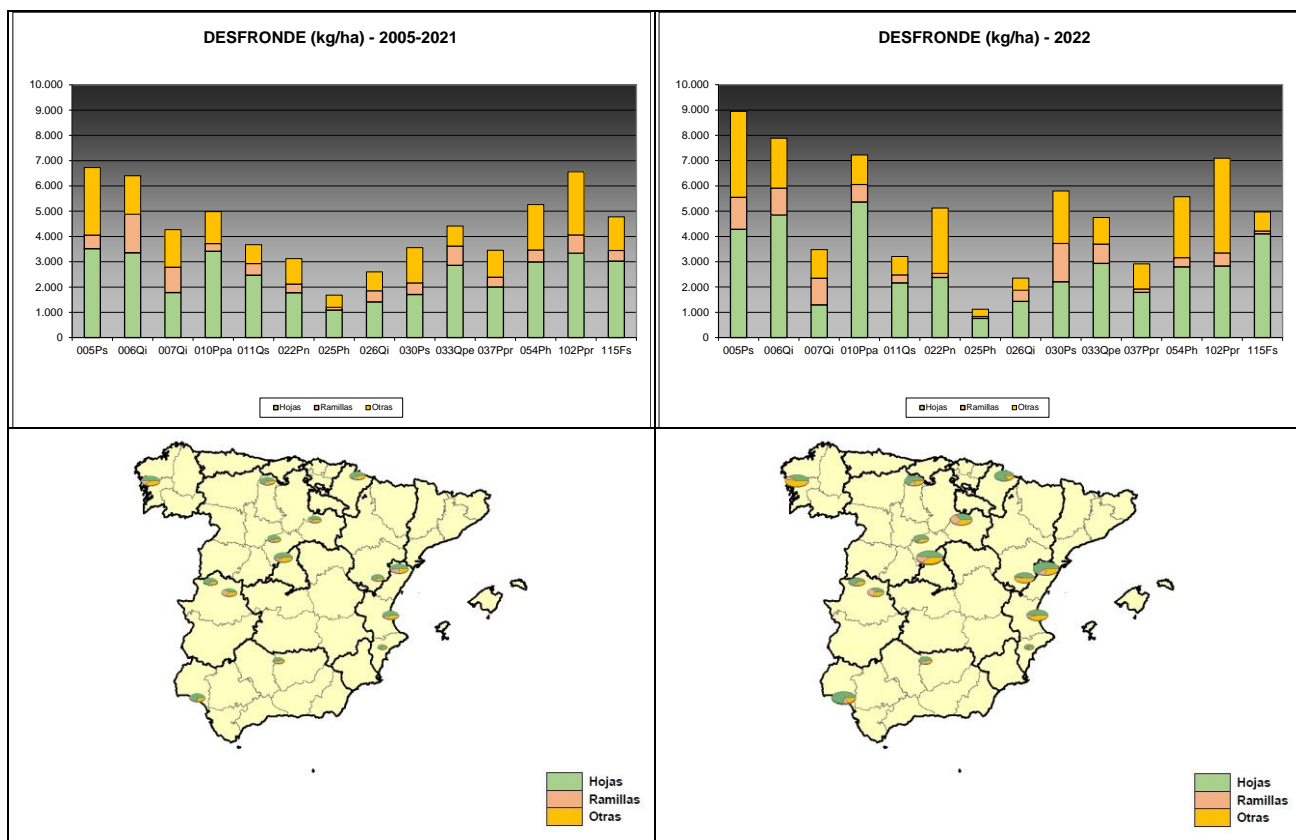
Año	PERIODO 2005-2021								
	Fracción	Zn ( $\mu\text{g/g}$ )	Mn ( $\mu\text{g/g}$ )	Fe ( $\mu\text{g/g}$ )	Cu ( $\mu\text{g/g}$ )	Pb ( $\mu\text{g/g}$ )	Co ( $\mu\text{g/g}$ )	Ni ( $\mu\text{g/g}$ )	Cd ( $\text{ng/g}$ )
054Ph	Hojas	117,23	24,88	176,41	8,36	0,76	0,07	0,16	18,28
	Ramillas								
	Otras	741,05	16,10	698,81	4,69				
102Ppr	Hojas	48,56	197,35	75,00	2,27	0,61	0,27	0,44	68,59
	Ramillas								
	Otras	31,11	58,02	325,05	7,15				
115Fs	Hojas	52,77	1071,02	166,05	6,54	4,78	0,13	1,72	87,89
	Ramillas								
	Otras	25,45	447,98	516,63	8,49				

Año	PERIODO 2022								
	Fracción	Peso (kg/ha)	C (%)	N (mg/g)	S (mg/g)	P (mg/g)	Ca (mg/g)	Mg (mg/g)	K (mg/g)
005 Ps	Hojas	4.279	52,83	9,26	1,30	0,90	6,72	0,97	2,93
	Ramillas	1.274							
	Otras	3.393							
006 Qi	Hojas	4.844	50,37	10,58	1,55	0,66	19,34	0,89	5,69
	Ramillas	1.067							
	Otras	1.970							
007 Qi	Hojas	1.298	50,12	9,23	1,56	0,78	16,51	1,04	4,17
	Ramillas	1.054							
	Otras	1.127							
010 Ppa	Hojas	5.361	50,65	5,48	1,48	0,28	4,63	2,54	3,82
	Ramillas	696							
	Otras	1.165							
011 Qs	Hojas	2.164	51,03	6,79	1,50	0,64	9,52	1,59	2,83
	Ramillas	316							
	Otras	724							
022 Pn	Hojas	2.378	54,06	4,68	1,40	0,57	7,03	1,60	3,40
	Ramillas	163							
	Otras	2.580							
025 Ph	Hojas	757	54,16	5,28	1,53	0,52	9,04	1,51	2,26
	Ramillas	75							
	Otras	285							
026 Qi	Hojas	1.430	48,41	8,78	0,75	0,54	9,60	1,12	3,41
	Ramillas	443							
	Otras	481							
030 Ps	Hojas	2.209	48,94	5,16	0,74	0,30	8,52	0,97	2,28
	Ramillas	1.515							
	Otras	2.076							
033Qpe	Hojas	2.932	47,28	12,73	0,90	0,82	6,52	1,37	5,49
	Ramillas	765							
	Otras	1.049							
037 Ppr	Hojas	1.790	52,76	5,26	0,79	0,62	6,92	2,17	1,38
	Ramillas	134							
	Otras	994							
054 Ph	Hojas	2.796	54,08	7,79	0,95	0,64	7,32	1,63	2,12
	Ramillas	365							
	Otras	2.410							

Año	PERIODO 2022								
	Fracción	Peso (kg/ha)	C (%)	N (mg/g)	S (mg/g)	P (mg/g)	Ca (mg/g)	Mg (mg/g)	K (mg/g)
102 Ppr	Hojas	2.830	52,94	6,53	0,84	0,30	2,96	1,33	1,70
	Ramillas	517							
	Otras	3.743							
115 Fs	Hojas	4.105	51,03	13,32	0,93	0,78	10,96	1,18	4,93
	Ramillas	113							
	Otras	748							

Año	PERIODO 2022								
	Fracción	Zn (µg/g)	Mn (µg/g)	Fe (µg/g)	Cu (µg/g)	Pb (µg/g)	Co (µg/g)	Ni (µg/g)	Cd (ng/g)
005 Ps	Hojas	307,33	793,24	272,26	2,79				
	Ramillas								
	Otras								
006 Qi	Hojas	46,58	233,76	291,73	4,25				
	Ramillas								
	Otras								
007 Qi	Hojas	35,37	898,55	303,58	3,62				
	Ramillas								
	Otras								
010 Ppa	Hojas	19,65	115,02	271,92	4,25				
	Ramillas								
	Otras								
011 Qs	Hojas	16,84	519,53	246,35	2,69				
	Ramillas								
	Otras								
022 Pn	Hojas	26,23	494,87	222,88	3,00				
	Ramillas								
	Otras								
025 Ph	Hojas	27,56	324,44	438,78	2,93				
	Ramillas								
	Otras								
026Qi	Hojas	41,43	839,75	409,64	3,34				
	Ramillas								
	Otras								
030Ps	Hojas	52,66	570,05	325,49	3,00				
	Ramillas								
	Otras								
033Qpe	Hojas	15,58	3823,87	148,87	5,49				
	Ramillas								
	Otras								
037Ppr	Hojas	13,44	111,23	168,58	2,13				
	Ramillas								
	Otras								
054Ph	Hojas	125,87	11,25	231,92	1,68				
	Ramillas								
	Otras								
102Ppr	Hojas	21,38	166,79	110,96	1,85				
	Ramillas								
	Otras								

Año	Fracción	PERIODO 2022							
		Zn ( $\mu\text{g/g}$ )	Mn ( $\mu\text{g/g}$ )	Fe ( $\mu\text{g/g}$ )	Cu ( $\mu\text{g/g}$ )	Pb ( $\mu\text{g/g}$ )	Co ( $\mu\text{g/g}$ )	Ni ( $\mu\text{g/g}$ )	Cd ( $\text{ng/g}$ )
115Fs	Hojas	21,13	1008,76	161,90	5,74				
	Ramillas								
	Otras								



**FIG 38:** Desfronde o litterfall. Pesos medios por parcela serie histórica 2005-2021 y año 2022.

1. En cuanto al desfronde o litterfall, cabe hacer constar el importante papel que juega en el conjunto de procesos de entrada/salida del ecosistema, pudiendo llegar a suponer un aporte de más de 8.000 kg/ha y año. Con contenidos en carbono ligeramente superiores al 50% puede llegar a jugar un importante papel en la fijación del CO<sub>2</sub> atmosférico, poniendo nuevamente de manifiesto el papel mitigador de los bosques en el cambio climático, no sólo por lo que a sus fracciones leñosas se refiere.
2. Por regla general, el mayor aporte corresponde a la fracción de hojas/acículas, seguido por el conjunto de líquenes, musgos, flores, frutos,... que forman la fracción “otros” y en menor medida las ramillas de diámetro inferior a 2 cm, que adquieren mayor importancia en las parcelas pobladas por encina, quizás debido a los frecuentes procesos de puntisecado que sufren, tanto por efecto de los insectos perforadores como por fenómenos de dieback o seca.
3. A lo largo del último año se han registrado aportes por lo general superiores a los del periodo anterior, destacando el incremento habido en las parcelas 05Ps, 06Qi, 10Ppa, 22Pn y 30Ps.

### 8. Fenología.

La fenología estudia la relación entre los fenómenos climáticos y las características morfológicas del desarrollo anual de los vegetales. Tras las observaciones de series anuales suficientemente representativas, puede obtenerse una valiosa información sobre la respuesta de la vegetación frente a variaciones climáticas, acrecentar el papel de las especies forestales como bioindicadoras y explicar el estado actual de la vegetación. El conocimiento de las fases fenológicas del arbolado es también una importante herramienta de gestión fitosanitaria de las masas forestales, pues el ciclo biológico y la capacidad de daño de buena parte de las plagas forestales van ligadas al desarrollo de una determinada fase, particularmente en el caso de los insectos defoliadores. Los cambios fenológicos en la vegetación juegan además un importante papel en la modelación del paisaje.

La evaluación fenológica se hace sobre 20 árboles de la parcela, seleccionando de entre aquellos de las clases dominante o codominante y preferentemente con buena visibilidad de copa; siempre desde una posición fija para evitar sesgos de observación; quincenalmente desde 1999 hasta 2010 y de forma mensual a partir de entonces.

Las variables de medición se codifican de acuerdo a los siguientes criterios:

- ✓ **Aparición de hojas/acículas:** Aparición de la nueva metida del año. La fecha de aparición de las acículas se identifica con el comienzo de la separación visible de las mismas en la parte baja del crecimiento. La fecha de aparición de las hojas comienza con su despliegue.
- ✓ **Cambio de color hoja/acícula:** se refiere al cambio de coloración otoñal en especies caducifolias y procesos de decoloración no otoñal que sufren muchos árboles (decoloraciones estivales del pino resinero) o debidas a causas externas (decoloraciones por “golpe de calor” o heladas tardías,...)
- ✓ **Caída de hoja/acícula:** debida a los procesos otoñales o a la renovación foliar, considerándose como tal la permanencia de hojas o acículas secas prendidas en la copa.
- ✓ **Crecimiento secundario:** fenómeno habitual en determinadas especies forestales (brotes de San Juan en encinas a finales de Junio o metidas extraordinarias en pino carrasco a finales del verano) inducido por factores ambientales.
- ✓ **Floración:** adoptándose como referencia la fecha en que comienza a emitirse el polen por apertura de las flores masculinas.
- ✓ **Fructificación:** del año en curso. No se considera el fruto formado en años anteriores y aún prendido en el árbol (caso de las piñas de los pinos, por ejemplo).

La evaluación de las distintas fases fenológicas ha experimentado sucesivos cambios metodológicos a lo largo de la serie histórica de estudio, resultando de entre ellas, las más significativas y coherentes la aparición de hoja y la floración; siempre haciendo la salvedad de que se ha considerado que una fase comenzaba cuando lo hacía el 50% de la población muestra.

Al igual que en los casos anteriores, y con objeto de dar una visión lo más amplia posible del fenómeno, se dan para las distintas parcelas de estudio sus valores medios (que pueden contemplarse pormenorizadamente en los correspondientes informes a nivel parcela) para la serie móvil 1999-2014 y los valores correspondientes a la última campaña de muestreo.

Se presentan a continuación y para las fases mencionadas, los valores históricos obtenidos en la Red, de entre ellos el comienzo y fin de fase; su duración o amplitud; el número de días transcurrido entre el 1 de enero y la fecha de inicio de la fase, y –como esbozo de la influencia de la temperatura en el fenómeno- los días-grado transcurridos desde el 1 de enero (periodo de parada vegetativa) y el comienzo de la fase, obtenido de la estación meteorológica instalada en la parcela.

**TABLA 29:** Resultados de la evaluación fenológica. Comienzo, final y amplitud de la fase. Días desde el 1 de enero hasta el comienzo de fase. Temperatura acumulada (grados-día) hasta el inicio de fase.

Año	PERIODO 2000-2022					Floración ≥ 50% Población				
	Fecha Inicio	Fecha Final	Durac.	Días desde 01/01	Temp. Acum. (°Cdía)	Fecha Inicio	Fecha Final	Durac.	Días desde 01/01	Temp. Acum. (°Cdía)
<b>005 Ps</b>	09/06	21/07	43	<b>160</b>	709	07/06	03/07	28	158	<b>734</b>
<b>006 Qi</b>	18/05	13/07	56	138	1322	29/05	23/06	<b>25</b>	149	1434
<b>010 Ppa</b>	15/04	26/05	38	105	1103	14/04	04/06	<b>49</b>	99	1018
<b>011 Qs</b>	28/04	10/07	<b>75</b>	118	<b>1535</b>	22/04	30/05	38	112	1411
<b>022 Pn</b>	09/05	20/06	41	129	1459	15/05	14/06	30	135	<b>1513</b>
<b>025 Ph</b>	04/06	19/07	45	155	970	13/06	10/07	26	<b>164</b>	1079
<b>026 Qi</b>	08/05	09/07	63	128	1335	13/04	20/05	37	103	951
<b>030 Ps</b>	07/04	21/05	44	<b>97</b>	911	08/04	24/05	45	98	940
<b>033 Qpe</b>	06/06	26/07	50	157	802	03/06	28/06	25	153	739
<b>037 Ppr</b>	09/05	09/06	38	128	632	02/06	27/06	26	153	882
<b>054 Ph</b>	30/05	11/07	50	149	1112	13/05	12/06	29	133	865
<b>102 Ppr</b>	29/04	25/06	57	118	1513	16/03	20/04	35	<b>74</b>	872
<b>115 Fs</b>	25/04	20/06	62	114	1183	01/04	02/05	32	90	867

Año	PERIODO 2023					Floración ≥ 50% Población				
	Fecha Inicio	Fecha Final	Durac.	Días desde 01/01	Temp. Acum. (°Cdía)	Fecha Inicio	Fecha Final	Durac.	Días desde 01/01	Temp. Acum. (°Cdía)
<b>005 Ps</b>	26/05	24/07	59	145	551	26/05	23/06	28	145	551
<b>006 Qi</b>	29/06	26/07	27	<b>179</b>	2082	29/06	26/07	27	<b>179</b>	<b>2082</b>
<b>007 Qi</b>	31/05	24/04	24	<b>89</b>	891	24/04	26/06	<b>63</b>	113	1306
<b>010 Ppa</b>	25/04	30/05	<b>63</b>	114	1485	25/04	30/05	35	114	1485
<b>011 Qs</b>	29/05	26/06	28	148	1814	29/05	26/06	28	148	1814
<b>022 Pn</b>	02/06	25/07	53	152	1008	02/06	30/06	28	152	1008
<b>025 Ph</b>	01/06	29/06	28	151	1790	12/04	27/04	<b>15</b>	101	1014
<b>026 Qi</b>	04/04	26/04	<b>22</b>	93	995	04/04	31/05	57	93	995
<b>030 Ps</b>	30/05	27/06	28	149	727	30/05	27/06	28	149	727
<b>033 Qpe</b>	26/04	27/06	62	115	624	30/05	27/06	28	149	991
<b>037 Ppr</b>	26/05	23/06	28	145	1115	24/04	26/05	32	113	668
<b>054 Ph</b>	01/06	29/06	28	151	<b>2240</b>	12/04	27/04	<b>15</b>	101	1303
<b>102 Ppr</b>	25/04	26/06	62	114	1320	23/03	25/04	33	<b>81</b>	849
<b>115 Fs</b>	27/04	28/06	62	116	<b>542</b>	27/04	31/05	34	116	<b>542</b>

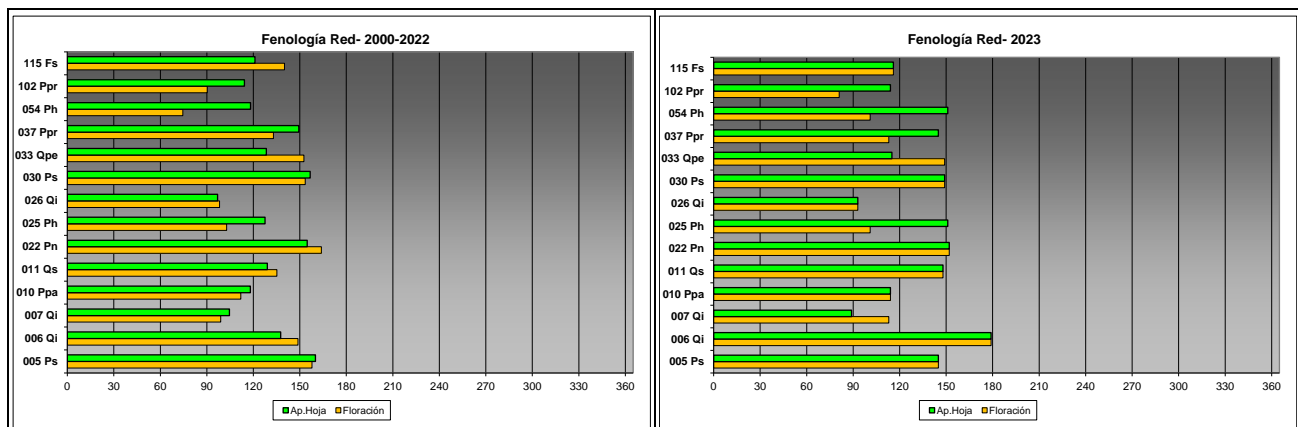


FIG 39: Fases fenológicas. Días desde 1 de enero hasta comienzo de fase. Periodo 1999-2022 y año 2023



FIG 40: Fases fenológicas. Aparición hojas (conífera y frondosa). Floración masculina. Formación de las estructuras masculinas (conífera y frondosa)

1. Por lo que concierne a la fenología de las diferentes especies forestales, se encuentra claramente influenciada por el clima, por lo que su seguimiento puede explicar la reacción de los ecosistemas a las variaciones climáticas, muy particularmente la temperatura y la radiación solar.
2. La brotación y la floración necesitan la superación de un umbral térmico determinado, o temperatura acumulada para dar inicio, y están además fuertemente influenciadas por la temperatura media primaveral. La relación es mayor en la fase de floración, que se revela como la variable fenológica más dependiente de la temperatura.
3. La relación fenología/temperatura primaveral es más fuerte para la brotación en encinas, pino laricio y pino negral, mientras que para la floración, la mayor dependencia se ha encontrado en pino carrasco, piñonero, encina y haya.
4. Habitualmente la brotación más precoz se ha dado en 07Qi y 26Qi, en torno al mes de marzo, mientras que las más tardías son las dos parcelas pobladas por pino silvestre, 05Ps y 30Ps, donde el fenómeno comienza a verse entrado el mes de junio. A lo largo del último año de evaluación se advierte un comportamiento similar al de revisiones anteriores, destacando quizás un retraso en la brotación de 06Qi, 11Qs, 25Ph y 54Ph, y en la floración de 25Ph y 54Ph, mientras que la floración se ha adelantado en 37Ppr y 115Fs.
5. Las temperaturas acumuladas necesarias para que se inicien las fases son similares entre los fenómenos estudiados, y los menores umbrales corresponden a la floración de las especies caducifolias, haya y roble.
6. La duración de la fase de floración es inferior al tiempo necesario para el desarrollo completo de la hoja y se sitúa en el entorno de los 20 días, y al igual que en el caso anterior, las duraciones son menores en las frondosas caducifolias. Las coníferas necesitan también más tiempo para desplegar por completo sus acículas, situándose en la mayoría de los casos por encima de los 45 días.
7. Incrementos de la temperatura media primaveral de 1°C pueden ocasionar adelantamientos considerables en la fenología de las distintas especies, en torno a 8 días en la brotación y 13 días en la floración. Dado que la actividad de numerosos insectos como los defoliadores o las especies melíferas está muy ligada a la brotación y floración, las variaciones de la temperatura media primaveral explicarían también cambios en su comportamiento.

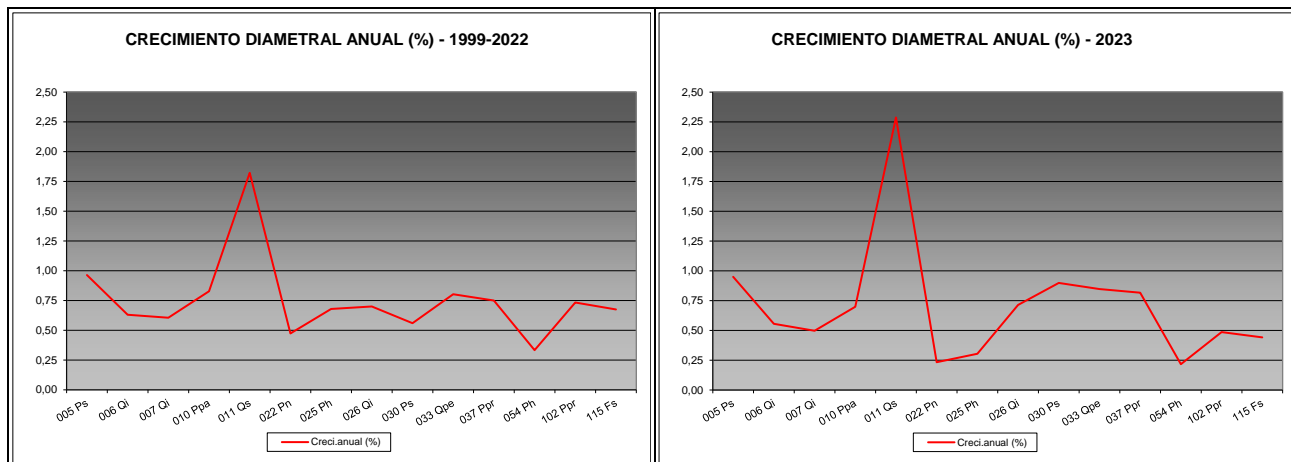
## 9. Crecimiento. Cintas diamétricas.

El crecimiento de los árboles es un parámetro ecológico clave sobre el estado forestal, relacionado con factores intrínsecos y extrínsecos al ecosistema y sirve además como indicador próximo a la reacción de árboles y masas a cambios en las condiciones de habitación. Además, y mediante el empleo de técnicas dendrocronológicas, permiten reconstruir el crecimiento en años anteriores y por ende aproximarnos a las condiciones pasadas del ecosistema.

En cada parcela están instalados así 5 dendrómetros o cintas diamétricas desde 1999, ampliadas a 15 en 2010, de quienes se muestran a continuación sus principales resultados. Debido a los fenómenos de movimiento/parada de savia en el interior del tronco en primavera/invierno, el crecimiento no experimenta un incremento continuo entre enero (mínimo del año) y diciembre (máximo del año), sino que tiene además un movimiento de oscilación más acusada en el momento del inicio de la actividad vegetativa que ha querido evaluarse.

**TABLA 30:** Valor medio dendrómetros. Crecimiento medio: diferencia en cm y porcentaje entre el máximo y mínimo del año. Oscilación media: diferencia y porcentaje entre los valores de enero y diciembre (o comienzo/fin de año en años incompletos)

PARCELA	1999-2022				2023			
	Cr. medio (cm)	Cr. medio (%)	Osc. media (cm)	Osc. media (%)	Cr. medio (cm)	Cr. medio (%)	Osc. media (cm)	Osc. media (%)
<b>005 Ps</b>	0,33	0,96	0,33	0,71	<b>0,35</b>	<b>0,95</b>	<b>0,35</b>	0,71
<b>006 Qi</b>	0,14	0,63	0,14	0,54	<b>0,13</b>	0,56	<b>0,13</b>	0,26
<b>007 Qi</b>	0,29	0,61	0,29	0,50	0,24	0,50	0,24	<b>0,45</b>
<b>010 Ppa</b>	0,24	0,83	0,24	0,66	0,22	0,70	0,22	-0,29
<b>011 Qs</b>	<b>0,70</b>	<b>1,82</b>	<b>0,70</b>	<b>0,30</b>	0,95	2,29	0,95	2,22
<b>022 Pn</b>	0,14	0,47	0,14	0,34	0,07	0,23	0,07	0,04
<b>025 Ph</b>	0,17	0,68	0,17	0,57	0,08	0,30	0,08	0,03
<b>026 Qi</b>	0,22	0,70	0,22	0,49	0,23	0,71	0,23	0,37
<b>030 Ps</b>	0,19	0,56	0,19	0,40	0,33	0,90	0,33	0,39
<b>033 Qpe</b>	0,16	0,80	0,16	0,67	0,20	0,85	0,20	0,68
<b>037 Ppr</b>	0,28	0,75	0,28	0,60	0,30	0,82	0,30	<b>0,59</b>
<b>054 Ph</b>	<b>0,15</b>	<b>0,33</b>	<b>0,15</b>	<b>0,16</b>	0,10	<b>0,22</b>	0,10	0,00
<b>102 Ppr</b>	0,30	0,73	0,30	0,60	0,23	0,49	0,23	0,41
<b>115 Fs</b>	0,30	0,68	0,30	0,61	0,21	0,44	0,21	0,44



**FIG 41:** Crecimiento diametral anual. Porcentaje sobre el inicio.

La variable crecimiento debe abordarse más desde una escala parcela que a escala nacional, aunque por regla general oscila entre un 0,28 y un 1,18% anual, con mayor variabilidad en los alcornoques, sometidos a descorche, tal como ocurrió en 11Qs durante 2021.

## 10. Meteorología.

Se presenta a continuación un resumen de las principales variables meteorológicas recogidas en la red, de los datos disponibles en el sistema en el momento de la redacción del presente informe. Cabe hacer constar, por lo que se refiere a la meteorología, que los datos correspondientes a 2012 abarcan sólo el

periodo enero-julio. Como en apartados anteriores y con el fin de caracterizar las series, se compara los resultados del último año con la media móvil del periodo precedente.

**TABLA 31:** Parámetros meteorológicos básicos. Medias del periodo referido de las variables. Precipitación anual. Temperatura media anual, máxima de las máximas, mínima de las mínimas, media de las máximas, media de las mínimas. Radiación solar media. Humedad relativa media. Velocidad del viento media y máxima.

PARCELA	Prec	PERIODO 1997-2022									
		T med	T MAX	T MIN	T max	T min	Rad med	HR med	V viento med	V viento max	
										(mm)	(°C)
005 Ps	1084	7,9	29,2	-11,8	12,3	4,2	226,6	64,6	1,5	30,8	
006 Qi	642	13,4	34,8	-4,2	19,1	8,3	171,3	61,0	3,3	21,6	
007 Qi	599	17,2	43,2	-5,4	24,3	10,6	200,8	63,8	1,9	12,5	
010 Ppa	529	16,9	39,0	-2,5	23,2	10,4	228,7	69,5	3,2	27,7	
011 Qs	738	15,4	38,6	-8,1	21,8	6,7	158,8	68,1	1,8	23,0	
022 Pn	526	9,7	31,6	-9,0	15,4	4,8	158,1	63,4	1,3	21,3	
025 Ph	362	15,1	36,1	-2,4	19,5	10,9	176,1	65,5	2,2	23,8	
026 Qi	618	15,9	39,6	-4,3	21,7	10,5	230,6	65,5	1,6	20,9	
030 Ps	751	7,4	33,5	-15,1	15,7	-0,3	172,6	73,6	1,5	25,4	
033 Qpe	1176	8,8	31,4	-11,4	14,1	3,6	164,9	69,9	1,9	33,6	
037 Ppr	422	11,1	38,0	-13,3	19,0	2,3	193,8	67,6	1,4	21,8	
054 Ph	496	17,9	37,6	1,1	22,2	14,2	194,2	74,5	2,2	13,6	
102 Ppr	2230	13,5	35,0	-2,6	18,5	9,2	131,0	82,3	1,5	33,3	
115 Fs	1867	9,3	32,4	-9,3	14,9	4,1	149,0	82,3	1,8	24,6	

PARCELA	Prec	PERIODO 2023									
		T med	T MAX	T MIN	T max	T min	Rad med	HR med	V viento med	V viento max	
										(mm)	(°C)
005 Ps	1288	8,6	31,7	-11,6	13,0	4,9	249,4	64,2	1,5	30,0	
006 Qi	475	14,1	39,0	-4,9	21,0	8,3		62,3	3,3	26,8	
007 Qi	670	17,7	43,6	-4,5	24,8	11,0	205,6	62,4	1,7	25,1	
010 Ppa	303	17,7	43,8	-3,7	25,4	10,3	142,8	61,0	2,0	44,1	
011 Qs	767	16,2	40,7	-3,9	22,7	9,7	126,5	85,0	5,0	28,3	
022 Pn	421	11,0	35,7	-10,1	17,2	5,9	148,0	60,5	0,8	20,8	
025 Ph	340	16,0	39,2	-2,4	20,7	12,3	146,9	67,6	1,5	25,3	
026 Qi	512	18,2	41,7	-1,7	23,9	11,4	263,7	67,4	0,9	42,0	
030 Ps	1037	9,1	36,5	-14,4	17,6	1,3	199,4	74,0	1,1	21,6	
033 Qpe	1476	10,3	34,4	-7,9	15,8	5,3	194,2	66,8	1,9	32,5	
037 Ppr	502	12,1	39,5	-10,8	20,3	4,1	189,9	70,4	1,3	22,0	
054 Ph	324	18,9	41,4	1,9	23,8	15,0	200,1	72,5	2,2	9,2	
102 Ppr	2993	15,4	38,0	-1,1	21,3	10,5	132,6	78,7	0,7	21,2	
115 Fs	2191	10,1	34,0	-9,5	15,7	5,0	145,0	86,8	1,3	21,2	

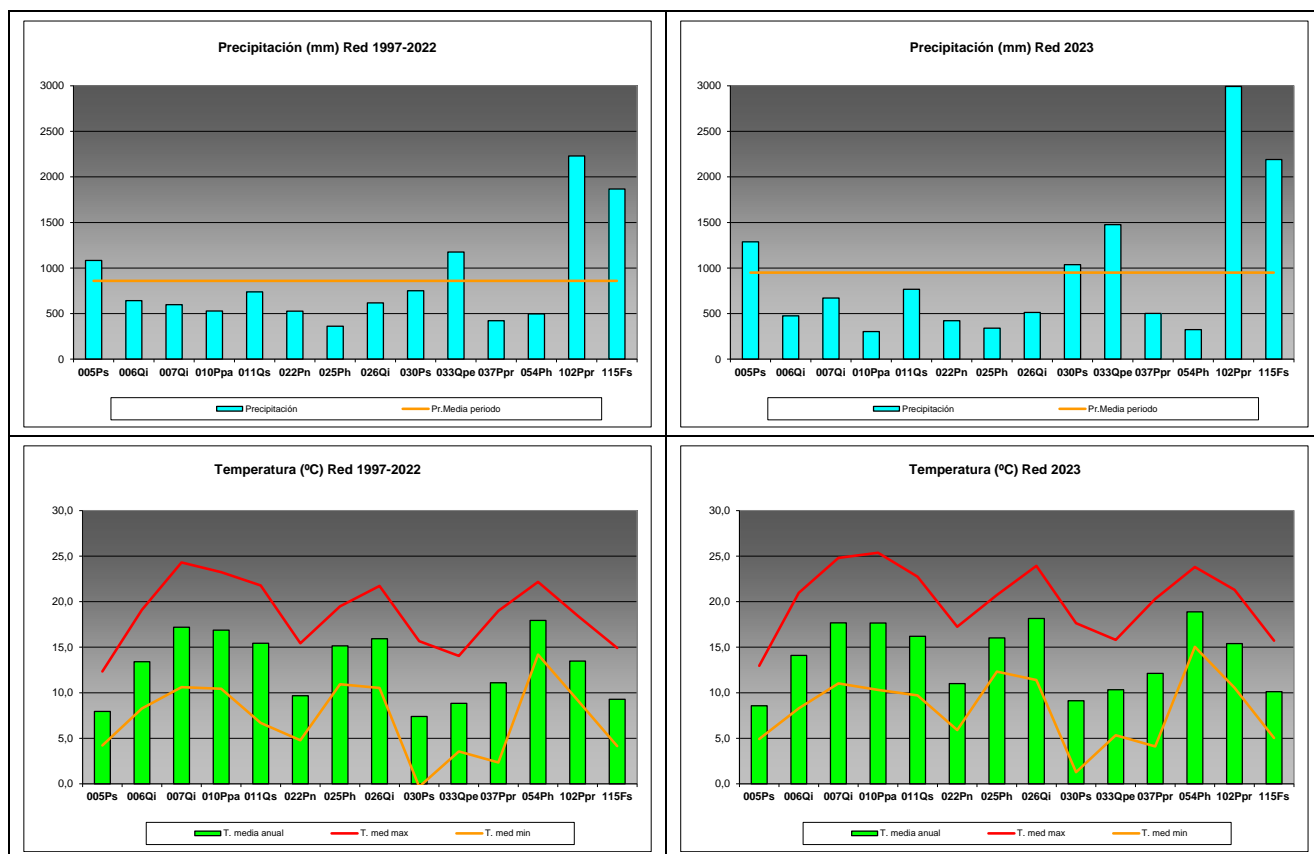


FIG 42: Principales variables meteorológicas.

Los principales factores de estrés climático se han incorporado a los correspondientes informes a escala parcela, donde puede consultarse su evolución histórica, no teniendo tanto sentido su análisis a escala nacional.

## 11. Índice de Área Foliar.

Las hojas representan la mayor proporción de superficie del bosque y también la principal superficie para el intercambio fisiológico con la atmósfera. Procesos como la fotosíntesis, captación de carbono y su asimilación, transpiración o la emisión de compuestos orgánicos volátiles son casi exclusivamente desarrollados en la superficie foliar. La necesidad de conocer, cuantificar y simular estas interacciones mediante modelos ha llevado a una creciente demanda de información fiable sobre la superficie foliar y el área que ocupan en las copas de los árboles.

El Índice de Área Foliar (Leaf Area Index o LAI) es un parámetro adimensional que se define como el área total de la superficie superior de las hojas por área de unidad de terreno que se encuentre directamente debajo de la planta. El LAI permite estimar la capacidad fotosintética de la vegetación y ayuda a entender la relación entre acumulación de biomasa y rendimiento bajo condiciones ambientales imperantes en una región determinada.

Su medición se efectúa anualmente en época de máxima foliación (generalmente a lo largo del verano) en todas las parcelas, y adicionalmente en invierno en aquellas pobladas por frondosas, mediante fotografía hemisférica situada en 16 ubicaciones fijas en cada parcela siguiendo una cuadrícula

pre establecida, tratada posteriormente mediante software específico. Las evaluaciones han quedado normalizadas a partir de 2014, incluyéndose en el presente informe los datos disponibles a partir de dicha fecha, con la salvedad de haber corregido por un algoritmo más exacto a partir de 2016, de acuerdo con las actualizaciones del manual, a lo que pueden atribuirse parte de las variaciones interanuales.

Se toman las fotografías en condiciones de luz que eviten los reflejos cuando los haces de luz penetran por los huecos de la vegetación. Las condiciones idóneas son con el cielo uniformemente cubierto o bien en momentos del día sin luz solar directa (alba u ocaso). Del mismo modo se ha de evitar cualquier tipo de precipitación que origine gotas sobre la lente, la niebla, nieve acumulada en los árboles así como viento fuerte que provoque el movimiento de ramales desvirtuando el área de hojas (acículas) y ramas.

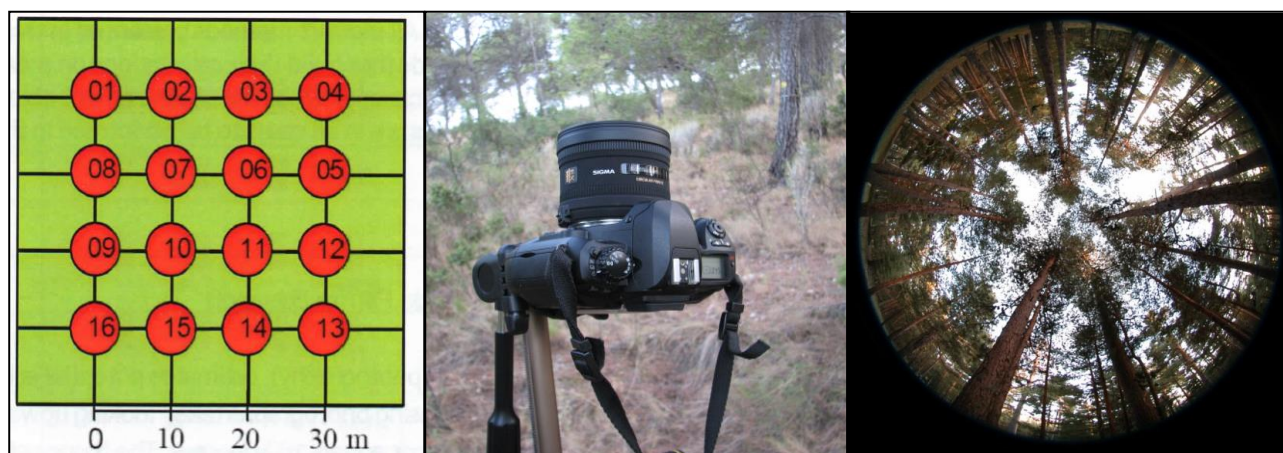


FIG 43: Medición en campo del parámetro LAI. Cuadrícula de observación. Cámara hemisférica. Fotografía del vuelo.

Las mediciones medias obtenidas en las distintas parcelas desde 2014, año en que se homogeneizaron los procedimientos del Manual de Campo, se refieren en la siguiente tabla. Las diferencias habidas en 2016 con respecto al bienio precedente se deben a una actualización de los algoritmos de cálculo.

TABLA 32: Índice de Área Foliar (LAI) por parcela y año de medición

PARCELA	2014-2022			2023		
	Med	Max	Min	Med	Max	Min
<b>005 Ps</b>	2,69	4,92	1,40	2,88	3,39	2,66
<b>006 Qi</b>	1,46	2,18	1,04	1,64	1,92	1,42
<b>007 Qi</b>	0,91	4,02	0,47	0,78	1,13	0,52
<b>010 Ppa</b>	1,81	3,35	0,90	1,78	2,31	1,46
<b>011 Qs</b>	1,22	1,86	0,75	1,33	1,63	1,10
<b>022 Pn</b>	1,83	2,54	1,06	1,57	2,02	1,34
<b>025 Ph</b>	1,68	3,42	1,13	1,21	2,20	0,89
<b>026 Qi</b>	1,10	2,93	0,41	1,06	5,89	0,46
<b>030 Ps</b>	2,17	3,01	1,00	2,33	2,66	2,05
<b>033 Qpe</b>	1,31	1,89	1,03	1,35	1,60	1,19
<b>037 Ppr</b>	1,31	4,55	0,51	1,28	1,53	0,85
<b>054 Ph</b>	1,99	4,23	0,87	2,12	2,98	1,29
<b>102 Ppr</b>	1,92	3,27	0,93	2,39	3,33	1,95
<b>115 Fs</b>	1,97	2,79	1,04	2,06	2,51	1,66

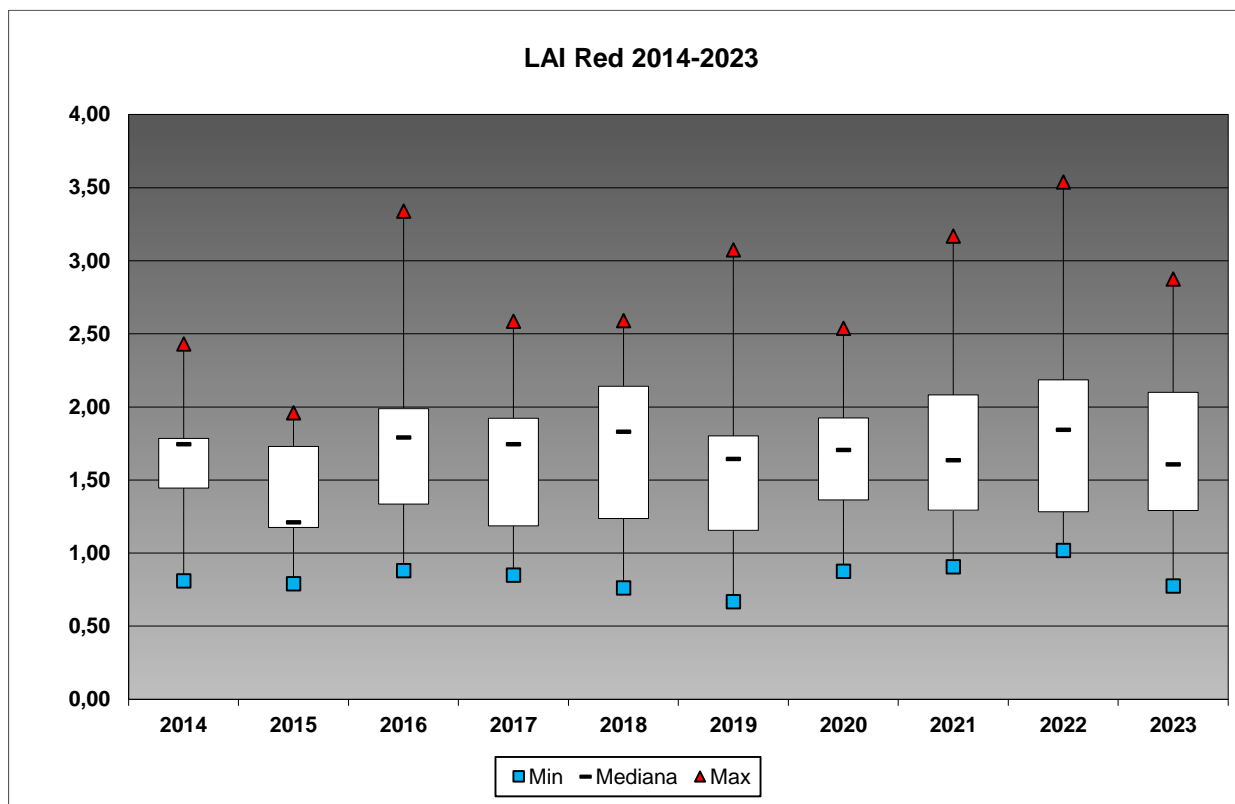


FIG 44: Diagrama de cajas LAI anual

## 12. Solución del Suelo.

La solución del suelo es la componente acuosa del mismo a saturación o capacidad de campo y expresa el contenido en nutrientes o posibles contaminantes que puede absorber el ecosistema por vía radical. La obtención de muestra en climas mediterráneos se ve dificultada por la irregularidad de las precipitaciones, lo que disminuye los períodos en que el suelo se encuentra saturado. Las bajas temperaturas pueden también inmovilizar el agua contenida en el suelo impidiendo su extracción, así como las condiciones edáficas particulares (granulometría, existencia de planos de drenaje,...), por lo que la obtención de las muestras empleadas para análisis es mucho más errática que en otro tipo de inventarios. Por esta razón, no se obtienen muestras en todas las parcelas, sino en aquellas que por sus características parecía a priori que resultara más fácil la obtención de solución del suelo. De acuerdo con la normativa, se toma muestra de agua a dos profundidades, 20 y 60 cm mediante lisímetros de tensión por vacío. Tratando de obviar estas dificultades, a lo largo de 2018 se ha instalado un lisímetro de gravedad en la parcela 05Ps y se han complementado el resto mediante bombas programables de extracción en continuo. Los resultados del lisímetro de gravedad no se han incorporado a las tablas de resultados por estar operativos únicamente durante unos meses.

Se caracteriza a continuación la solución del suelo en las distintas parcelas instrumentadas para esta variable, pasando revista a la evolución de los distintos parámetros a lo largo de la serie histórica estudiada, haciendo la salvedad de que se trata de años completos, a excepción de los años 2012 (enero-julio) y 2014 (abril-diciembre), por lo que caben ciertas anomalías. Cabe hacer constar también que los resultados

correspondientes a 33Qpe para el periodo 2000-2017 se refiere a un escaso número de muestras por lo que no pueden considerarse representativos del periodo.

**TABLA 33:** Resultados de análisis de la solución del suelo por año. Datos medios (ponderados por volumen desde 2019) referidos a las dos profundidades de toma de muestra, 20 y 60 cm de profundidad. Ntotal, DOC, Al, Man y Fe analizados desde 2020.

PERIODO 2000-2021										
Parcela	pH	Cond ( $\mu$ S/cm)	K (mg/l)	Ca (mg/l)	Mg (mg/l)	Na (mg/l)	N(NH4) (mg/l)	Cl (mg/l)	N(NO3) (mg/l)	S(SO4) (mg/l)
005Ps	6,52	30,55	38,30	4,23	1,56	1,88	1,83	6,19	0,46	0,79
030Ps	7,12	78,62	62,13	11,47	6,99	2,59	0,36	5,31	1,57	1,53
033Qpe	6,32	43,64	1,74	8,75	1,07	1,57	0,17	3,50	0,12	0,61
102Ppr	6,83	144,23	1,80	17,73	1,37	6,35	0,98	12,66	0,73	1,84
115Fs	5,87	46,32	13,41	1,59	0,65	1,62	0,70	3,23	0,26	0,66

PERIODO 2000-2021						
Parcela	Alcalinidad ( $\mu$ eq/l)	Ntotal (mg/l)	DOC (mg/l)	Al (mg/l)	Mn (mg/l)	Fe (mg/l)
005Ps	62,92	0,38	4,78	0,15	0,02	0,04
030Ps	386,31	0,58	18,05	0,61	0,02	0,61
033Qpe	213,92	0,66	17,00	0,32	0,02	0,09
102Ppr	1215,00	2,30	14,40	0,11	0,00	0,04
115Fs	55,94	0,39	5,06	0,11	0,01	0,01

PERIODO 2022										
Parcela	pH	Cond ( $\mu$ S/cm)	K (mg/l)	Ca (mg/l)	Mg (mg/l)	Na (mg/l)	N(NH4) (mg/l)	Cl (mg/l)	N(NO3) (mg/l)	S(SO4) (mg/l)
005Ps	6,47	17,87	0,29	1,97	0,38	1,58	0,04	1,43	0,03	0,43
030Ps	7,00	94,65	2,61	6,64	2,24	3,47	0,10	6,47	0,03	3,21
033Qpe	6,09	39,87	1,03	4,96	0,57	1,62	0,02	2,89	0,04	0,64
102Ppr	7,91	168,96	0,38	32,37	0,95	5,01	0,29	9,86	0,13	1,58
115Fs	5,73	15,61	0,19	1,18	0,26	1,59	0,01	2,04	0,00	0,46

PERIODO 2022						
Parcela	Alcalinidad ( $\mu$ eq/l)	Ntotal (mg/l)	DOC (mg/l)	Al (mg/l)	Mn (mg/l)	Fe (mg/l)
005Ps	61,13	0,41	6,56	0,07	0,02	0,02
030Ps	197,36	0,22	6,25	0,21	0,01	0,10
033Qpe	90,27	0,42	11,14	0,15	0,01	0,03
102Ppr	1234,45	0,89	19,70	0,17	0,00	0,07
115Fs	10,12	0,35	4,32	0,10	0,01	0,01



**FIG 45:** Lisímetros de tensión para extracción de agua del suelo y bomba de vacío. Lisímetro de gravedad, zanja de drenaje y toma de muestras.

Los resultados pormenorizados para cada parcela pueden consultarse en los correspondientes informes individuales. Cabe mencionar como tendencia general de esta variable que las concentraciones de los distintos elementos son superiores a las correspondientes a la deposición bajo cubierta arbórea, a medida que van incorporándose los solutos a la solución del suelo.

### 13. Memoria detallada de cada una de las parcelas de la Red.

Para cada una de las parcelas que forman la Red Europea de Nivel II, se ha elaborado una memoria estructurada en los siguientes apartados:

#### 13.1. Situación de la parcela.

- ✓ Clasificación según Rivas Martínez
- ✓ Coordenadas, altitud, pendiente y orientación
- ✓ Situación, ortofoto y vistas generales

## 13.2. Caracterización de la parcela.

- ✓ Clasificación climática
- ✓ Clasificación edafológica y descripción de perfiles
- ✓ Vegetación actual y potencial
- ✓ Caracterización forestal y dasométrica

## 13.3. Estado fitosanitario.

- ✓ Defoliación y decoloración
- ✓ Daños forestales y relación con los parámetros de daños (defoliación y decoloración) y dasométricos de los pies afectados y comparación con los valores medios de la parcela.
- ✓ Síntomas y signos observados y relación con los parámetros de daños (defoliación y decoloración) y dasométricos de los pies afectados y comparación con los valores medios de la parcela.
- ✓ Relación entre agentes de daño, síntomas y signos
- ✓ Fotografías más representativas de daños, síntomas y signos.

## 13.4. Instrumentación.

- ✓ Equipos de medida instalados

## 13.5. Deposición.

- ✓ Caracterización de la deposición sobre la parcela

## 13.6. Calidad del aire. Inmisión

- ✓ Caracterización de la concentración de contaminantes en el aire

## 13.7. Análisis foliar.

- ✓ Macronutrientes
- ✓ Micronutrientes

## 13.8. Desfronde.

- ✓ Caracterización del desfronde o litterfall

## 13.9. Fenología.

- ✓ Caracterización fenológica de la vegetación

## 13.10. Crecimiento. Cintas diamétricas

- ✓ Caracterización del crecimiento en los árboles seleccionados de la parcela

## 13.11. Meteorología

- ✓ Principales variables meteorológicas obtenidas en la estación de la parcela.

## 13.12. Índice de Área Foliar (LAI)

- ✓ Caracterización del Índice de Área Foliar de cada parcela.

## 13.13. Solución del Suelo.

- ✓ Caracterización del complejo de agua del suelo a capacidad de campo (en las parcelas dotadas de lisímetros para su obtención).

La memoria correspondiente a cada una de las parcelas de la red puede consultarse en la página web:

[https://www.miteco.gob.es/es/biodiversidad/temas/inventarios-nacionales/redes-europeas-seguimiento-bosques/red\\_nivel\\_II\\_resultados.aspx](https://www.miteco.gob.es/es/biodiversidad/temas/inventarios-nacionales/redes-europeas-seguimiento-bosques/red_nivel_II_resultados.aspx)

En la misma página web están disponibles para su consulta la base de datos histórica de la Red de Nivel II.

Los proyectos de investigación o publicaciones científicas en que han participado las redes europeas de seguimiento de daños forestales, Redes de Nivel I y II se reflejan en la publicación web:

<http://icp-forests.net/page/scientific-publications>